

**SKRIPSI**

**ANALISIS POLA GERUSAN PADA PILAR JEMBATAN DENGAN  
MODEL SAYAP BETON SEBAGAI TIRAI**



08/03/2021

1 Zsp  
Smb. Alumni

8/0010/SIP/21-08  
3YA

**TEKNIK PENGAIRAN**

**FAKULTAS TEKNIK**

**UNIVERSITAS MUHAMMADIYAH MAKASSAR**

**2020**

UNIVERSITAS MUHAMMADIYAH MAKASSAR

FAKULTAS TEKNIK

GEDUNG MENARA IQRA LT. 3

Jl. Sultan Alauddin No. 259 Telp. (0411) 866 972 Fax (0411) 865 588  
Makassar 90221

Website : [www.unismuh.ac.id](http://www.unismuh.ac.id), e-mail : [unismuh@gmail.com](mailto:unismuh@gmail.com)  
Website : <http://teknik.unismuh.makassar.ac.id>



HALAMAN PERSETUJUAN

Tugas akhir ini diajukan untuk memenuhi syarat ujian guna memperoleh gelar Sarjana Teknik (ST) Program Studi Teknik Pengairan Jurusan Teknik Sipil Fakultas Teknik Universitas Muhammadiyah Makassar.

Judul Skripsi : ANALISIS POLA GERUSAN PADA PILAR JEMBATAN

DENGAN MODEL SAYAP BETON SEBAGAI TIRAI

Nama

SYAHARuddin

No. Stambuk

AHMAD AL MUGNI  
1058 111 017 16  
1058 111 009 16

Makassar, November 2020

Telah Diperiksa dan Disetujui  
Oleh Dosen Pembimbing

Dosen Pembimbing I

Dr. Ir. H. Riswal K, MT.

Dosen Pembimbing II

Dr. Ir. Nenny T Karim, ST., MT., IPM

Mengetahui,

Ketua Program Studi Teknik Pengairan



Andi Makbul Syamsuri, ST., MT., IPM  
NBM : 1183 084



UNIVERSITAS MUHAMMADIYAH MAKASSAR

# FAKULTAS TEKNIK

## GEDUNG MENARA IQRA LT. 3

Jl. Sultan Alauddin No. 259 Telp. (0411) 866 972 Fax (0411) 865 588 Makassar 90221  
Website : [www.unismuh.ac.id](http://www.unismuh.ac.id), e-mail : [unismuh@gmail.com](mailto:unismuh@gmail.com)  
Website : <http://teknik.unismuh.makassar.ac.id>

الجامعة  
جامعة مسح

### PENGESAHAN

Skripsi atas nama Syaharuddin dengan nomor induk Mahasiswa 105 81 11017 16 dan Ahmad Al Mugni nomor induk Mahasiswa 105 81 11009 16 , dinyatakan diterima dan disahkan oleh Panitia Ujian Tugas Akhir/Skripsi sesuai dengan Surat Keputusan Dekan Fakultas Teknik Universitas Muhammadiyah Makassar Nomor : 0011/SK-Y/22201/091004/2020, sebagai salah satu syarat guna memperoleh gelar Sarjana Teknik pada Program Studi Teknik Pengairan Jurusan Teknik Sipil Fakultas Teknik Universitas Muhammadiyah Makassar pada hari Sabtu tanggal 12 Desember 2020.

Makassar, 27 Rabiul Akhir 1442 H  
12 Desember 2020 M

#### Panitia Ujian :

##### 1. Pengawas Umum

a. Rektor Universitas Muhammadiyah Makassar

Prof. Dr. H. Ambo Asse, M.Ag

b. Dekan Fakultas Teknik Universitas Hasanuddin

Prof. Dr. Ir. H. Muhammad Arsyad Thaha, MT

##### 2. Pengaji :

a. Ketua : Dr. Eng. Ir. H. Farouk Maricar, MT

b. Sekertaris : Fanda Gafar, ST., MM

##### 3. Anggota:

1. Dr. Ir. Hj. Nurnawaty, ST., MT., IPM

2. Mahmudin, ST., MT., IPM

3. Amrullah Mansida, ST., MT., IPM

Mengotakau

Pembimbing I

Pembimbing II

Dr. Ir. H. Riswak K. MT

Dr. Ir. Nenny T Karim, ST., MT., IPM

Dekan



Dr. Hasmah Al Imran, ST., MT., IPM

NBM : 855 500

## KATA PENGANTAR

Syukur Alhamdulillah penulis panjatkan kehadiran Allah SWT, karena rahmat dan hidayah-Nyalah sehingga dapat menyusun proposal penelitian yang berjudul "ANALISIS POLA GERUSAN PADA PILAR JEMBATAN DENGAN MODEL SAYAP BETON SEBAGAI TIRAI".

Penulis menyadari sepenuhnya bahwa di dalam penulisan proposal penelitian ini masih terdapat kekurangan-kekurangan, hal ini disebabkan karna penulis sebagai manusia biasa tidak lepas dari kesalahan dan kekurangan. Oleh karna itu, penulis menerima dengan sangat iklas dengan senang hati segala koreksi serta perbaikan guna penyempurnaan tulisan ini agar kelak dapat bermanfaat.

1. Pada kesempatan ini, penulis hendak menyampaikan terima kasih kepada semua pihak yang telah memberikan dukungan sehingga proposal penelitian ini dapat selesai. Ucapan terima kasih ini penulis tujuhan kepada: 1) Ayahanda dan Ibunda yang tercinta, penulis mengucapkan terima kasih yang sebesar-besarnya atas segala limpahan kasih saying, do'a serta pengorbanannya terutama dalam bentuk materi untuk menyelesaikan penelitiannya kuliah kami.

2. Bapak Ir.Hamzah Ali Imran,S.T., M.T. sebagai Dekan Fakultas Teknik Universitas Muhammadiyah Makassar.
3. Bapak A. Makbul Syamsuri, S.T., M.T. sebagai Ketua Jurusan Teknik Sipil Pengairan Fakultas Teknik Universitas Muhammadiyah Makassar.
4. Bapak Ir.Riswal K, MT sebagai pembimbing I dan Ibu Dr. Ir. Nenny T Karim, ST., MT., IPM sebagai pembimbing II yang sabar memberikan bimbingan dalam menyelesaikan proposal penelitian.
5. Bapak dan Ibu dosen serta staf pegawai di Fakultas teknik atas segala waktunya telah mendidik dan melayani penulis selama mengikuti proses belajar mengajar di Universitas Muhammadiyah Makassar.
6. Teman-temanku satu bimbingan penelitian proposal yang telah berjuang bersama-sama penulis dalam menyelesaikan proposal penelitian ini.

penulis, rekan-rekan, masyarakat serta Bangsa dan Negara Amin. Semoga semua pihak tersebut di atas mendapat pahala yang berlipat ganda di sisi Allah SWT dan proposal penelitian yang sederhana ini dapat bermanfaat bagi

*“Billahi Fü Sabill Haq Fastabikul Khaerat”.*

Makassar, 11 Desember 2020

Penulis

## ABSTRAK

Syaharuddin & Ahmad Al Mugni. *Analisis Pola Gerusan Pada Pilar Jembatan Dengan Model Sayap Beton Sebagai Tirai* (dibimbing oleh Riswal. K dan Nenny T Karim).

Tujuan penelitian ini adalah untuk mengetahui pengaruh gerusan yang terjadi di sekitar tirai sayap beton terhadap kecepatan aliran pada pilar jembatan dan untuk menganalisa pengaruh gerusan di sekitar pilar jembatan dengan menggunakan model tirai sayap beton. Penelitian ini menggunakan data primer yakni data yang didapatkan dari pemodelan fisik di Laboratorium Sungai Fakultas Teknik Universitas Muhammadiyah Makassar.

Pada penelitian ini sifat aliran yang digunakan adalah sub kritis ( $Fr < 1$ ), kritis ( $Fr = 1$ ), dan super kritis ( $Fr > 1$ ). Data hasil pengamatan di plot menjadi grafik hubungan antara bilangan Froude ( $Fr$ ) dengan kecepatan sebelum dan setelah penempatan model tirai.

Berdasarkan dari hasil penelitian menunjukkan bahwa perubahan saluran akibat variasi bangunan tirai sayap beton sangat berpengaruh terhadap pergerakan kecepatan aliran. Pada saluran bangunan tirai, dimana nilai  $Fr = 1.075$  dan nilai  $Re = 73.947,1$ , saluran dengan bangunan pilar dengan bangunan tirai, dimana nilai  $Fr = 0.0990$ , dan nilai  $Re = 53.385,9$ . Perhitungan menunjukkan bahwa kecepatan aliran cenderung menurun diakibatkan adanya bangunan tirai sayap beton.

Keywords: Gerusan, Pilar, Tirai, Sayap Beton.

## ABSTRACT

Syaharuddin & Ahmad Al Mugni. *Analysis of Scour Patterns on Bridge Pillars with Concrete Wing Model as a Curtain* (supervised by Riswal K and Nenny T. Karim).

The purpose of this study was to determine the effect of scouring around the concrete wing curtain on the flow velocity at the bridge pillars and to analyze the effect of scouring around the bridge pillars using the concrete wing curtain model. This study uses primary data, namely data obtained from physical modeling in the River Laboratory of the Engineering Faculty, Muhammadiyah University of Makassar.

In this study, the flow properties used were sub critical ( $Fr < 1$ ), critical ( $Fr = 1$ ), and super critical ( $Fr > 1$ ). The observed data are plotted into a graph of the relationship between Froude's number ( $Fr$ ) and the velocity before and after placing the curtain model.

Based on the results of the study indicate that channel changes due to variations in the concrete wing curtain building greatly affect the flow velocity movement. In the curtain building channel, where the value of  $Fr = 1.075$  and the value of  $Re = 73.947.1$ , the channel with the building pillar with the curtain building, where the value of  $Fr = 0.0990$ , and the value of  $Re = 53.385.9$ . The calculation shows that the flow velocity tends to decrease due to the concrete wing curtain building.

Keywords: *Scour, Pillar, Curtain, Concrete Wings.*

## DAFTAR ISI

	Halaman
HALAMAN SAMPUL .....	i
HALAMAN PERSETUJUAN .....	ii
PENGESAHAN .....	iii
KATA PENGANTAR .....	iv
DAFTAR ISI .....	vi
DAFTAR TABEL .....	ix
DAFTAR GAMBAR .....	xi
BAB I PENDAHULUAN .....	1
A. Latar Belakang .....	1
B. Rumusan Masalah .....	2
C. Tujuan Penelitian .....	3
D. Manfaat Penelitian .....	3
E. Batasan Masalah .....	3
F. Sistematika Penulisan .....	4
BAB II TINJAUAN PUSTAKA .....	5
A. Landasan Teori .....	5
B. Pengertian Jembatan .....	18
C. Pilar Jembatan .....	19
D. Gradiasi Sedimen .....	26

E. Ukuran Pilar dan Ukuran Butir Material Dasar.....	28
<b>BAB III METODE PENELITIAN .....</b>	<b>51</b>
A. Tempat Dan Waktu Penelitian.....	51
B. Metode Pengumpulan Data.....	51
C. Alat dan Bahan.....	51
D. Variabel Yang Digunakan.....	53
E. Persiapan Peralatan.....	54
F. Pelaksanaan Penelitian.....	57
G. Langkah-Langkah Pelaksanaan Penelitian.....	57
H. Analisis Data.....	59
<b>BAB IV HASIL DAN PEMBAHASAN .....</b>	<b>61</b>
A. Hasil Penelitian.....	61
B. Pola Aliran .....	61
a. Hubungan Kecepatan Aliran Dengan Bilangan Froude.....	61
b. Perhitungan Bilangan Reynold.....	63
c. Kedalaman Aliran.....	65
d. Kecepatan Aliran.....	65
e. Debit Aliran.....	66
f. Klasifikasi Aliran.....	67
g. Kecepatan Geser Dan Tegangan Geser.....	68
h. Pola Gerusan.....	70
i. Volume Gerusan.....	71

j. Pengaruh Pemasangan Tirai Terhadap Gerusan Di Pilar.....	73
k. Perhitungan Kedalaman Gerusan (Ds) Dengan Pendekatan Empiris.....	77
<b>C. Pembahasan.....</b>	<b>78</b>
a. Hubungan antara debit aliran, pemasangan tirai dan kecepatan aliran.....	79
b. Perbandingan antara sebelum dan sesudah pemasangan tirai dengan variasi debit tinggi aliran (h) dengan kecepatan aliran (v).....	79
<b>BAB V KESIMPULAN DAN SARAN.....</b>	<b>81</b>
A. Kesimpulan.....	81
B. Saran.....	82
<b>DAFTAR PUSTAKA.....</b>	<b>83</b>
<b>LAMPIRAN</b>	

## DAFTAR TABEL

Tabel 1. Koefisien Faktor Bentuk Pilar.....	21
Tabel 2. Nilai Koefisien Bentuk Pilar ( $K_1$ ).....	24
Tabel 3. Nilai Sudut Perletakan Pilar ( $K_2$ ).....	25
Tabel 4. Nilai Berdasarkan Kondisi Dasar Sungai.....	25
Tabel 5. Sebelum Pemasangan Tirai.....	62
Tabel 6. Setelah Pemasangan Tirai.....	62
Tabel 7. Viskomisasi Kinematis Sebagai Hubungan Fungsi Suhu.....	63
Tabel 8. Sebelum Pemasangan Tirai.....	64
Tabel 9. Setelah Pemasangan Tirai.....	64
Tabel 10. Kecepatan Aliran.....	66
Tabel 11. Debit Aliran.....	66
Tabel 12. Hasil Perhitungan Reynold Dan Angka Froude Tanpa Tirai .....	67
Tabel 13. Hasil Perhitungan Reynold Dan Angka Froude Dengan Menggunakan Tirai.....	67
Tabel 14. Pengaruh Tegangan Geser Dasar .....	68
Tabel 15. Hubungan Tegangan Geser Dasar .....	69
Tabel 16. Hubungan Antara Kecepatan Geser.....	70
Tabel 17. Tabel Volume Gerusan .....	72

Tabel 18. Rekpitulasi Perhitungan Kedalaman Gerusan Hasil Uji Model Laboratorium .....	78
Tabel 19. Perbandingan tinggi aliran (h) dan kecepatan (U) sebelum dan sesudah pemasangan tirai .....	80



## DAFTAR GAMBAR

Gambar 1. Pola Aliran Dendritik .....	6
Gambar 2. Pola Aliran Rektangular .....	7
Gambar 3. Pola Aliran Trellis .....	8
Gambar 4. Pola Aliran Radial .....	8
Gambar 5. Pola Aliran Radial Sentripetal .....	9
Gambar 6. Pola Aliran Paralel .....	9
Gambar 7. Pola Aliran Annular .....	10
Gambar 8. Pola Aliran Radial Sentrifugal .....	10
Gambur 9. Pola Aliran Pinnate .....	11
Gambar 10. Pilar Jembatan .....	19
Gambar 11. Jenis-Jenis Pilar .....	22
Gambar 12. Pola Gerusan Lokal Pada Pilar Jajaran Genjang .....	22
Gambar 13. Pola Gerusan Lokal Pada Pilar Bidang .....	23
Gambar 14. Pola Gerusan Lokal Pada Pilar Persegi .....	23
Gambar 15. Kedalaman Gerusan Setimbang Di Sekitar Pilar Fungsi Ukuran Butir Relatif Untuk Kondisi Relatif Kondisi Aliran (Breuser Dan Raudviki, 1991) .....	27
Gambar 16. Koefisien Simpangan Baku ( $K\sigma$ ) Fungsi Standar Deviasi Geometri Ukuran Butir (Breuser Dan Raudviki, 1991) .....	27

Gambar 17. Hubungan Koefisien Aliran ( $K_d$ ) Dan Kedalaman Aliran Relatif ( $Y_d/B$ ) Dengan Ukuran Relatif ( $B/D_{50}$ ) (Sumber : Breuser Dan Raudkivi, 1991:71) .....	32
Gambar 18. Koefisien Arah Sudut Aliran ( $K_a$ ) Pada Pilar.....	34
Gambar 19. Model Saluran Terbuks Dengan Penampang Trapezium .....	54
Gambar 20. Model Silinder .....	55
Gambar 21. Model 3 Dimensi Variasi Bentuk Tirai Persegi Sisi Depan Melengkung .....	56
Gambar 22. Penenjangan Model Tirai .....	57
Gambar 23. Flow Chart Penulis .....	60
Gambar 24. Hubungan Antara Kecepatan Dan Bilangan Froude Pada Saluran Dengan Bangunan Sebelum Pemasangan Tirai Sayap Beton Dan Bangunan Setelah Pemasangan Tirai Sayap Beton .....	63
Gambar 25. Hubungan Antara Bilangan Reynold Dengan Kecepatan Pada Bilangan Tanpa Menggunakan Tirai Sayap Beton Dan Bangunan Setelah Menggunakan Tirai Sayap Beton .....	64
Gambar 26. Pola Gerusan Di Sekitar Pilar Tanpa Tirai Sayap Beton .....	71
Gambar 27. Pola Gerusan Di Sekitar Pilar Yang Menggunakan Tirai Sayap Beton .....	71
Gambar 28. Topografi Gerusan Di Sekitar Pilar Tanpa Menggunakan Tirai Dengan Waktu Pengaliran 30 Menit .....	75

Gambar 29. Topografi Gerusan Di Sekitar Pilar Menggunakan Tirai Dengan Waktu Pengaliran 30 Menit..... 77

Gambar 30. Kecepatan aliran maksimum pada lokasi penelitian..... 79



## BAB I

### PENDAHULUAN

#### A. Latar belakang

Aliran yang terjadi pada suatu sungai seringkali disertai dengan angkutan sedimen dan proses gerusan. Proses gerusan akan terbentuk secara alamiah karena adanya pengaruh morfologi sungai atau karena adanya struktur yang menghalangi aliran sungai. Angkutan sedimen terjadi karena aliran air sungai mempunyai energi yang cukup besar untuk membawa sejumlah material. Sedimen yang lebih masuk lebih kecil dari sedimen yang keluar pada suatu penggal sungai maka akan terjadi penurunan dasar sungai secara memanjang (degradasi) tetapi sebaliknya akan menyebabkan terjadinya kenaikan dasar sungai secara memanjang (agradasi) (Ciptono Ikhsan dan Solichin, 2008).

Gerusan merupakan proses alam yang dapat mengakibatkan kerusakan pada struktur bangunan di daerah aliran air. Penambahan gerusan akan terjadi dimana ada perubahan setempat dari geometri sungai seperti karakteristik tanah dasar setempat dan adanya halangan air sungai berupa bangunan sungai. Adanya halangan pada alur sungai akan menyebabkan perubahan pola aliran (Jazaul Ikhsan dan Wahyudi Hidayat, 2006).

Sebagian besar kegagalan bangunan air yang melintang pada alur sungai seperti jembatan disebabkan oleh gerusan setempat yang terjadi tepat pada bangunan pilar atau dapat disebabkan oleh adanya degradasi alur sungai di hilir bangunan. Interaksi antara aliran di sekitar pilar jembatan dengan dasar sungai di sekitar pilar adalah sangat kompleks. Gerusan yang terjadi di sekitar pilar adalah akibat sistem pusaran (Vortex System) yang timbul karena aliran dirintangi pilar tersebut. Aliran mendekati pilar dan tekanan stagnasi akan menurun dari menyebabkan aliran kebawah ( Down Flow) yaitu aliran dari kecepatan tinggi menjadi kecepatan tinggi menjadi kecepatan rendah. Kekuratan down flow akan mencapai maksimum ketika berada tepat pada dasar saluran (Andi Dictanta dan Lutjito, 2016).

#### B. Rumusan Masalah

Adapun latar belakang tersebut dapat di buat rumusan masalah sebagai berikut :

1. Bagaimana pengaruh bangunan tirai sayap beton terhadap kecepatan aliran yang terjadi di sekitar pilar jembatan ?
2. Bagaimana potensi gerusan di sekitar pilar jembatan sebelum menggunakan dan setelah menggunakan bangunan model tirai sayap beton pada pilar jembatan ?

### C. Tujuan penelitian

Adapun maksud dan tujuan di lakukan penelitian ini adalah sebagai berikut :

1. Untuk mengetahui pengaruh gerusan yang terjadi di sekitar tirai sayap beton terhadap kecepatan aliran pada pilar jembatan.
2. Untuk menganalisa pengaruh gerusan di sekitar pilar jembatan dengan menggunakan model tirai sayap beton.

### D. Manfaat Penelitian

Manfaat yang di peroleh dari penelitian ini antara lain adalah :

1. Hasil penelitian ini di harapkan kita dapat mengetahui pengaruh kecepatan aliran terhadap pola gerusan yang terjadi di sekitar tirai sayap beton pada pilar jembatan.
2. Hasil penelitian ini di harapkan untuk menganalisa pengaruh gerusan di sekitar pilar jembatan dengan menggunakan model tirai sayap beton.

### E. Batasan masalah

Mengingat adanya keterbatasan waktu dan dana penelitian, maka harus di perlukan batasan masalah antara lain adalah :

1. Penelitian ini hanya membahas tentang pola gerusan pada pilar jembatan dengan model sayap beton sebagai tirai.

2. Data di peroleh dari pengamatan laboratorium sungai dan pengamatan lapangan.

#### F. Sistematika Penulisan

**BAB I PENDAHULUAN :** Merupakan bagian awal dari pembahasan yang meliputi latar belakang, rumusan masalah, tujuan penelitian, manfaat penelitian, batusan masalah, dan sistematika penulisan.

**BAB II TINJAUAN PUSTAKA :** Dalam bab ini menguraikan tentang pola aliran dan gerusan pada pilar jembatan dengan model sayap beton sebagai tirai.

**BAB III METODE PENELITIAN :** Dalam bab ini menguraikan tentang lingkup penelitian, waktu, dan tempat penelitian, alat-alat dan bahan penelitian, tahap penelitian, dan bagan alur penelitian.

**BAB IV HASIL DAN PEMBAHASAN :** Bab ini berisi hasil penelitian tentang menganalisis pola aliran dan gerusan pada pilar jembatan dengan model sayap beton sebagai tirai.

**BAB V PENUTUP :** Kesimpulan dan Saran yang mencakup dari keseluruhan isi penulisan yang di peroleh dan disertai saran-saran.

## BAB II

### TINJAUAN PUSTAKA

#### A. Landasan Teori

##### 1. Pengertian Sungai

Sungai adalah suatu saluran terbuka terbentuk secara alami yang mempunyai fungsi sebagai saluran drainase alami (M.Tony Iskandar, Mudjiatko, Trimajidah 2014). Sungai adalah alur air yang terbentuk secara alami di muka bumi yang mengalir dari mata air ke daerah alirannya menurut kondisi perluukan bumi yang akhirnya menuju ke daerah terendah (Nur Qudus, Asih Suprapti Agustina, 2007).

Defenisi diatas merupakan definisi sungai yang alami, sedangkan menurut undang-undang tentang peraturan pemerintah RI Nomor 35 Tahun 1991 tentang sungai yaitu dalam peraturan pemerintah pasal 1 ayat 1 ini yang dimaksud dengan sungai adalah suatu tempat dan wadah-wadah serta jaringan pengaliran air mulai dari mata air sampai muara dengan dibatasi kanan dan kirinya serta sepanjang pengalirannya oleh garis sempadan.

Air yang mengalir terus menerus di dalam sungai akan mengakibatkan penggerusan tanah dasarnya, penggerusan yang terus menerus membentuk lubang-lubang gerusan di dasar sungai. Gerusan yang terjadi akibat adanya suatu bangunan dinamakan sebagai gerusan lokal (local scouring), yang

dapat didefinisikan sebagai penurunan tiba-tiba elevasi dasar di dekat pilar karena erosi dari material dasar sungai yang disebabkan rintangan yang dialami oleh aliran.

Adanya gerusan lokal (local scouring) yang terjadi di sekitar pilar jembatan yang berada pada dasar sungai yang bersifat granuler atau pasir, dapat menyebabkan terjadinya penurunan konstruksi. Bersama dengan pengaruh liquification akibat getaran dari kendaraan yang lewat, gerusan lokal dapat menyebabkan kerusakan dan keruntuhan konstruksi.

## 2. Pengertian Pola Aliran

Pola aliran merupakan pola dari organisasi atau hubungan keruangan dari lembah-lembah baik yang dialiri sungai maupun lembah yang kekeringan tidak dialiri sungai. Pola aliran di pengaruh oleh lereng, kekerasan batuan, struktur, sejarah diastrofisme, sejarah geologi dan geomorfologi dari aliran sungai. Dengan demikian pola aliran sangat berguna dalam interpretasi kenampakan geomorfologi, batuan dan struktur geologi. Beberapa macam pola aliran antara lain:

### 1. Pola aliran Dendritik



Gambar 1. Pola aliran Dendritik

Pola aliran denderik adalah pola aliran dengan cabang-cabang sungai menyerupai garis penampang atau pertulangan daun. Contohnya adalah sungai yang mengalir di atas batuan yang tidak atau kurang resisten terhadap erosi sehingga membentuk tekstur sungai yang rapat. Namun bila aliran berada di atas batuan yang resisten , maka akan membentuk tekstur renggang.

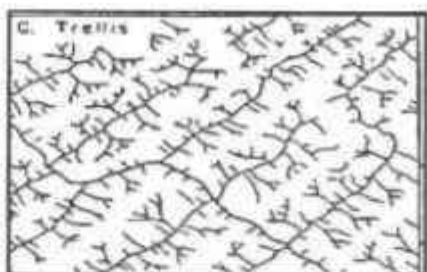
## 2. Pola aliran Rektangular



Gambar 2. Pola Aliran Rektangular

Pola aliran rektangular adalah pola aliran yang puncunya terdapat di wilayah batuan beku. Bentuk aliran sungai ini lurus mengikuti struktur patahan dengan di tandai bentuk sungai yang tegak lurus. Pola sungai rektengular biasanya berkembang pada batuan yang resisten terhadap erosi, tipe erosi cenderung seragam, namun di kontrol oleh kekar dua arah dengan sudut yang saling tegak lurus.

### 3. Pola aliran trellis



Gambar 3. Pola aliran trellis

Pola aliran terllis adalah pola aliran yang bentuknya mirip seperti pagar yang di kontrol oleh struktur geologi berupa lipatan sinkin dan antiklin. Sungai dengan aliran traflis memiliki ciri berupa kumpulan saluran air yang bentuknya seajar, mengalir mengikuti kemiringan lereng dan tegak lurus terhadap arah aliran utamanya. Timumnya arah saluran utama searah dengan sumbu lipatan

### 4. Pola aliran Radial

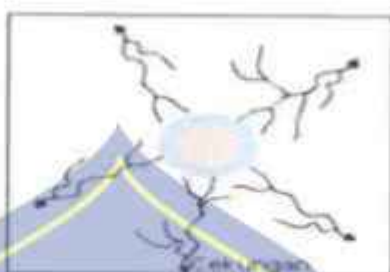


Gambar 4. Pola aliran Radial

Pola aliran radial adalah pola sungai dengan arahnya terdistribusi atau menyebar secara radial dari ketinggian tertentu

menuju daerah bawah. Bentuknya menyerupai gunung berapi atau puncak instrusi magma.

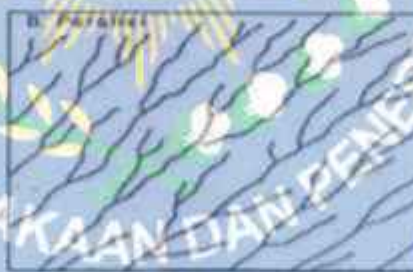
#### 5. Pola aliran Radial Sentripetal



Gambar 5. Pola aliran Radial Sentripetal

Pola aliran radial sentripetal adalah pola yang bentuknya berlawanan dengan pola radial. Pola sungai ini dapat berkembang menjadi pola annular dan memunculkan sungai obsekuen, sungai subsekuen sejajar dan sungai resekuen.

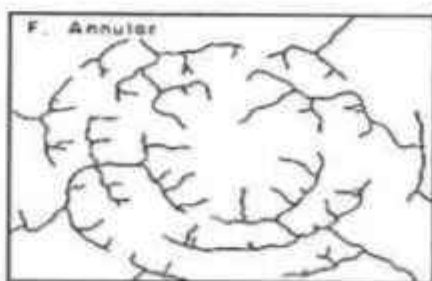
#### 6. Pola aliran Paralel



Gambar 6. Pola aliran Paralel

Pola aliran sungai paralel adalah pola aliran yang terdapat di daerah yang sangat luas dengan kemiringan yang curam. Kemiringan ini menyebabkan gradien sungai menjadi besar sehingga mengalirkan air ke tempat terendah dengan bentuk jalur yang hampir lurus.

## 7. Pola aliran Annular



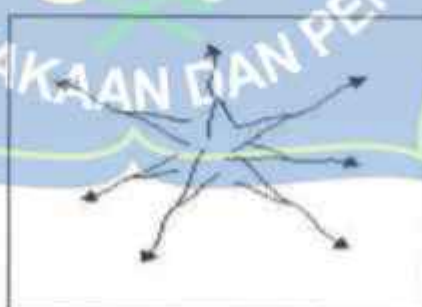
Gambar 7. Pola aliran Annular

Pola aliran annular adalah bentuk variasi dari pola sungai beraliran radial. Pola annular dapat di temukan pada daerah dome atau kaldera statum dewasa yang juga terdapat sungai konsekuensi, subsekuensi, resekuensi, dan obesekuen.

## 8. Pola aliran Angular

Pola aliran angular adalah pola aliran yang bentuknya lebih besar atau lebih kecil dari sudut 90 derajat. Sungai dengan pola seperti ini akan terlihat mengikuti garis-garis patahan.

## 9. Pola aliran Radial Sentrifugal



Gambar 8. Pola aliran Radial Sentrifugal

Pola aliran radial sentrifugal adalah pola aliran yang bentuknya menyebar secara radial dari titik ketingian tertentu. Umumnya sungai dengan jenis aliran ini terdapat di daerah pegunungan yang aliran airnya menyebar ke arah lereng.

#### 10. Pola aliran Pinnate



Gambar 9. Pola aliran Pinnate

Pola aliran pinnate adalah pola aliran air sungai yang pada bagian muara anak sungai membentuk sudut lancip dengan induk sungai. Sungai jenis ini dapat di temukan di bukit-bukit yang memiliki lereng terjal.

#### 3. Pengertian Gerusan

Gerusan adalah fenomena alam yang disebabkan oleh aliran air yang biasanya terjadi pada dasar sungai yang terdiri dari material alluvial namun terkadang dapat juga terjadi pada dasar sungai yang keras (Anton Arianto, 2009).

Gerusan merupakan proses alam yang dapat mengakibatkan kerusakan pada struktur bangunan di daerah aliran air (Jazaul Ikhsan & Wahyudi Hidayat, 2006).

Pengalaman menunjukkan bahwa gerusan dapat menyebabkan terkikisnya tanah di sekitar fondasi dari sebuah bangunan pada aliran air. Gerusan biasanya terjadi sebagai bagian dari perubahan morfologi dari sungai dan perubahan akibat bangunan buatan manusia.

#### 4. Jenis-jenis Gerusan

Gerusan yang terjadi dapat di golongkan menjadi 3 yaitu :

1. Gerusan Umum (General scour) yaitu bertambah dalamnya dasar saluran sungai akibat interaksi yang terjadi antara aliran yang terjadi pada sungai dengan material dasar sungai. Hal ini menyebabkan terjadinya angkutan sedimen pada sungai, yang dapat dibagi menjadi
  - a) Angkutan sedimen dasar adalah pergerakan material lepas dasar sungai yang bergerak mengelinding, bergeser atau melompat-lompat di dasar sungai atau saluran akibat gaya setelaniran
  - b) Angkutan sedimen iayang adalah pergerakan material lepas yang berasal dari dasar sungai atau hasil kikisan permukaan daerah tangkapan hujan, bergerak melayang bersama aliran dan dapat mengendap jika gaya berat material berat material tersebut lebih besar dari pada kombinasi gaya angkat air dan gaya akibat turbulensi aliran .

- c) Angkutan sedimen kikisan adalah pergerakan material lepas yang berasal dari hasil kikisan permukaan daerah tangkapan hujan, bergerak melayang bersama aliran, sukar mengendap, kecuali di tampungan waduk atau muara sungai
2. Gerusan lokal (local scour) Gerusan lokal adalah pengerasan pada dasar atau tebing sungai yang terjadi setempat di sekitar bangunan akibat peningkatan energy dan turbulensi aliran karena gangguan bangunan atau gangguan aliran. Gerusan lokal dapat dibagi menjadi 2 yaitu:
- a) Kondisi tidak ada angkutan sedimen (Clear water scour) yaitu pergerakan sedimen hanya terjadi pada sekitar abuament yang timbul akibat tegangan geser yang terjadi lebih besar dari pada tegangan geser kritis, yang dapat dibedakan menjadi:
    - a) Untuk  $(UU_{cr}) \leq 0,5$  Yaitu, kondisi gerusan lokal tidak terjadi dan proses transportasi sedimen tidak terjadi
    - b) Untuk  $0,5 \leq (UU_{cr}) \leq 1,0$  yaitu, kondisi gerusan lokal terjadi menerus dan proses tranportasi sedimen tidak terjadi.
    - b) Kondisi ada angkutan sedimen (live bed scour) terjadi akibat adanya perpindahan sedimen yaitu jika  $(UU_{cr}) \geq 1,0$

Keterangan :

$U$  = Kecepatan aliran rata-rata(m/dtk)

$ucr$  = Kecepatan aliran kritis (m/dtk)

3. Gerusan akibat adanya penyempitan di alur sungai (constriction scour). Gerusan ini terjadi akibat perubahan bentuk morfologi sungai yang semakin yang sebagian besar di akibatkan adanya bangunan air

Kedalaman dan area getutan pada jembatan dipengaruhi oleh sebagian maupun keseluruhan faktor-faktor berikut ini:

- a) Kemiringan, garis lurus normal (*natural alignment*) dan perubahan saluran.
- b) Jenis dan sejumlah material dasar yang diangkat.
- c) Debit aliran ( $Q$ ).
- d) Semakin tinggi debit yang mengalir melalui pilar tersebut, maka kedalaman gerusan yang terjadi disekitar pilar itu akan semakin besar pula. Keadaan ini diakibatkan karena meningkatnya kecepatan geser dan tegangnya geser pada saluran.
- e) Keterbatasan atau perubahan aliran yang melalui jembatan dan saluran.
- f) Geometri dan garis lurus normal pilar.
- g) Perubahan alami atau perubahan aliran buatan manusia atau

struktur sedimen.

- h) Kecelakaan, seperti runtuhnya struktur Triatmodjo (1995), aliran mantap (*steady flow*) terjadi jika variabel dari aliran seperti kecepatan  $v$ , tekanan  $p$ , rapat massa  $\rho$ , tampang aliran  $A$ , debit  $Q$ , kedalaman  $h$  disembarang titik pada zat cair tidak berubah dengan waktu.
- i) Menurut persamaan Kontinuitas, suatu debit tertentu  $Q$ , yang mempunyai kecepatan  $v$ , melewati suatu penampang saluran dengan kedalaman aliran  $h$ , dan lebar saluran  $B$ , dinyatakan dengan persamaan berikut:

$$v = \frac{Q}{B \cdot h} \quad \dots \dots \dots (1)$$

Dengan :

$v$  = Kecepatan aliran (m/dtk)

$B$  = Lebar saluran (m)

$h$  = Kedalaman aliran (m)

$Q$  = Debit aliran ( $m^3/dtk$ )

Luas tampang saluran dapat dihitung dengan menggunakan rumus sebagai berikut:

$$A = B \cdot h \quad \dots \dots \dots (2)$$

Dengan:

A = Luas tampang saluran ( $m^2$ )

B = Lebar saluran (m)

h = Kedalaman aliran (m)

Keliling tampang basah saluran dapat dihitung

menggunakan rumus sebagai berikut:

$$K = 2h + B \quad \dots \dots \dots (3)$$

Dengan:

K = Keliling basah saluran (m)

h = Kedalaman aliran (m)

B = Lebar saluran (m)

Radius hidrolik dapat dihitung menggunakan rumus

sebagai berikut:

$$R = \frac{A}{K} \quad \dots \dots \dots (4)$$

Dengan:

R = Radius hidraulik (m)

A = Luas saluran

K = Keliling basah (m)

Tingkat kekritikan aliran dapat ditentukan dengan mencari bilangan *fraud*, dengan persamaan sebagai berikut:

$$F = \frac{v}{\sqrt{g \cdot h}} \quad \dots \dots \dots (5)$$

Dengan :

$F$  = Angka Fraude

$h$  = Kedalaman aliran dimana jika

$F < 1,0$  disebut aliran *sub kritis*

$F = 1$  disebut aliran keritik

$F > 1,0$  disebut aliran *super kritis*

#### S. Analisis Gerusan

Untuk menganalisis terjadinya pengerasan ada beberapa rumus yang bisa digunakan. Pada perencanaan ini, rumus yang digunakan adalah Hydraulic Circular Engineering No.18 (HEC-18), karena dapat digunakan untuk semua bentuk pilar baik itu pilar berbentuk silinder, persegi, maupun kelompok tiang dengan menggunakan rumus berikut:

$$\frac{y_s}{y_1} = 2,0 \cdot K_1 \cdot K_2 \cdot K_3 \left( \frac{a}{y_1} \right)^{0,65} \cdot (Fr_1)^{0,43} \quad \dots \dots \dots (6)$$

Keterangan:

$y_s$  = kedalaman pengerasan (m)

$y_1$  = kedalaman rata-rata (m)

K<sub>1</sub> = faktor koreksi terhadap bentuk ujung pilar

K<sub>2</sub> = faktor koreksi terhadap sudut dating aliran (o)

K<sub>3</sub> = faktor koreksi terhadap kondisi dasar

a = lebar pilar (m)

Fr = bilangan Froude untuk kedalaman rata-rata

$$f_r = \frac{V}{\sqrt{gD}} \quad (7)$$

$$D = \frac{A}{T} \quad (8)$$

Dimana

A = luas penampang ( $m^2$ )

T = lebar permukaan air (m)

g = percepatan gravitasi ( $m/dt^2$ )

V = kecepatan aliran rata-rata ( $m/detik$ ) (Winda Ekasari dkk)

## B. Pengertian Jembatan

Jembatan merupakan struktur yang dibuat untuk menyeberangi jurang atau rintangan seperti sungai, rel kereta api atau-pun jalan raya. Jembatan dibangun untuk penyeberangan pejalan kaki, kendaraan atau kereta api di atas halangan. Jembatan juga merupakan bagian dari infrastruktur transportasi darat yang sangat vital dalam aliran perjalanan (traffic flows). Jembatan sering menjadi komponen kritis dari suatu ruas jalan, karena

sebagai penentu beban maksimum kendaraan yang melewati ruas jalan tersebut (Andy Dictanata, Lutjito, 2016).

Jembatan dibangun melintang pada sungai dengan adanya pilar-pilar dan *abutment* pada konstruksi jembatan akan mempersempit penampang melintang disungai. Akibat adanya pilar jembatan yang dibangun disungai makam timbul kecepatan aliran yang berbeda yaitu lebih besar dibawah jembatan dari pada disungai.



Gambar 10. Pilar Jembatan

Pilar merupakan bagian penting dari sebuah bangunan karena ia akan menentukan kokohnya suatu bangunan oleh karena itu pembuatan pilar

harus di perhitungkan dengan kekuatan dan beban yang akan di sanggah pilar biasanya terletak dibagian luar bangunan sehingga membutuhkan teknik, dan desain yang khusus untuk menambah nilai estetika bangunan tersebut. Pilar terbuat dari batu, kayu, beton, atau material lain.

Pada sebuah kontruksi pilar/pier memiliki beberapa bagian yakni pier head atau kepala pilar dan badan pilar, yang di maksud pier head atau kepala pilar ialah istilah yang digunakan pada pilar jembatan, dimana kepala pilar dapat di definisikan sebagai bagian dari pilar jembatan yang berfungsi sebagai pemikul ujung perletakan jembatan antara girder/gelagar dan bearing pad atau elastomer sebagai dampalan girder ke pier head. Adapun yang dimaksud dengan girder/gelagar adalah sebuah balok diantara dua penyangga dapat berupa pier ataupun abutment pada suatu jembatan bagian selanjutnya pada pilar, ialah dinding atau kolom pada bagian pilar jembatan yang berfungsi meneroskan gaya dari pier head pada pondasi.

Pilar jembatan mempunyai berbagai macam bentuk seperti *lenticular*, bulat maupun *ellips* yang dapat memberikan pengaruh terhadap pola aliran. Aliran yang terjadi pada sungai biasanya di sertai proses pengerasan/erosi dan endapan sedimen/deposisi.

Tabel 1. Koefisien faktor bentuk pilar

Bentuk Pilar	b/l	b/l	Ks	Gambar Bentuk Pilar
Silinder			1.0	
Persegi (Rectangular)	1:1		1.22	
Persegi dengan ujung setengah lingkaran (rectangular with semi circular nose)	1:5	1.3	0.99	
Ujung setengah lingkaran dengan bentuk belakang lancip (semi circular nose with wedge shape tail)	1.5	1.3	0.86	
Persegi dengan sisi depan miring (rectangular with wedge shape nose)	1.3	1.2	0.76	
Ellips (Elliptic)	1:2	1.4	0.65	
	1:5		0.85	
	1:5		0.80	
Lenticular	1:2		0.80	
	1:3		0.70	
Aerofil	1:3.5		0.80	

(Sumber : Breuser dan Raudkivi, 1991:73)

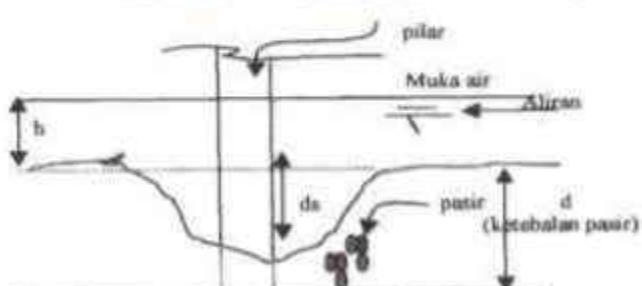
## 1. Jenis-jenis Pilar

1. Pilar tunggal, terbuat dari pipa baja dan beton bertulang.
2. Pilar Perancah/portal, terbuat dari baja dan beton bertulang
3. Pilar masif ,terbuat dari pasangan batu kali dan beton bertulang

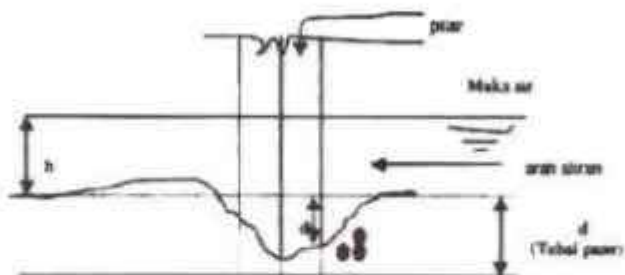


## 2. Pola Gerusan Lokal Disekitar Pilar

Gerusan lokal (*local scouring*) terjadi di sekitar pilar akan membentuk suatu pola gerusan tertentu. Pada pengujian ini pola gerusan setiap pilar diamati setelah *running* dan dilakukan pembuatan setsa. Untuk lebih jelas dapat dilihat pada gambar di bawah ini.



Gambar 12. Pola gerusan lokal pada pilar jajaran genjang



Gambar 13. Pola gerusan lokal pada pilar bulat



Gambar 14. Pola gerusan lokal pada pilar persegi

Gerusan lokal sering terjadi pada bagian depan pilar jembatan karena menahan aliran sungai. Ada beberapa metode untuk menghitung kedalaman gerusan yang terjadi di daerah sekitar pilar. Salah satu bentuk persamaan kedalaman gerusan lokal pada pilar di hitung dengan persamaan (anonim, 2005 : 23 ).

$$S = 2 \text{ kg}^{-0.215} a^{0.65} d^{0.135} Fr^{0.43} \quad \dots \dots \dots (9)$$

Dengan :

$S$  = Kedalaman gerusan (m)

$K$  = Angka kofisien pilar

$G$  = Percepatan gravitasi bumi ( $9,81 \text{ m/det}^2$ )

$A$  = Lebar pilar (m)

$d$  = Kedalaman aliran (m)

$Fr$  = Bilangan froude

Bentuk tampang pilar merupakan salah satu dari bentuk geometric pilar.

Bentuk ini dapat mengpengaruhi pola aliran yang terjadi di sekitar pilar, oleh karena itu perlu di perhitungkan tipe aliran yang terjadi dari bentuk tampang pilar terhadap gerusan jokai. Tipe aliran yang terjadi di hitung berdasarkan bilangan Froude sebagai berikut:

$$Fr = \frac{V}{\sqrt{G/d}} \quad \dots \dots \quad (10)$$

Angka koefisien  $K$  dipengaruhi dari bentuk pilar ( $K_1$ ), sudut peletakan pilar ( $K_2$ ), kondisi dasar sungai ( $K_3$ ), dan butiran sedimen ( $K_4$ ). Untuk mendapatkan nilai koefisien  $K$  di hitung dengan persamaan berikut:

$$K = K_1 \times K_2 \times K_3 \times K_4 \quad \dots \dots \quad (11)$$

$$K_2 = (\cos \theta + \sin \theta)^{0,65} \quad \dots \dots \quad (12)$$

Tabel 2. Nilai koefisien bentuk pilar ( $K_1$ )

No	Bentuk pilar	Nilai koefisien
1	Square Nose	1,1
2	Round Nose	1,0
3	Cylinder	0,9
4	Sharp Nose	1,0
5	Group Of Cylinder	1,0

Tabel 3. Nilai sudut perletakan pilar ( $K_2$ )

No	Sudut perletakan pilar $k_2$	Nilai Koefisien $k_2$		
		L/a = 4	L/a = 8	L/a = 12
	0	1,0	1,0	1,0
1	0	1,0	1,0	1,0
2	15	1,5	2,0	2,5
3	30	2,0	2,5	3,5
4	45	2,3	3,3	4,3
5	90	2,5	3,9	5,0

Tabel 4. Nilai berdasarkan Kondisi Dasar Sungai (k3)

No	Dasar Sungai	Kekasaran (H)	Tinggi	K3
1	Clear Water Scour	-		1,1
2	Plane bed and antidune flow			1,1
3	small dunes	3,0 > H > 0,6		1,1
4	Medium dunes	9,0 > H > 3,0		1,2
5	Large dunes	> 9,0		1,3

$$K_a = [1,089(1-V_n)]^{0,5} \quad \dots \dots \dots (13)$$

$$V_n = \frac{v' + v_c}{v_c + v} \quad \dots \dots \dots (14)$$

$$V' = 0,645 \left( \frac{D_{50}}{a} \right)^{0,053} V_c \quad \dots \dots \dots (15)$$

$$V_c = 6,19 d^{\frac{1}{6}} D_{50}^{\frac{1}{3}} \quad \dots \dots \dots (16)$$

Kontrol kecepatan terhadap gerusan dipilar yaitu sebagai berikut:

$V > V_c$  ..... terjadi gerusan

$V < V_c$  ..... gerusan tidak terjadi

Dengan :

$V$  = Kecepatan aliran (m/det)

$V_r$  = Kecepatan rata-rata (/det)

$V$  = Kecepatan butiran pilar (m/det)

$V_c$  = Kecepatan kritis (m/det)

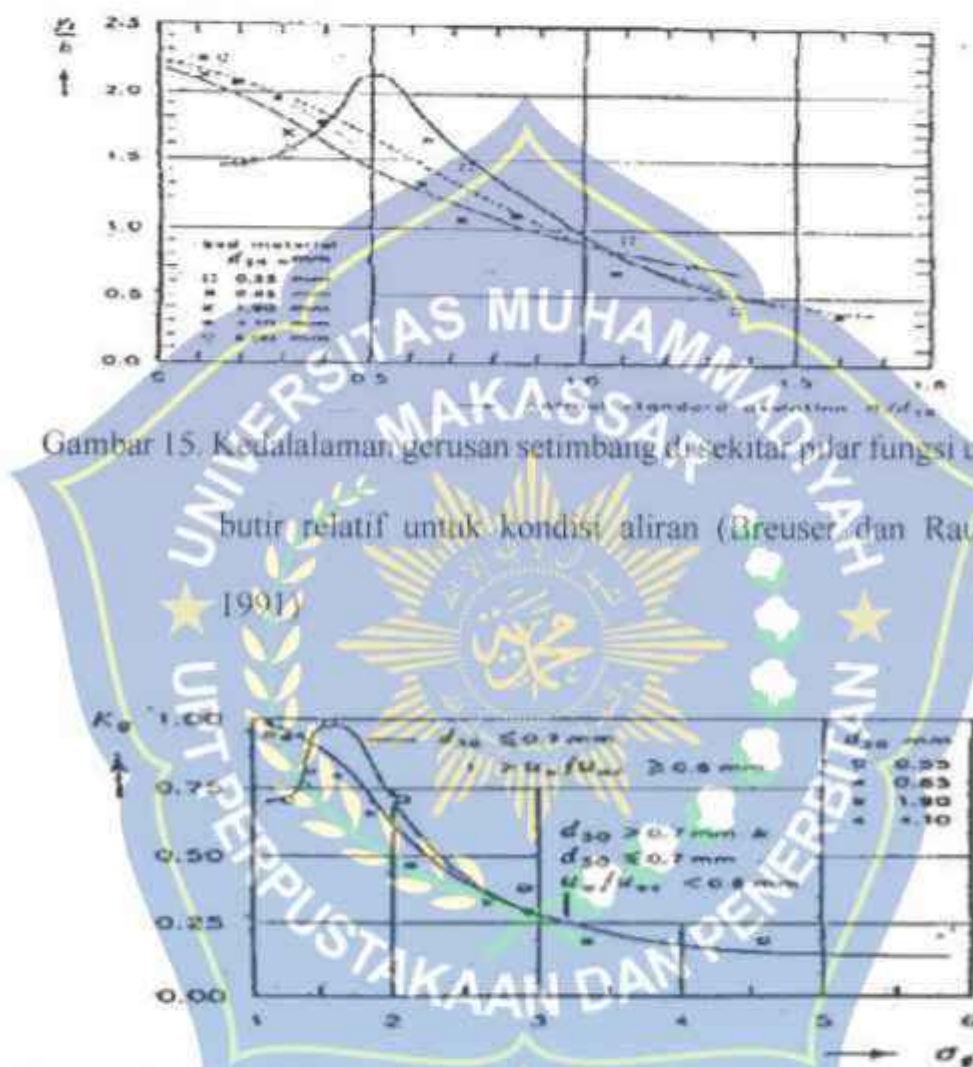
$L$  = Panjang pilar (m)

$D_{50}$  = Diameter butiran (mm)

#### D. Gradasi Sedimen

Gradasi sedimen dari sedimen transpor merupakan salah satu faktor yang mempengaruhi kedalaman gerusan pada kondisi air bersin (*clear water scour*). Dari Gambar 15 kedalaman gerusan ( $v_s/b$ ) tak berdimensi sebagai fungsi dari karakteristik gradasi sedimen material dasar ( $\sigma/d_{50}$ ). Dimana  $\sigma$  adalah standar deviasi untuk ukuran butiran dan  $d_{50}$  adalah ukuran partikel butiran rerata. Nilai kritis dari  $\sigma/d_{50}$  untuk melindunginya hanya dapat dicapai dengan bidang dasar tetapi tidak dengan lubang gerusan dimana kekuatan lokal pada butirannya tinggi yang disebabkan meningkatnya pusaran air.

Dengan demikian nilai koefisien simpangan baku geometrik ( $\sigma_g$ ) dari distribusi gradasi sedimen akan berpengaruh pada kedalaman gerusan air bersih dan dapat ditentukan dari nilai grafik Gambar 16.



Gambar 15. Kedalaman gerusan setimbang  $d$  sekitar pilar fungsi ukuran butir relatif untuk kondisi aliran (Breuser dan Raudviki, 1991)

Gambar 16. Koefisien simpangan baku ( $k\sigma$ ) fungsi standar deviasi geometri ukuran butir (Breuser dan Raudviki, 1991)

Estimasi kedalaman gerusan dikarenakan adanya pengaruh distribusi material dasar mempunyai nilai maksimum dalam kondisi setimbang pada

aliran air bersih (*clear water*) menurut Breuser dan Raudviki (1991:67) adalah sebagai berikut :

$$\frac{y_s(\sigma)}{b} = K_d \cdot Y_s/b \quad \dots \dots \dots (17)$$

Dimana :

$y_s$  : kedalaman gerusan (m)

$\sigma$  : simpangan baku

$b$  : lebar pilar jembatan (m)

$K_d$  : koefisien simpangan baku

#### E. Ukuran Pilar dan Ukuran Butir Material Dasar

Kedalaman gerusan maksimum pada media alir *clear water scour* sangat dipengaruhi adanya ukuran butiran material dasar terbatas  $b/d_{50}$  pada sungai alami maupun buatan. Untuk sungai alami umumnya koefisien ukuran butir relatif  $b/d_{50}$  pada kecepatan relatif  $V/V_c = 0,90$  pada kondisi *clear water* dan umumnya kedalaman gerusan relatif  $y_s/b$  tidak dipengaruhi oleh besarnya butiran dasar sungai selama  $b/d_{50} > 25$ .

Ukuran pilar mempengaruhi waktu yang diperlukan bagi gerusan lokal pada kondisi *clear-water* sampai kedalaman terakhir, tidak dengan jarak relatif ( $y_s/b$ ), jika pengaruh dari kedalaman relatif ( $y_s/b$ ) dan butiran relatif ( $b/d_{50}$ ) pada kedalaman gerusan dihilangkan, maka nilai aktual dari ( $y_s/b$ ) juga tergantung pada peningkatan dari *bed material*. Pada kasus gerusan yang

mengangkut sedimen (*live bed*), waktu diberikan untuk mencapai keseimbangan gerusan dan tergantung pada rasio dari tekanan dasar ke tekanan kritis.

(Breuser 1971, Akkerman 1976, Konter 1976, 1982, Nakagawa dan Suzuki 1976) melakukan percobaan-percobaan untuk mempraktekkan pendekatan yang sama terhadap proses gerusan di sekitar pilar jembatan. Hasil dari percobaan-percobaan tersebut diantaranya pada kolom dengan ukuran kecil dimana ( $b/b_0 < 1$ ) kedalaman maksimum gerusan dapat dilihat dengan persamaan berikut yang berlaku pada seluruh fase dari proses gerusan, dimana  $y_{mc} > b$

$$\frac{y_m}{y_{mc}} = 1 - e^{(\alpha)[1 - \frac{b}{y_{mc}}][\frac{t}{t_1}]^{\gamma}} \quad (18)$$

Dimana :

$b$  : lebar pilar jembatan (m)

$h_0$  : kedalaman aliran mula-mula (m)

$t$  : waktu (dtk)

$t_1$  : waktu ketika  $y_m = b$  (s)

$y_m$  : kedalaman maksimum gerusan pada saat  $t$  (m)

$y_{mc}$  : kedalaman gerusan maksimum pada saat setimbang (m)

$\gamma$  : koefisien, dimana  $\gamma = 0,2 - 0,4$

Pada fase perluasan (development phase), untuk  $t < t_1$

Persamaan menjadi :

$$\frac{y_m}{b} = \left[ \frac{t}{t_1} \right]^\gamma \quad \dots \dots \dots (19)$$

Menurut Nakagawa dan Suzuki (1976), Miller (2003) dalam Okky (2007)

nilai  $\gamma = 0,22 - 0,23$  dan  $t_1$  dapat ditulis sebagai berikut :

$$t_1 = 29,2 \left[ \frac{\sqrt{\Delta g d_{50}}}{\sqrt{2 U_0 - U_c}} \right]^3 \left[ \frac{b}{d_{50}} \right]^{1,9} \quad \dots \dots \dots (20)$$

$$U_a = \frac{Q}{A} \quad \dots \dots \dots (21)$$

Dimana :

$b$  : lebar pilar jembatan (m)

$d_{50}$  : diameter rata-rata partikel (m)

$U_c$  : kecepatan kritis rata-rata (m/dt)

$U_0$  : kecepatan rata-rata (m/dt)

$Q$  : debit (m<sup>3</sup>/dt)

$A$  : luas penampang (m<sup>2</sup>)

$\Delta$  : berat jenis relatif (-)

Berdasarkan data Laursen dan Toch (1956), Breuser dan Raudviki

(1971) dalam Okky (2007) menemukan persamaan pilar bulat jembatan,

yaitu :

$$y_{me} = 1,35 k_i b^{0,7} b^{0,3} \quad \dots \dots \dots (21)$$

Dimana

b : lebar pilar jembatan (m)

$h_o$  : kedalaman aliran (m)

$k_i$  : faktor koreksi (untuk pilar buat  $k_i = 1,0$ )

$y_{mg}$  : kedalaman gerusan saat seimbang (m)

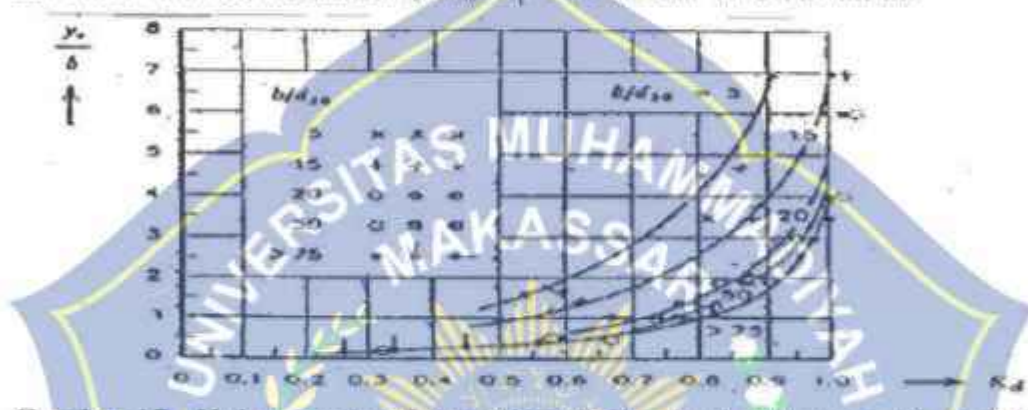
Volume lubang gerusan dibentuk untuk mengelilingi pilar dan berbanding diameter kubik dari pilar itu sendiri, berarti semakin lebar pilar semakin banyak gerusan dan semakin banyak pula waktu yang diperlukan untuk melakukan penggerusan. Koefisien pengaruh ukuran pilar dan ukuran butir material dasar ( $K_d$ ) ini menurut Ettema (1980) dalam Breuser (1991:68) dapat pula untuk *live bed scour*.

#### 1. Kedalaman Dasar Sungai dari Muka Air

Dalam gerusan lokal yang terjadi dipengaruhi oleh kejalanannya dasar sungai dari muka air (tinggi aliran zat air), maka kecepatan relatif ( $U/U_s$ ) dan kedalaman relatif ( $y/b$ ) merupakan faktor penting untuk mengestimasi kedalaman gerusan lokal. Neil (1964) dalam Breuser (1991:70) menyatakan bahwa kedalaman gerusan lokal merupakan fungsi dari tinggi aliran dengan persamaan sebagai berikut :

$$\frac{y_s}{y_o} = 1.5 \left( \frac{b}{v} \right)^{0.70} \quad \dots \dots \dots \quad (22)$$

Keseimbangan gerusan lokal pada aliran rendah akan tercapai jika telah terjadi kesamaan nilai  $(U^*/U_{*c})$  dan  $y_0/b$ , dan pengaruh dari  $y_0/b$  tidak dapat dibedakan antara kondisi *clear water scour* dan *live bed scour*. Pada  $(U^*/U_{*c})$  yang konstan, faktor pengaruh dari kedalaman aliran dapat diabaikan untuk  $y_0/b \geq 2$ , sedangkan korelasi antara kedalaman relatif ( $y_0/b$ ) dan koefisien kedalaman air ( $K_d$ ) seperti Gambar 17 dibawah ini



Gambar 17. Hubungan koefisien aliran ( $K_d$ ) dan kedalaman aliran relatif ( $y_0/b$ ) dengan ukuran relatif ( $b/d_{50}$ ) (Sumber: Breuer dan Raudkivi, 1991:71)

## 2. Bentuk Pilar

Pengaruh bentuk pilar berdasarkan potongan horizontal dari pilar telah diteliti oleh Laursen dan Toch (1956), Neil (1973) dan Dietz (1972). Bentuk potongan vertikal pilar juga dapat dijadikan dasar untuk menentukan faktor koreksi. Bentuk pilar akan berpengaruh pada kedalaman gerusan lokal, pilar jembatan yang tidak bulat akan memberikan sudut yang lebih tajam terhadap aliran datang yang diharapkan dapat mengurangi gaya pusaran tapal

kuda sehingga dapat mengurangi besarnya kedalaman gerusan. Hal ini juga tergantung pada panjang dan lebar ( $l/b$ ) masing-masing bentuk mempunyai koefisien faktor bentuk  $K_s$  menurut Dietz (1971) dalam Breuser dan Raudkivi (1991:73).

### 3. Posisi Pilar (Sudut Kemiringan Pilar)

Kedalaman gerusan lokal tergantung pada kedudukan / posisi pilar terhadap arah aliran yang terjadi serta panjang dan lebarnya pilar. Karena kedalaman gerusan merupakan rasio dari panjang dan lebar serta sudut dari tinjauan terhadap arah aliran. Koefisien sudut datang aliran karena posisi pilar digunakan pada beberapa bentuk tertentu. Hanya bentuk silinder yang tidak menggunakan koefisien sudut datang (Laursen dan toeij (1956) dalam Breuser (2004:72))

Koefisien sudut datang arah aliran seperti Gambar IX. Menurut, Dietz (1972) dan Nel (1973) terhadap pengaruh bentuk pilar tampak *horizontal cross section*, mereka menegaskan dan merekomendasikan nilai faktor bentuk pilar ( $K_s$ ). Laursen dan Touch (1956) mempelajari ini pada pilar *rectangular horizontal cross section* dengan memberikan sudut kemiringan terhadap aliran. Bila sudut terjang aliran terhadap pilar  $0^\circ$  maka  $K_s = 1$ ,

Nagasaki dan suzuki (1976) menyajikan beberapa pengujian gerusan disekitar pilar *rectangular horizontal cross section* dengan  $L/b$  berkisar 1,75 dengan variasi sudut  $0^\circ - 45^\circ$ . Dari penelitian tersebut gerusan yang terjadi

untuk sudut  $30^\circ$  hampir sama dengan  $45^\circ$ , namun itu lebih besar dari  $0^\circ$  yang mana  $K_a = 1,3 - 1,8$ .

$$K_a = \left( \cos \alpha + \frac{b}{bsina} \right)^{0,62} \quad \dots \dots \dots (23)$$

Dimana :

$K_a$  : faktor orientasi pilar terhadap aliran

b : sisi lebar bentuk pilar (m)

l.p : sisi panjang bentuk pilar (m)

$\alpha$  : sudut datang aliran terhadap pilar



Gambar 18. Koefisien arah sudut aliran ( $K_a$ ) pada pilar

(Sumber : Breuser dan Raudkivi, 1991:71)

#### 4. Persamaan Gerusan

##### a. Persamaan Froehlich

Froehlich, menggunakan analisa dimensi dan analisa multiple regresi terhadap percobaan clear-water scour pada sebuah flume di laboratorium, sehingga diperoleh persamaan sebagai berikut :

$$\frac{d_s}{d_0} = 0,78 K_1 K_2 \left( \frac{L_A}{h} \right)^{0,63} Fr^{1,16} \left( \frac{y_0}{d_{50}} \right)^{0,43} \sigma^{-1,87} \quad \dots \dots \dots (24)$$

dimana :

$d_0$  : kedalaman aliran (m)  
 $d_s$  : kedalaman gerusan (m)  
 $K_1$  : koefisien bentuk pilar  
 $K_2$  : koefisien sudut pilar terhadap aliran  
 $L_A$  : diameter pilar (m)  
 $Fr$  : bilangan Froude aliran  
 $\sigma = \left( \frac{d_{50}}{d_0} \right)^{0,5}$  standar deviasi geometri material dasar

##### b. Pendekatan The Colorado State University (CSU)

Gerusan di pilar menyebabkan terjadinya *horseshoe vortex* yang disebabkan oleh aliran di dasar pilar. Persamaan The Colorado State University (CSU) digunakan untuk menghitung kedalaman gerusan disekitar pilar, dengan persamaan sebagai berikut, (Julien Y, 2002)

Dimana :

$\Delta z$  : Kedalaman gerusan (m)

$h$  : Kedalaman aliran (m)

$K_1$  : Koefisien bentuk pilar

**K<sub>2</sub>** : Koefisien sudut pilar terhadap aliran

www.lebarpilar.com

Fr. Anka Freud



## F. Matriks Jurnal

No	Nama Penulis	Judul	Tujuan Penelitian	Hasil/outcome	Kesamaan penelitian	Variable yang diteliti
1	Antón Aryianto	<b>ANALISIS BENTUK PILAR JEMBATAN TERHADAP POTENSI GERUSAN LOKAL (Studi kasus Model Pilar Penampang Persegi Panjang dan Ellips)</b>	<p>Penelitian ini untuk mengetahui kontributasi maksimum jauh dan setiap bentuk pilar untuk setiap perubahan debit berlakunya</p> <p>1. Dari pengujian yang dilakukan, perubahan debit aliran (<math>Q</math>) sangat berpengaruh terhadap kedalaman gerusan</p> <p>2. Semakin besar debit yang digunakan, maka kedalaman gerusan yang terjadi juga akan semakin besar pula, pada pengujian dengan debit aliran <math>Q = 361 \text{ cm}^3/\text{dk}</math> gerusan maksimum yang terjadi sebesar <math>(d) = 1,5 \text{ cm}</math> untuk pilar dengan bentuk ellips dan <math>(d) = 2,13 \text{ cm}</math> untuk pilar dengan bentuk persegi panjang, <math>Q = 848 \text{ cm}^3/\text{dk}</math> <math>(d) = 2,33 \text{ cm}</math> untuk pilar dengan bentuk ellips dan <math>(d) = 2,43 \text{ cm}</math> untuk pilar dengan bentuk</p>	<p>Penelitian ini membahas analisis pilar jembatan terhadap gerusan lokal</p> <p>h = Kedalaman aliran (m)</p> <p><math>Q = \text{Debit aliran } (\text{m}^3/\text{dk})</math></p>	<p>v = Kecepatan aliran (<math>\text{m}/\text{dk}</math>)</p> <p>B = Lebar saluran (m)</p>	



2	Alifi Yunar	KARAKTERISTIK GERUSAN PILAR SEGI EMPAT UJUNG BULAT PADA KONDISI TERJADI PENURUNAN DASAR SUNGAI DENGAN PROTEKSI TIRAI	<p>Penelitian ini lebih ditekankan pada tirai dan pilar yang dapat mengurangi kedalaman gerusan lokal pada saat terjadi penurunan dasar.</p> <p><b>1. Terhadap lebar pilar yang digunakan</b></p> <p>Dari pengamatan kedalaman gerusan diketahui bahwa pasangan tirai dan Pilar Segi Empat ujung Bulat TIRIA4 mempunyai nilai kedalaman relatif gerusan lokal maksimum</p>	<p>Kesimpulan</p> <p>1. Nilai perubahan kedalaman dasar baik itu kedalaman gerusan lokal maksimum ataupun penurunan dasar yang terjadi adalah nilai relatif maksimum</p> <p>2. Terhadap lebar pilar yang digunakan</p> <p>Dari pengamatan kedalaman gerusan diketahui bahwa pasangan tirai dan Pilar Segi Empat ujung Bulat TIRIA4 mempunyai nilai kedalaman relatif gerusan lokal maksimum</p>	<p>Penelitian ini</p> <p>kedalaman gerusan lokal maksimum</p> <p>seperi, bentuk pilar, gradasi sedimen dan faktor sudut</p>
3	Eldina Fatimah	STUDI KEDALAMAN GERUSAN LOKAL PADA PILAR JEMBATAN SIMPANG SURABAYA KRUENG ACEH, BANDA ACEH	<p>Tujuan dari penelitian ini adalah untuk mengukur jarak stabilitas pilar Jembatan Simpang Surabaya Perlu diperhatikan ketabilitas pilar Jembatan Simpang Surabaya terhadap gerusan lokal akibat pengaruh aliran</p> <p><b>1. Kestabilan pilar Jembatan Simpang Surabaya Perlu diperhatikan berdasarkan perhitungan kedalaman gerusan lokal (<math>S</math>) estimasi pada pengukuran tahun 2009</b></p>	<p>I. Kestabilan pilar Jembatan Simpang Surabaya Perlu diperhatikan berdasarkan perhitungan kedalaman gerusan lokal (<math>S</math>) estimasi pada pengukuran tahun 2009</p> <p>Pada penelitian kami sama-sama membahas pilar jembatan</p>	$Fr = \frac{V}{\sqrt{(g \cdot d)}}$ <p>Angka koefisien <math>K</math> dipengaruhi dari bentuk pilar (<math>K_1</math>),</p>

sudut  
perletakan pilar  
(K2), kondisi  
dasar sungai  
(K3), dan  
butiran  
sedimen  
sungai(K4).

**2.** Pengukuran pada tahun  
2009 telah  
menyebabkan gerusan lokal  
sebesar 2,99  
meter, jika dilihat dari  
pengukuran tahun  
2008 untuk pilar P2.1.  
Sedangkan pada pilar  
P2.2 mengalami gerusan  
lokal sebesar 1,09  
meter.

**3.** Perbandingan yang  
dilakukan berdasarkan  
pengukuran tahun 2008,  
pengukuran tahun  
2009 dan dengsan debit  
banjir rencana.  
bahwa elai Jembatan  
Simpang Surabaya  
sudah mengalami gerusan  
lokal di sekitar  
pilar. Untuk menjaga  
kestabilan dan ke



4	Jazaul Ikhwan & Wahyudi Hidayat	<p style="text-align: center;"><b>PENGARUH BENTUK PILAR JEMBATAN TERHADAP POTENSI GERUSAN LOKAL</b></p> <p>Tujuan dari penelitian ini adalah untuk mengetahui variasi debit dan bentuk pilar terhadap potensi gerusan lokal yang terjadi sehingga dapat dipilih bentuk pilar yang paling aman terhadap bahaya banjir.</p> <p>Universitas Muhammadiyah Negeri</p>	<p>amanan pilar terhadap aliran vortex maka dilakukan pengamatan yang cepat untuk tahap pemeliharaan terhadap pilar dengan batu riprap (DR) = 0,945 meter</p> <p>Berdasarkan hasil penelitian yang dilakukan mengenai pengaruh bentuk pilar jembatan terhadap potensi gerusan lokal maka ditarik kesimpulan sebagai berikut:</p> <ol style="list-style-type: none"> <li>1. Dari pengujian yang dilakukan perubahan debit aliran (<math>Q_1</math>) sangat berpengaruh terhadap kedalaman gerusan.</li> <li>2. Semakin besar debit yang digunakan maka terjadilah gerusan yang juga akan semakin besar pula, pada pengujian dengan debit aliran <math>Q_1 = 361 \text{ cm}^3/\text{dtk}</math> gerusan maksimum</li> </ol> <p>Penelitian yang kami lakukan ialah dampak gerusan pada pilar jembatan dengan tiga variasi debit yaitu <math>Q_1 = 0,361 \text{ l/dtk}</math> atau <math>361 \text{ cm}^3/\text{dtk}</math> dengan kedalaman gerusan</p> <p>Pengukuran kedalaman gerusan lokal di sekitar pilar dilakukan dengan tiga variasi debit yaitu <math>Q_1 = 0,361 \text{ l/dtk}</math> atau <math>361 \text{ cm}^3/\text{dtk}</math> dengan kedalaman aliran sepanjang aliran (<math>h_1</math>) = 4 cm, <math>Q_2 = 0,848 \text{ l/dtk}</math> atau <math>848 \text{ cm}^3/\text{dtk}</math> dengan</p>



yang terjadi sebesar  $(d_s) = 2,03$  cm untuk pilar dengan bentuk jajaran genjang.  $(d_s) = 1,7$  cm untuk pilar dengan bentuk persegi dan  $(d_s) = 1,53$  cm untuk pilar dengan bentuk bulat.  $Q_2 = 848 \text{ cm}^3/\text{dtk}$ ,  $(d_s) = 2,87$  cm untuk pilar dengan bentuk jajaran genjang,  $(d_s) = 2,8$  cm pilar jajaran bentuk persegi dan  $(d_s) = 2,53$  cm untuk pilar dengan bentuk bulat.  $Q_2 = 1087 \text{ cm}^3/\text{dtk}$ ,  $(d_s) = 3,0$  cm untuk pilar dengan bentuk jajaran genjang,  $(d_s) = 3,0$  cm untuk pilar dengan bentuk persegi dan  $(d_s) = 3,0$  cm untuk pilar dengan bentuk bulat. 3. Pilar yang paling baik digunakan untuk pilar jembatan adalah pilar dengan bentuk bulat. Jika dibandingkan dengan pilar

kedalaman aliran sepanjang aliran ( $h_2$ ) = 4,9 cm dan  $Q_2 = 1,087 \text{ l/dtk}$  atau  $1087 \text{ cm}^3/\text{dtk}$  dengan kedalaman aliran sepanjang aliran ( $h_2$ ) = 5,7 cm.

			dengan bentuk persegi dan jajaran genjang.
5	Fuad Halim	<p><b>PENGARUH DEBIT TERHADAP POLA GERUSAN DI SEKITAR ABUTMEN JEMBATAN(UJI LABORATORIUM DENGAN SKALA MODEL JEMBATAN MEGAWATD)</b></p> <p>Tujuan Penelitian Tujuan yang akan dicapai dalam penelitian ini yaitu: mengetahui pola gerusan dan kedalaman gerusan yang terjadi disekitar abutmen jembatan akibat pengaruh debit.</p> <p>2. Mengetahui pengaruh parameter aliran, terhadap proses gerusan, serta bentuk hubungan antara parameter-parameter yang berpengaruh tersebut dengan besar</p>	<p>I. Pola Gerusan Dari hasil kajian di eksperimen laboratorium menunjukkan banyak pola gerusan yang terjadi pada Abudmen berbagai kedalaman aliran relatif sama meskipun dengan lebar dan kedalaman gerusan yang berbeda.</p> <ul style="list-style-type: none"> <li>• Semakin besar debit yang melewati abutmen maka pola gerusan yang terbentuk senilai menggantikan jembatan gerusan semakin dalam dan jarak tersebut dengan besar atau panjang gerusan</li> </ul> <p>Kesamaan dalam penelitian ini ialah mengenai pola gerusan</p> <p>Rumus umum yang digunakan untuk mengukur debit adalah:</p> $Q = V \cdot A$ <p>dimana,</p> <p><math>Q</math> = debit (<math>\text{m}^3/\text{det}</math>)</p> <p><math>V</math> = kecepatan aliran rata-rata (<math>\text{m}/\text{det}</math>)</p> <p><math>A</math> = laas penampang melintang saluran (<math>\text{m}^2</math>)</p>

	<p>gerusan yang terjadi semakin jauh ke arah hilir. Sehingga nantinya debit aliran yang lewatlah budi menurun. Jadi ketika gerusan yang terjadi semakin jauh ke arah hilir maka pola gerusan yang terbentuk semakin meterai, semakin kedalamanya. Keadaan ini akan berlaku ketika jarak atau panjang gerusan kearah hilir semakin pendek.</p> <ul style="list-style-type: none"> <li>Dengan perlakuan variasi debit yang berbeda semakin besar debit maka waktu yang dibutuhkan untuk mencapai kondisi keseimbangan gerusan semakin lama.</li> </ul> <p>Kedalaman Gerusan</p> <p>Gerusan maksimum untuk variasi kedalaman aliran terjadi pada sisi depan Abutmen sebelah hulu.</p> <ul style="list-style-type: none"> <li>Pengendapan terjadi pada</li> </ul>
--	---

6	Nenny, 2016	<p>Model proteksi gerusan pada pilar dengan tirai bersisi cekung</p> <p>Besarnya debit banjir dan kecepatan aliran memperbesar degradasi dasar dan gerusan disekitar pilar jembatan</p>	<ul style="list-style-type: none"> <li>bagian belakang Abumen sebelah hilir Kedalaman gerusan Untuk <math>Q_1</math> model didapat -1,6 cm setara dengan 48 cm di lapangan Untuk <math>Q_2</math> pembanding didapat -1,8 cm setara dengan 54 cm di lapangan</li> <li>Untuk <math>Q_2</math> model didapat -1,2 cm setara dengan 30 cm di lapangan</li> <li>Untuk <math>Q_2</math> pembanding didapat -1,4 cm setara dengan 35 cm di lapangan</li> </ul>
		<p>Berdasarkan simulasi beberapa parameter yang berpengaruh untuk hubungan antara parameter maka diperoleh suatu koefisien model proteksi gerusan pada pilar dengan tirai bersisi cekung sebagai kebaharuan penelitian ini, yaitu nilai <math>K_n</math></p>	<p>Penggunaan variasi model tirai, pengukuran kecepatan aliran, pengukuran kedalaman gerusan (ds)</p> <p>Ds (kedalaman gerusan) t (waktu) V (kecepatan aliran) Jarak antar tirai (B)</p>

7	Cahyono Ikhsan dan Solichin	ANALISIS SUSUNAN TIRAI OPTIMAL SEBAGAI PROTEKSI PADA PILAR JEMBATAN DARI GERUSAN LOKAL	<p>Penelitian ini untuk mengetahui reduksi yang terjadi pada pilar jembatan yang berada di dekat proteksi susunan tirai tipe zig-zag 2 yaitu sebesar 31,5561 %.</p> <p>Sedangkan nilai reduksi yang paling besar pada pilar silinder dengan proteksi susunan tirai tipe zig-zag 2 sebesar 38,5323 %.</p> <p>Nilai reduksi yang paling besar pada pilar segiempat ujung bulat dengan proteksi jarak tirai 2d yaitu sebesar 28,1770 %. Sedangkan nilai reduksi yang paling besar pada pilar silinder dengan proteksi jarak tirai 2d sebesar 32,7189 %.</p>	<p>:0-1 dan untuk nilai indeks Angka Froude (Fr) 0,4-1,7</p> <p>Nilai reduksi yang paling besar terjadi pada pilar segiempat ujung bulat dengan proteksi susunan tirai tipe zig-zag 2 yaitu sebesar 31,5561 %.</p> <p>Sedangkan nilai reduksi yang paling besar pada pilar silinder dengan proteksi susunan tirai tipe zig-zag 2 sebesar 38,5323 %.</p> <p>Nilai reduksi yang paling besar pada pilar segiempat ujung bulat dengan proteksi jarak tirai 2d yaitu sebesar 28,1770 %. Sedangkan nilai reduksi yang paling besar pada pilar silinder dengan proteksi jarak tirai 2d sebesar 32,7189 %.</p>	<p>Jarak batas tirai (L) Q (debit)</p> <p>Gerusan lokal di sekitar pilar merupakan akibat langsung dari interaksi antar pilar, aliran sungai, dan material sedimen dasar sungai</p>
8	Nurquodus dan Asih Suprati Agustina	MEKANISME PERILAKU GERUSAN LOKAL PADA PILAR UNGGAU DENGAN VARIASI DIAMETER	<p>Tujuan dari penelitian ini adalah untuk mendapatkan gambaran proses perkembangan</p> <p>Kedalaman gerusan mengalami pertambahan dengan cepat pada menit-menit awal dan perubahan kedalaman</p>	<p>Penelitian ini membahas tentang gerusan pada pilar jembatan lokal</p> <p>Pola ariran dan kedalaman gerusan pada pilar jembatan</p>	

	gerusan terhadap waktu dan pola gerusan di sekitar pilar tunggal.	dengan variasi diameter
2	Posisi kedalaman gerusan maksimum pada samping pilar hal ini terjadi karena dominasi penyempitan aliran, senak in se opit aliran maka kecepatan semakin besar.	semakin mengecil hingga mendekati keseimbangan.
3	Kedalaman gerusan maksimum yang terjadi pada masing-masing pilar semakin meningkat seiring dengan peningkatan variasi diameter pilar, dalam penelitian ini terjadi dua macam gerusan, yaitu gerusan lokal disekitar model pilar yang terjadi karena pola aliran di sekitar model dan gerusan dilokalisir di alur singat yang terjadi karena penyempitan alur sungai sehingga aliran menjadi lebih terpusat.	Posisi kedalaman gerusan maksimum pada samping pilar hal ini terjadi karena dominasi penyempitan aliran, senak in se opit aliran maka kecepatan semakin besar.

9	Okky Martanto Wibowo	PENGARUH ARAH ALIRAN TERHADAP GERUSAN LOKAL DISEKITAR PILAR JEMBATAN	<p>Tujuan yang akan dicapai dalam penelitian ini :</p> <ol style="list-style-type: none"> <li>1. Mengetahui pengaruh arah aliran terhadap gerusan lokal disekitar pilar jembatan.</li> <li>2. Mengkaji karakteristik gerusan dan kedalaman gerusan yang terjadi disekitar pilar jembatan akibat pengaruh yang terbentuk terhadap arah aliran.</li> </ol> <p><b>Hasil yang didapat dari penelitian gerusan pada pilar <i>lenticular</i> dengan berbagai sudut pilar terhadap gerusan di sekitar pilar jembatan</b></p> <p>Perubahan kedalaman gerusan pada menit-menit awal terjadi secara cepat pada berbagai sudut pilar. Salah satu faktor yang mempengaruhi besar kecilnya gerusan di sekitar pilar <i>lenticular</i> adalah sudut pilar terhadap arah aliran. Gerusan terbesar pada pilar <i>lenticular</i> dengan berbagai variasi sudut pilar terhadap arah aliran terjadi pada bagian hulu pilar pada titik pengukuran 1. Feksalaman gerusan maksimum dan semua pilar <i>lenticular</i> terjadi pada pilar sudut 15°, sedangkan</p>	<p>Penelitian ini membahas arah aliran terhadap gerusan di sekitar pilar jembatan</p> <p><math>b = </math> lebar pilar jembatan (m)  <math>h_0 = </math> kedalaman aliran (m)  <math>K_f = </math> faktor koreksi (untuk pilar bulat <math>K_i = 1.0</math>)  <math>v_{max} = </math> kedalaman gerusan saat setimbang (m)</p>	$b = \frac{h_0}{K_f}$
---	-------------------------	--	--	--	-----------------------

10	Fakhri Abi, Dian Sisinggih, Suwanto Marsudi	<p><b>ANALISA POLA GERUSAN PADA HILIR BENDUNG PLTM BANTAENG-1 KABUPATEN BANTAENG PROVINSI SULAWESI SELATAN</b></p> <p>Tujuan dari studi ini adalah untuk melihat kinerja model numerik SSI dalam mengandalkan pola gerusan pada risir sungai sesuai kajian morfologi sungai.</p> 
		<p>kedalaman gerusan minimum dari semua pilar <i>lenticular</i> terjadi pada pilar sudut <math>0^\circ</math>. Kedalaman gerusan semakin bertambah seiring dengan bertambahnya sudut pilar terhadap arah aliran. Nilai kedalaman gerusan maksimum pada pilar <i>lenticular</i> dengan sudut <math>0^\circ</math>, <math>5^\circ</math>, <math>10^\circ</math> dan <math>15^\circ</math> secara berurutan adalah 9 mm, 12 mm, 14 mm dan 16 mm.</p> <p>Berdasarkan hasil analisa yang telah dilakukan untuk menentukan rumus masalah diperoleh beberapa hasil antara lain sebagai berikut:</p> <ul style="list-style-type: none"> <li>Volume gerusan pada pemodelan risik terhitung sebesar <math>810,47 \text{ m}^3</math> pada prototype.</li> </ul> <p>Penelitian ini membahas analisis pola gerusan</p> <p>Algoritma yang digunakan untuk dasar yang memiliki kemiringan adalah:</p> <p>Reduksi pada tegangan geser kritis.</p>

Pergeseran  
dasar saluran



Sedangkan pada pemodelan numerik terhitung gerusan sebesar  $655,71 \text{ m}^3$ . Kesalahan relatif dihitung dengan absolute error dengan hasil sebesar  $\% 6,76$ . Pola gerusan yang terjadi pada pemodelan fisik menggunakan debit terpilih ( $Q = 25 \text{ l/s}$ ) terlihat pada hilir bending pada elevasi +737,650. Gerusan terjadi memanjang setelah peredam energi, dan pada sebelah kanan memanjang ke arah hilir. Dengan debit yang sama, pada model numerik terjadi gerusan dengan elevasi +739,048. Gerusan pada model numerik terjadi pada lajur kanan setelah bangunan pelimpah kantong lumpur. Pada model numerik juga terjadi gerusan yang luas model pada hilir sungai.

## BAB III

### METODE PENELITIAN

#### A. Tempat dan Waktu Penelitian

Penelitian ini dilaksanakan di Laboratorium Sungai Fakultas Teknik Universitas Muhammadiyah Makassar, Jl. Sultan Alauddin No. 259 Kecamatan Rappoeni Kota Makassar.

#### B. Metode Pengumpulan Data

Pada penelitian ini akan menggunakan data primer yakni data yang didapatkan dari pemodelan fisik di Laboratorium Sungai Fakultas Teknik Universitas Muhammadiyah Makassar.

#### C. Alat dan Bahan

Pada umumnya, alat bahan, dan model penelitian yang digunakan dalam menunjang penelitian adalah sebagai berikut

##### 1. Alat

- a) Flowwatch untuk mengukur kecepatan air.
- b) Stopwatch untuk mengukur waktu yang digunakan dalam pengukuran debit aliran.
- c) Pilar beton

- d) Mistar
- e) Meteran
- f) Pompa
- g) Kamera digital digunakan untuk merekam (dalam bentuk foto) momen-momen yang penting dalam keseluruhan kegiatan penelitian khususnya tahap-tahap dalam proses penelitian.
- h) Tabel data untuk mencatat data-data yang di ukur, serta alat tulis.
- i) Komputer, printer dan scanner digunakan untuk membantu dalam menganalisa data.
- j) Ayakan pasir
- k) Sendok adukan
- l) Ember
- m) Cangkul
- n) Waterpas
- o) Selang air
- p) Benang
- q) Bak penampung air dan bak sirkulasi
- r) Pintu air (pengatur debit aliran)
- s) Tali

## 2. Bahan

- a) Pipa PVC 3" yang digunakan sebagai jaringan sirkulasi air.
- b) Air

- c) Pasir yang lolos saringan No.50, berdasarkan standar ASTM.
- d) Pasir
- e) Semen
- f) Papan
- g) kayu

#### D. Variabel yang digunakan

Sesuai tujuan penelitian ini pengujian model hidraulik dilaksanakan pada model saluran terbuka (flume), dengan kajian pada bagian hilir sungai yang mengacu pada rancangan yang telah disetujui untuk mendapatkan data sebagai bahan kajian.

Variabel yang digunakan adalah

1. Variabel bebas
  - a) Tinggi muka air ( $h$ )
  - b) Kecepatan aliran ( $v$ )
  - c) Waktu ( $t$ )
  - d) Lebar penampang ( $b$ )
  - e) Kemiringan dasar saluran ( $I$ )
2. Variabel terikat
  - a) Debit ( $Q$ )
  - b) Froude ( $Fr$ )
  - c) Reynold ( $Re$ )

- d) Tegangan geser ( $\tau_0$ )
- e) Tegangan geser kritis ( $\tau_c$ )
- f) Kec. Geser kritis ( $U^*$ )

#### E. Persiapan Peralatan

Pada simulasi ini menggunakan data primer, dengan menggunakan nilai debit dan waktu sesuai dengan model fisik.

##### 1. Model saluran

Saluran yang digunakan adalah saluran tanah yang dihamparkan material pasir dengan penampang bentuk trapezium. Bentuk geometris dari saluran adalah saluran lurus dengan dinding permanen, lebar dasar saluran 0,50 m, tinggi saluran 0,50 m dan panjang saluran percobaan 6 m.



Gambar 19. Model saluran terbuka dengan penampang trapezium

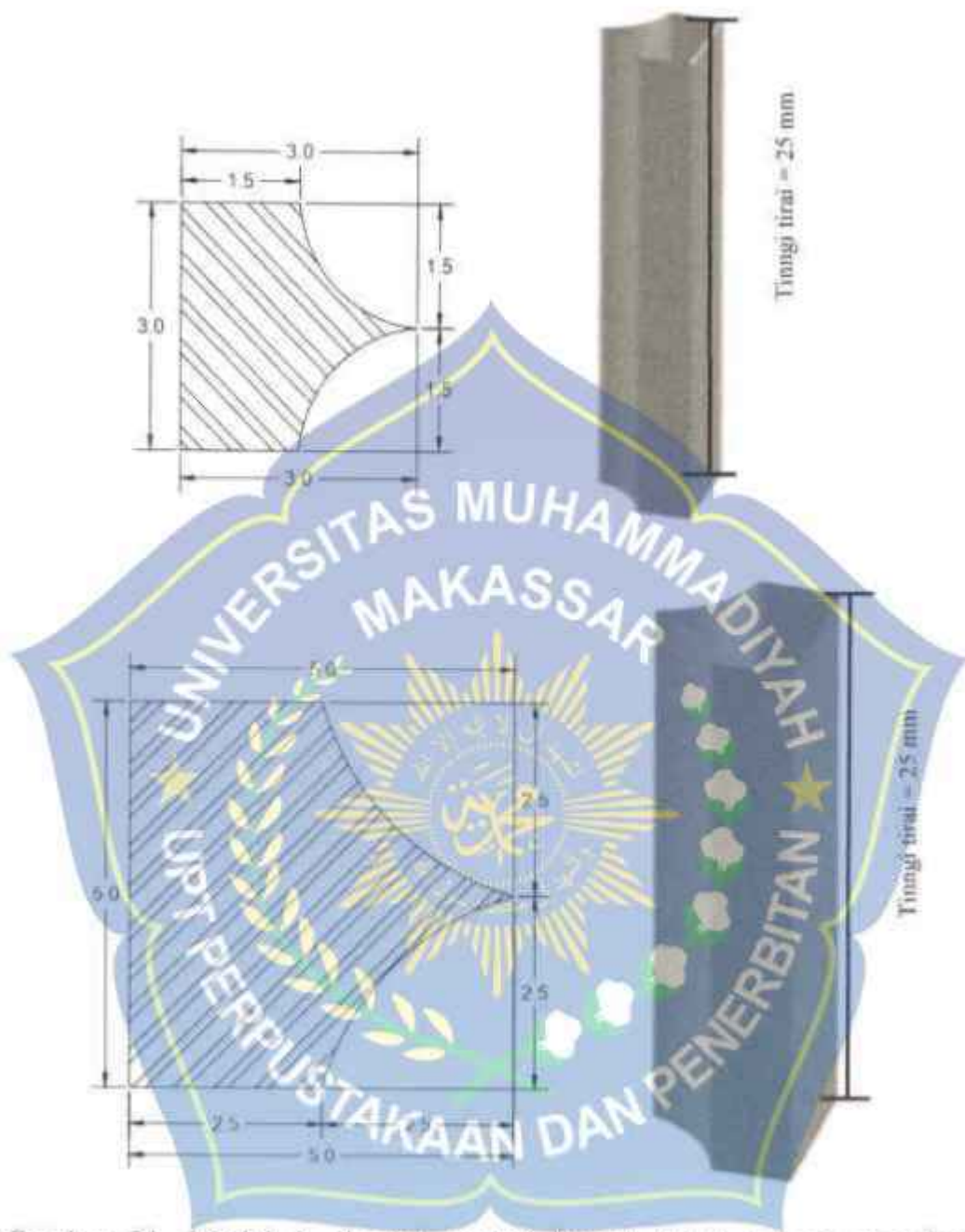
## 2. Model Pilar

Model pilar yang digunakan pada penelitian ini terbuat dari beton yang dibentuk sesuai model. Penelitian ini menggunakan pilar model silinder dengan ketinggian cm dan dengan diameter pilar 10 cm. Model pilar diletakkan di tengah model saluran pada jarak 4 m dari hulu



## 3. Model Tirai

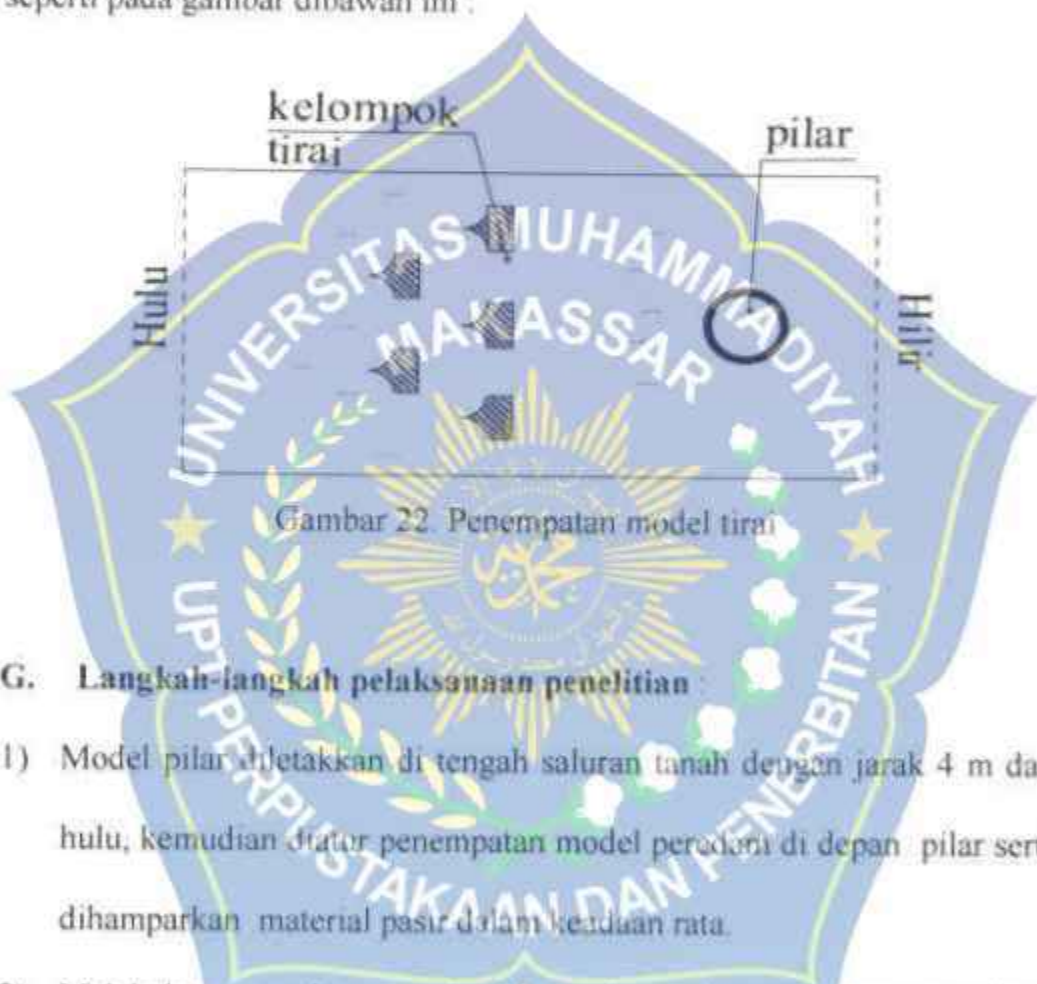
Model tirai yang digunakan pada penelitian ini terbuat dari beton yang dibentuk sesuai model. Penelitian ini menggunakan tirai bentuk persegi dengan sisi depan melengkung (*rectangle with wedge shape curve*) dengan ketinggian 25 cm dan dengan lebar pilar 5 cm dan 3 cm. Model tirai ini diletakkan di depan model pilar jembatan.



Gambar 21. Model 3 dimensi variasi bentuk Tirai persegi sisi depan melengkung

## F. Pelaksanaan Penelitian

Pada pelaksanaan penelitian direncanakan dengan menggunakan model pilar silinder dan peredam gerusan dengan model tirai bentuk persegi sisi depan melengkung (*rectangular with wedge shape curve*) dengan formasi, seperti pada gambar dibawah ini :



## G. Langkah-langkah pelaksanaan penelitian :

- 1) Model pilar diletakkan di tengah saluran tanah dengan jarak 4 m dari hulu, kemudian titik penempatan model peredam di depan pilar serta dihamparkan material pasir dalam keadaan rata.
- 2) Melakukan penyebaran pasir dalam saluran dengan sistem pemadatan setinggi 10 cm pada saluran.
- 3) Air dialirkkan dari debit kecil sampai debit yang ditentukan sehingga mencapai konstan.

- 4) Pengamatan yang dilakukan : kecepatan aliran (v), tinggi muka air (h) dilakukan setiap percobaan.
- 5) Pengamatan kedalaman gerusan , dilakukan melalui pengamatan setiap percobaan dengan mencatat kedalaman dan dari awal running setiap selang waktu tertentu dengan waktu ( $t_1 = 10$  menit,  $t_2 = 20$  menit dan  $t_3=30$  menit).
- 6) Mematikan pompa agar aliran di saluran berhenti.
- 7) Pengambilan data kontur gerusan di sekitar zona pilar diukur setelah *running* selesai, dengan cara memperkecil debit saluran secara perlahan agar gerusan di sekitar pilar tidak terganggu oleh adanya perubahan debit. Hal ini dilakukan agar diperoleh data kontur yang mewakili gerusan tersebut. Data kontur diukur dengan menggunakan alat *point gauge*. Daerah gerusan yang diukur elevasinya dibagi atas beberapa bagian yaitu arah sejajar aliran dan arah melintang aliran.
- 8) Pengambilan posisi jangkau gerusan disekitar zona pilar diukur setelah running selesai.
- 9) Setelah dilakukan pengukuran tiga dimensi, pasir diratakan kembali untuk selanjutnya dilakukan *running* dengan debit dan model tirai yang lain.

## H. Analisis Data

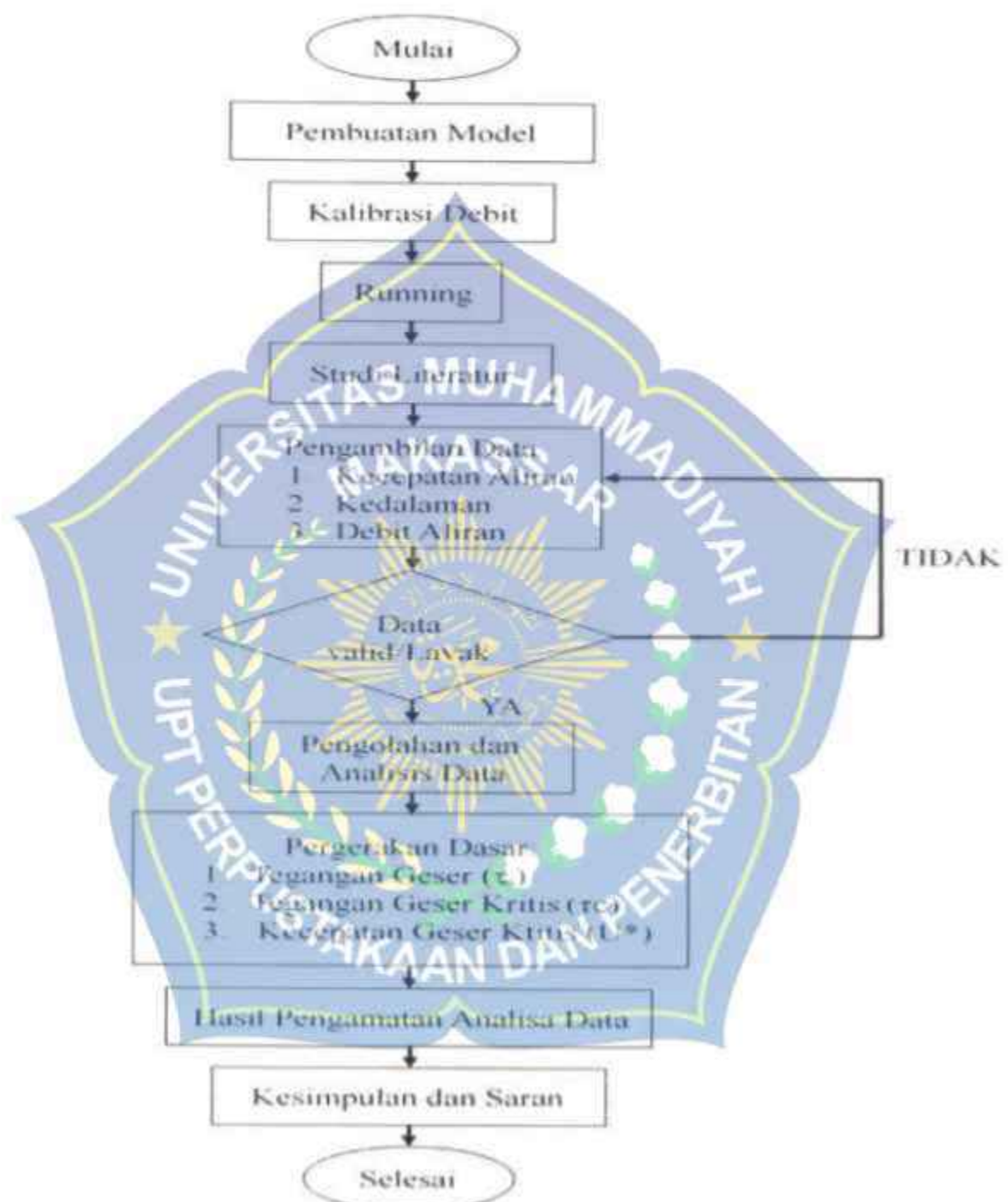
Pada penelitian ini sifat aliran yang digunakan adalah sub kritis ( $Fr < 1$ ), kritis ( $Fr = 1$ ), dan super kritis ( $Fr > 1$ ). Data hasil pengamatan di plot menjadi grafik hubungan antara bilangan Froude ( $Fr$ ) dengan kecepatan sebelum dan setelah penempatan model tirai.

Kedalaman aliran ( $y_0$ ) diukur pada titik tertentu yang belum terganggu akibat adanya pilar. Pemcatatan kedalaman aliran dilakukan beberapa kali pada saat yang bersamaan untuk mendapatkan data rata-rata kedalaman aliran yang optimal. Begitupula setelah ada bangunan pilar, penempatan model tirai dengan variasi jarak.

Kedalaman gerusan ( $y_s$ ) diukur pada daerah gerusan yang paling maksimal yaitu disekitar ujung pilar setelah bangunan tirai. Kecepatan aliran rata-rata ( $U$ ) adalah perbandingan data debit yang telah dikalibrasi dengan luas penampang basah ( $A$ ). Kecepatan aliran kritis ( $U_c$ ) diambil pada saat material dasar mulai bergerak.

Data kontur hasil pengukuran kemudian diolah untuk mendapatkan tampilan kontur permukaan di sekeliling pilar dengan program Surver.

Flow Chart Penelitian



Gambar 23. Flow chart penulis

## BAB IV

### HASIL DAN PEMBAHASAN

#### A. Hasil penelitian

Seperti yang telah dijelaskan pada bab sebelumnya bahwa tujuan dari penelitian ini adalah mengetahui pengaruh kecepatan aliran terhadap pola gerusan yang terjadi di sekitar tirai sayap beton pada pilar jembatan dan menganalisa potensi gerusan lokal di sekitar pilar jembatan dengan menggunakan model tirai sayap beton pada hilir saluran.

#### B. Pola aliran

##### a. Hubungan Kecepatan Aliran Dengan bilangan Froude

Bilangan Froude adalah perbandingan gaya incersia dengan berat suatu aliran. Dengan demikian, bilangan Froude merupakan fungsi dari semua peristiwa pola aliran yang berada dalam saluran. Hal ini bahwa bilangan Froude sangat penting dalam menentukan kondisi aliran pada saat aliran kritis, subkritis, maupun super kritis.

Untuk mengetahui dan menetapkan jenis aliran yang terjadi dalam proses pengaliran dalam saluran dapat dijabarkan berdasarkan dengan bilangan Froude ( $Fr$ ), sebagai berikut :

Hasil perhitungan bilangan Froude pada berbagai debit dan waktu yang digunakan dalam penelitian dapat dilihat pada tabel berikut :

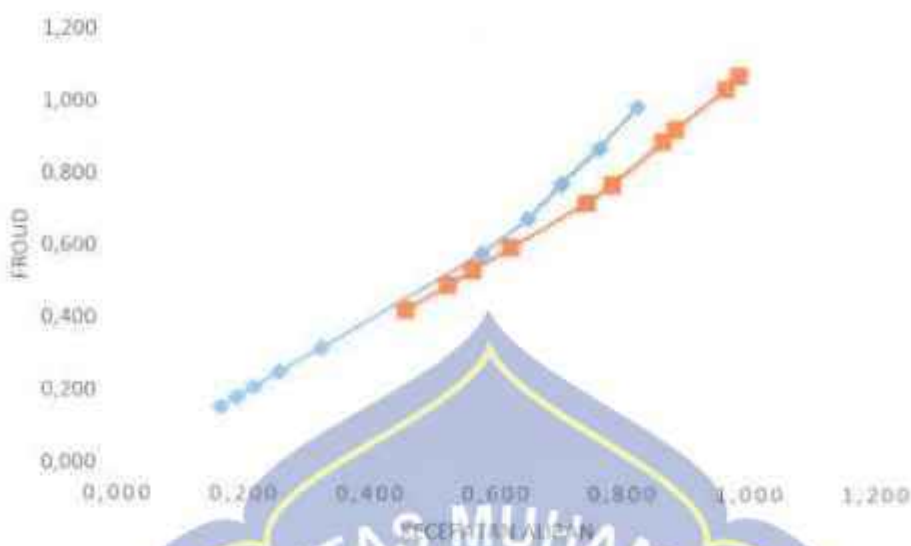
Tabel 5. Sebelum pemasangan tirai

No Patok	Kec. Aliran	Tinggi Muka Air		Froude (Fr)	Ket
		V	h		
1	0,980	0,085		1,075	Kritis
2	0,960	0,087		1,040	Kritis
3	0,880	0,092		0,927	Kritis
4	0,860	0,095		0,893	Sub Kritis
5	0,780	0,104		0,772	Sub Kritis
6	0,740	0,107		0,722	Sub Kritis
7	0,620	0,110		0,597	Sub Kritis
8	0,560	0,112		0,515	Sub Kritis
9	0,520	0,113		0,494	Sub Kritis
10	0,453	0,116		0,425	Sub Kritis

Tabel 6. Setelah pemasangan tirai

No Patok	Kec. Aliran	Tinggi Muka Air		Froude (Fr)	Ket
		V	h		
1	0,820		0,070	0,994	Kritis
2	0,760		0,077	0,875	Kritis
3	0,700		0,083	0,776	Kritis
4	0,647		0,093	0,678	Sub Kritis
5	0,573		0,099	0,581	Sub Kritis
6	0,320		0,103	0,319	Sub Kritis
7	0,253		0,104	0,251	Sub Kritis
8	0,213		0,105	0,210	Sub Kritis
9	0,187		0,106	0,183	Sub Kritis
10	0,160		0,107	0,156	Sub Kritis

Sumber: Hasil perhitungan



Gambar 24. Hubungan antara kecepatan dan bilangan Froude pada saluran dengan bangunan sebelum pemasangan tirai sayap beton dan bangunan setelah pemasangan tirai sayap beton

#### b. Perhitungan Bilangan Reynold

Keadaan atau perilaku aliran pada saluran terbuka pada dasarnya ditentukan oleh pengaruh kekentalan dan gravitasi. Pengaruh kekentalan (viscosity) aliran dapat bersifat laminar, turbulen dan peraliran yang tergantung pada pengaruh kekentalan relatif dapat dinyatakan dengan bilangan Reynold yang definisikan sebagai berikut:

Tabel 7. Viskositas kinematis sebagai hubungan fungsi suhu

T	0	5	10	15	20	25	30	35	40	(°)
(M	1,75	1,52	1,31	1,14	1,01	0,9	0,8	0,72	0,65	$10^{-6} \text{m}^2/\text{det}$

Sumber : (Mardjikoen, 1987)

Tabel : 8. Sebelum pemasangan tirai

No Patok	Kec. Aliran	Jari-Jari hidrolis	Reynold (Re)	Ket
	V	R		
1	0,980	0,063	73947,1	Turbulen
2	0,960	0,065	73834,2	Turbulen
3	0,880	0,067	70529,0	Turbulen
4	0,860	0,069	70377,3	Turbulen
5	0,780	0,074	68374,5	Turbulen
6	0,740	0,075	66206,0	Turbulen
7	0,620	0,076	56429,2	Turbulen
8	0,560	0,077	51567,2	Turbulen
9	0,520	0,078	48297,2	Turbulen
10	0,453	0,079	42885,0	Turbulen

Tabel : 9. Setelah pemasangan tirai

No Patok	Kec. Aliran	Jari-Jari hidrolis	Reynold (Re)	Ket
No Patok	V	R		
1	0,830	0,055	53235,9	Turbulen
2	0,760	0,059	53222,8	Turbulen
3	0,700	0,062	52007,8	Turbulen
4	0,647	0,068	52212,0	Turbulen
5	0,573	0,071	48552,5	Turbulen
6	0,320	0,073	27758,0	Turbulen
7	0,253	0,073	22416,6	Turbulen
8	0,214	0,074	18825,6	Turbulen
9	0,187	0,075	16598,5	Turbulen
10	0,160	0,075	14321,1	Turbulen

Sumber : hasil perhitungan



Gambar 25. Hubungan Antara Bilangan Reynold dengan kecepatan pada bangunan tanpa menggunakan tirai sayap beton dan bangunan setelah menggunakan tirai sayap beton

### c. Kedalaman Aliran

Kedalaman aliran diukur pada saat pengaliran air, untuk penelitian ini digunakan tiga variasi kedalaman air sesuai dengan tiga variasi debit yang diberikan. Untuk memperoleh nilai kedalaman air yang terjadi, dilakukan pengukuran pada penampang saluran sebelum belokan atau pada penampang saluran yang stabil. Untuk penelitian ini telah diperoleh kedalaman aliran yang merupakan rata-rata ketinggian air untuk setiap simulasi yang dilakukan.

### d. Kecepatan Aliran

Kecepatan aliran ( $U_s$ ) diukur dengan menggunakan *flow watch*. *Flow watch* memberikan data kecepatan secara otomatis terhadap aliran pada saluran untuk titik pengamatan yang ditentukan.

Titik-titik pengamatan kecepatan aliran adalah pada hilir sebelum pilar, dan hilir setelah pilar, dimana untuk setiap titik pengamatan dilakukan pengukuran untuk bagian kiri, tengah dan kanan saluran, sedangkan untuk simulasi dengan pemasangan tirai pengukuran kecepatan aliran juga dilakukan pada ujung dan belakang tirai. Contoh data hasil pengamatan kecepatan aliran saluran sebagaimana disajikan pada tabel 1 berikut ini.

Tabel 10. Kecepatan aliran

Titik Pengamatan	Model Percobaan	Kecepatan (m/det)		
		Waktu (t) / det		
		600	1200	1800
1	pilar	0.90	1.00	1.10
2		0.90	1.00	1.10
3		0.80	0.90	1.00
4		0.80	0.90	1.00
5		0.70	0.80	0.90
6		0.70	0.80	0.90
7		0.60	0.70	0.80
8		0.50	0.60	0.70
9		0.50	0.60	0.70
10		0.50	0.50	0.60
1	Pilar dengan tirai	0.90	0.90	0.90
2		0.80	0.80	0.90
3		0.70	0.70	0.80
4		0.70	0.70	0.80
5		0.60	0.60	0.70
6		0.40	0.40	0.60
7		0.30	0.30	0.40
8		0.20	0.20	0.30
9		0.20	0.30	0.30
10		0.20	0.20	0.20

Sumber: Hasil Pengujian

#### e. Debit Aliran

Perhitungan debit aliran diperoleh dengan menggunakan persamaan (1) dengan data parameter-parameter hasil pengamatan, hasilnya terlihat pada tabel 2 di bawah ini:

Tabel 11. Debit aliran

Uraian	Kecepatan (m/dtk)	TMA (m)	Lebar Saluran (m)	Luas Penampang Basah (m <sup>2</sup> )	Keliling Basah (m)	Jari <sup>2</sup> Hidrolis (m)	Debit
	U <sub>d</sub>	h	B	A	P	R	(U <sub>d</sub> * A)
Q	0.820	0,070	0,5	0,035	0,640	0,055	0,02865

Sumber: Hasil Perhitungan

## f. Klasifikasi Aliran

Aliran air pada saluran Reynold dan angka Froude, hasil perhitungan bilangan Reynold dan angka Froude dapat dilihat pada tabel 8 dan 9 berikut:

Tabel 12. Hasil perhitungan bilangan Reynold dan Angka Froude tanpa Titik

No	waktu (m <sup>3</sup> /det)	Q (m <sup>3</sup> /det)	kec. Aliran (m)	Tinggi muka air (m)	Lebar kem.Sat (m)	Penampang (A) (m <sup>2</sup> )	Luas Kelingking basat(P) (m)	Jari-jari hidro (R) (m)	Reynold (Re)	Froude (Fr)	Keterangan
1	600	0,880	0,087	0,50	0,022	0,044	0,675	0,065	63181,5	0,950	Transisi
2	1200	0,04153	0,980	0,086	0,50	0,022	0,043	0,672	0,064	74889,4	1,068
3	1800	1,080	0,081	0,50	0,022	0,041	0,662	0,061	79027,5	1,212	Transisi
											Sub Kritis

Tabel 13. Hasil Perhitungan Reynolds dan Angka Froude Dengan Menggunakan Tabel

No	waktu	Q (m <sup>3</sup> /det)	kec. Aliran (m)	Tinggi muka air (m)	Lebar kem.Sat (m)	Penampang (A) (m <sup>2</sup> )	Luas Kelingking basat(P) (m)	Jari- jari hidro (R) (m)	Reynold (Re)	Froude (Fr)	Keterangan
1	600	0,800	0,073	0,50	0,022	0,037	0,646	0,057	53930,1	0,947	Turbulen
2	1200	0,02865	0,800	0,068	0,50	0,022	0,034	0,637	0,054	51361,0	0,977
3	1800	0,860	0,068	0,50	0,022	0,034	0,637	0,054	55213,1	1,050	Turbulen
											Kritis

Sumber : Hasil Perhitungan

Dari hasil perhitungan pada tabel 4 diatas aliran pada saluran penelitian ini diklasifikasi sebagai aliran transisi dengan nilai Reynold yaitu  $Re > 12,500$  dan sub kritis dengan nilai  $Fr < 1.0$

#### **g. Kecepatan geser dan tegangan geser**

Nilai tegangan geser kritis ( $\tau_c$ ) dapat diketahui. Bila tegangan geser dasar aliran berada diatas nilai kritiknya maka butiran sedimen bergerak.

##### **1. Pengaruh Tegangan Geser Dasar ( $\tau_0$ ) Terhadap Kedalaman Aliran (h)**

Perhitungan tegangan geser dasar ( $\tau_0$ )

Data hasil pengukuran yang digunakan adalah sebagai berikut:

Diameter D m	Kedalaman (h) m	kemiringan (i) m	Bj Sedimen $\rho_s$ kg/m <sup>3</sup>	Bj Air $\rho_w$ kg/m <sup>3</sup>	$\tau_0$ ( $\rho_w \cdot g \cdot h$ ) kg/m <sup>2</sup>
0,0024	0,0599	0,0022	2576	1000	1,5079
0,0024	0,0769	0,0022	2576	1000	1,6589
0,0024	0,0830	0,0022	2576	1000	1,7913
0,0024	0,0929	0,0022	2576	1000	2,0042
0,0024	0,0992	0,0022	2576	1000	2,1409
0,0024	0,1026	0,0022	2576	1000	2,2143
0,0024	0,1035	0,0022	2576	1000	2,2345
0,0024	0,1052	0,0022	2576	1000	2,2704
0,0024	0,1063	0,0022	2576	1000	2,2934
0,0024	0,1073	0,0022	2576	1000	2,3150

Tabel 14. Pengaruh Tegangan Geser Dasar ( $\tau_0$ ) Terhadap Kedalaman Aliran (h)

##### **2. Hubungan Tegangan Geser Dasar ( $\tau_0$ ) Terhadap Tegangan Geser Kritis ( $\tau_c$ )**

Untuk perhitungan selanjutnya dengan berbagai debit dapat dilihat pada tabel berikut :

Tabel 15. Hubungan Tegangan Geser Dasar ( $\tau_0$ ) Terhadap Tegangan Geser Kritis ( $\tau_c$ )

Letak titik	Debit q m <sup>3</sup> /detik	kec. Rata2	Diameter U m	kedalaman D m	Ketebalan (h) m	$\frac{B_j}{\rho_s g h}$ kg/m <sup>2</sup>	Sedimen Bl Air.	$T_0$	Re $(\rho_w g h)^{0.5}$ kg/m <sup>2</sup>	Ter u <sub>s</sub> m/det	u <sub>c</sub> m/det	Ket
Titik 1	0,0287	0,8200	0,0024	0,0099	0,0022	2576	1000	13079	114,55	1,2770	0,0388	0,0357 Diam
Titik 2	0,0292	0,7600	0,0024	0,0769	0,0022	2576	1000	10099	1,6584	120,15	1,2406	0,0407 0,0362
Titik 3	0,0291	0,7000	0,0024	0,0850	0,0022	2576	1000	17913	124,86	1,2041	0,0423 0,0362	Mulai Bergerak
Titik 4	0,0300	0,6467	0,0024	0,0729	0,0022	2576	1000	20042	132,07	1,0946	0,0448 0,0357	Mulai Bergerak
Titik 5	0,0284	0,5733	0,0024	0,0722	0,0022	2576	1000	21409	136,50	0,9778	0,0463 0,0320	Bergerak
Titik 6	0,0164	0,3200	0,0024	0,1026	0,0022	2576	1000	22143	138,82	0,9924	0,0471 0,0320	Bergerak
Titik 7	0,0131	0,2533	0,0024	0,1035	0,0022	2576	1000	22345	139,45	0,9122	0,0473 0,0308	Bergerak
Titik 8	0,0112	0,2133	0,0024	0,1052	0,0022	2576	1000	22704	140,56	0,8757	0,0476 0,0302	Bergerak
Titik 9	0,0099	0,1867	0,0024	0,1063	0,0022	2576	1000	22934	141,28	0,8027	0,0479 0,0296	Bergerak
Titik 10	0,0086	0,1600	0,0024	0,1073	0,0022	2576	1000	23150	141,94	0,7297	0,0481 0,0283	Bergerak

Sumber : hasil perhitungan

3. Hubungan Antara Kecepatan Geser ( $T_0$ ) Dan Kedalaman Aliran (h)

Untuk perhitungan selanjutnya dengan berbagai debit dapat dilihat pada tabel berikut

Tabel 16. Hubungan Antara Kecepatan Geser ( $U^*$ ) Dan Kedalaman

No	Letak Titik	q	To	Grafik Shield	Tcr	U	$U^*$
			( $\rho_w g h S$ )		( $\rho_s - \rho_w$ )g.d		( $g.h.S)^{0.5}$
			$m^3/det$		$kg/m^2$		$m/det$
1	Titik 1	0,0287	1,508	0,035	1,277	0,820	0,0388
2	Titik 2	0,0292	1,659	0,034	1,241	0,760	0,0407
3	Titik 3	0,0291	1,791	0,033	1,204	0,700	0,0423
4	Titik 4	0,0300	2,004	0,030	1,095	0,647	0,0448
5	Titik 5	0,0284	2,141	0,027	0,978	0,573	0,0463
6	Titik 6	0,0164	2,214	0,027	0,992	0,320	0,0471
7	Titik 7	0,0131	2,234	0,025	0,912	0,253	0,0473
8	Titik 8	0,0112	2,270	0,024	0,876	0,213	0,0476
9	Titik 9	0,0099	2,293	0,022	0,803	0,187	0,0479
10	Titik 10	0,0086	2,315	0,020	0,730	0,160	0,0481

Sumber : hasil perhitungan

#### h. Pola Gerusan

Berdasarkan gambar 28-29 dapat dilihat perbedaan pola dan kedalaman yang terjadi antara pilar tanpa menggunakan tirai sayap beton dengan pilar yang menggunakan tirai sayap beton.

Pada pilar tanpa menggunakan tirai sayap beton terbentuk *horseshoe vortex*, ini diakibatkan oleh tekanan air yang cukup kuat sehingga terjadi gerusan yang membentuk lubang kearah sisi-sisi pilar dengan kedalaman yang berbeda. Formasi pusaran air ini merupakan hasil dari penumpukan air pada hulu dan akselerasi aliran di sekitar bagian depan pilar. Pada bidang vertikal simetris, aliran di bagian hulu pilar menurun dari permukaan mencapai nol di dasar.

Sedangkan pada pilar yang menggunakan tirai sayap beton kedalaman gerusan lebih kecil dibandingkan pilar tanpa menggunakan tirai sayap beton, karena pada saat terjadi percepatan aliran di hulu pilar, tirai sayap beton berfungsi untuk memperkecil percepatan aliran dan mengurangi terjadinya gerusan di hulu pilar.



Gambar 26. Pola gerusan di sekitar pilar tanpa tirai sayap beton.

Gambar 27. Pola gerusan di sekitar pilar yang menggunakan tirai sayap beton.

#### i. Volume Gerusan

Gerusan dan endapan merupakan peristiwa yang terjadi pada proses pengangkutan sedimen untuk setiap pengaliran, gerusan terjadi bila mana kapasitas pengangkutan yang masuk ke suatu area pengamatan lebih kecil dari pada kapasitas yang meninggalkan area tersebut, sedangkan endapan bilamana kapasitas pengangkutan yang masuk area pengamatan lebih besar dari pada yang meninggalkan area tersebut, dan bila mana kapasitas

pengangkutan yang masuk dan meninggalkan area pengamatan di saluran sama maka terjadi ketimbangan

Volume gerusan dan endapan dihitung berdasarkan perubahan luas penampang saluran dari bentuk sebelum dilakukan pengaliran sepanjang area pengamatan. Sesuai dengan tema penelitian ini yang difokuskan pada gerusan yang terjadi pada pilar sebelum dan sesudah pemasangan tirai.

Tabel 17. Tabel volume gerusan

No	TMA (m)	KECEPATAN ALIRAN (m)	DEBIT (Q)	VOLUME GERUSAN (cm <sup>3</sup> )
1	0.072	0.6		0.6720
2	0.058	0.8		0.5456
3	0.068	0.86		0.2240
4	0.088	0.74		0.2380
5	0.071	0.74		0.1540
6	0.071	0.8		0.6440
7	0.092	0.68		0.2340
8	0.078	0.68		0.3630
9	0.079	0.74		0.9240
10	0.090	0.64		1.0530
11	0.089	0.62		1.4700
12	0.069	0.68		0.9750
13	0.109	0.56	0.00875	0.8400
14	0.095	0.56		0.4950
15	0.093	0.6		1.8240
16	0.112	0.32		0.5850
17	0.098	0.25		1.6800
18	0.097	0.36		0.3900
19	0.111	0.24		0.2080
20	0.099	0.24		0.2210
21	0.100	0.28		0.9750
22	0.111	0.2		0.4680
23	0.102	0.22		2.1060
24	0.102	0.22		1.4000
25	0.111	0.18		1.6560

#### j. Pengaruh pemasangan tirai terhadap gerusan di pilar

Pemasangan tirai dibagian hulu pilar di maksudkan sebagai peredam kecepatan aliran dan mengarahkan atau membelokkan arah aliran. Sebagai efek nyata dari pemasangan tirai yang di amati di laboratorium, adalah pengurangan kecepatan yang terjadi di belakang tirai. Dengan kondisi semacam ini diharapkan bahwa volume gerusan yang terjadi juga mengalami pengurangan.

Tirai yang dipasang tegak lurus terhadap arah aliran, divariasikan dalam 3 variasi waktu. Waktu untuk setiap kondisi pengairan adalah 10,20 dan 30 menit. Kondisi pengurangan gerusan yang terjadi pada saluran setelah pemasangan tirai untuk 3 variasi waktu yang berbeda di sajikan sebagai berikut.

Pengaruh pemasangan tirai pada hulu pilar sangat besar pengaruhnya terhadap karakteristik gerusan dan mereduksi gerusan yang terjadi di sekitar pilar.

Pada permukaan air interaksi aliran yang bergerak kearah pilar, aliran air di sekitar struktur akan berubah dan gradient kecepatan vertikal (*vertical gradient*) dari aliran akan akan berubah menjadi gradien tekanan (*pressure gradient*) pada ujung permukaan struktur tersebut. Gradient tekanan (*pressure gradient*) ini merupakan hasil dari aliran bawah yang membentuk *bed*. Pada dasar struktur aliran bawah ini membentuk pusaran yang pada akhirnya

menyapu sekeliling dan bagian bawah struktur dengan memenuhi saluran aliran.





Gambar 28. Topografi gerusan di sekitar pilar tanpa menggunakan tirai dengan waktu pengaliran 30 menit.

Terjadinya perbedaan pola gerusan di sekitar pilar jembatan yang menggunakan tirai dengan pilar tanpa tirai. Gerusan di sekitar pilar yang tanpa tirai dimulai dari depan (hulu) pilar dengan kedalaman gerusan -0,9 cm menuju sisi kanan -1,4 cm, sisi kiri pilar 0,8 cm dan belakang (hilir) pilar.

Sedangkan pada pilar yang menggunakan tira, kecepatan aliran yang bergerak kearah tirai akan terhalangi sehingga aliran akan terdistribusi samping tirai dan aliran akan berputar di antara tirai ini diakibatkan oleh bentuk lengkungan di sisi depan tirai gerusan yang terjadi di sekitar pilar dimulai dari depan pilar menuju ke sisi kanan dan sis. kiri pilar, sehingga kecepatan aliran yang menuju pilar akan semakin berkurang yang mengakibatkan gerusan akan semakin dangkal di belakang (hilir) pilar. Pada sisi kanan dan sisi kiri pilar kedalaman gerusan melebar karena terjadi gerusan lokal (*local scouring*) yang diakibatkan oleh pemesangan tirai yang menyebabkan aliran menjadi tidak terpusat.

Struktur tirai berfungsi mengurangi gradient tekanan (*pressure gradient*) sehingga aliran yang menyentuh *bed* di depan (hulu) pilar

berkurang. Selain dipengaruhi oleh gradient tekanan juga disebabkan oleh tarikan dari arus utama (*main flow*).

Dari hasil pengamatan pola gerusan dapat dilihat pada gambar 31 dimana pola gerusan terjadi di sekitar tirai sayap beton apabila arah panah searah jarum maka itu disebut gerusan begitupun sebaliknya jika arah panah berlawanan dengan arah jarung jam itu disebut endapan sedimen.





Gambar 29. Topografi gerusan di sekitar pilar menggunakan tirai dengan waktu pengaliran 30 menit.

**k. Perhitungan Kedalaman Gerusan ( $ds$ ) dengan Pendekatan Empiris**

Data kedalaman gerusan hasil pengujian selanjutnya akan dievaluasi terhadap persamaan empiris yang digunakan oleh The Colorado State University (CSU), Froehlich dengan membandingkan hasil uji model laboratorium. Adapun besarnya gerusan yang dihasilkan pada rekapitulasi hasil perhitungan kedalaman gerusan ( $ds$ ) dapat dilihat pada Tabel 18 berikut ini.

Tabel 18. Rekapitulasi Perhitungan Kedalaman Gerusan Hasil Uji Model Laboratorium

NO	Q1	Hasil uji laboratorium		The Colorado State University (CSU)		Froehlich	
		ds	ds/dz	ds	ds/dz	ds	ds/dz
1	0,00875	0,04	0,620	0,063	2,208	0,041	1,581
2		0,02	0,500	0,061	2,194	0,040	1,570
3		0,01	0,730	0,061	2,150	0,040	1,537
4		0,01	0,560	0,064	2,199	0,043	1,384
5		0,01	0,750	0,059	2,177	0,039	1,369
6		0,02	0,660	0,059	2,141	0,039	1,346
7		0,01	0,640	0,061	2,147	0,038	1,236
8		0,03	0,540	0,058	2,104	0,035	1,210
9		0,04	0,730	0,058	2,073	0,036	1,191
10		0,03	0,580	0,059	2,133	0,037	1,067
11		0,05	0,670	0,057	2,087	0,036	1,043
12		0,03	0,580	0,057	2,068	0,036	1,033
13		0,05	0,520	0,057	2,039	0,033	0,910
14		0,03	0,680	0,055	2,038	0,031	0,909
15		0,06	0,730	0,054	2,031	0,031	0,906
16		0,03	0,550	0,045	1,997	0,030	0,458
17		0,07	0,850	0,043	2,000	0,029	0,458
18		0,02	0,680	0,043	1,998	0,029	0,458
19		0,01	0,740	0,040	1,853	0,024	0,350
20		0,01	0,620	0,039	1,860	0,023	0,351
21		0,05	0,590	0,039	1,861	0,023	0,351
22		0,04	0,650	0,037	1,776	0,021	0,285
23		0,09	0,670	0,036	1,785	0,021	0,287
24		0,04	0,710	0,036	1,786	0,021	0,287
25		0,06	0,710	0,037	1,786	0,021	0,287

### C. Pembahasan

Berdasarkan hasil-hasil yang diperoleh dari penelitian ini yang dilakukan pada hilir saluran dengan berbagai kondisi simulasi, maka berikut

ini disajikan gambaran mengenai keterhubungan antara kecepatan terhadap gerusan yang terjadi.

a. Hubungan antara debit aliran, pemasangan tirai dan kecepatan aliran

Pada penelitian ini dilakukan tiga variasi debit untuk memperoleh tiga variasi kecepatan. Kecepatan aliran yang terjadi pada saluran mengalami perubahan sepanjang area penelitian, pada bagian lurus hilir saluran kecepatan aliran relatif sama antara bagian kiri, tengah dan kanan saluran. Kecepatan aliran pada awal saluran, terikat aliran besar dan memasuki sisi tirai sampai melewati tirai, kecepatan mengalami penurunan disekitar lokasi pengamatan atau di belakang tirai. Ilustrasi konsentrasi kecepatan aliran sebagaimana disajikan pada gambar berikut ini:

Gambar 30. Kecepatan abran maksimum pada lokasi penelitian



b. Perbandingan antara sebelum dan sesudah pemasangan tirai dengan variasi debit, tinggi aliran (h) dengan kecepatan aliran ( $v$ )

Berdasarkan hasil pengamatan yang terjadi, perubahan dasar saluran diakibatkan adanya pengaruh kecepatan aliran dengan menggunakan tirai,

sehingga menunjukkan perbandingan sebelum dan sesudah pemasangan tirai, dapat mengurangi terjadinya gerusan pada hilir saluran dengan variasi debit, tinggi aliran, kecepatan aliran serta pemasangan tirai dapat di lihat pada tabel berikut.

Tabel 19. Perbandingan tinggi aliran (h) dan kecepatan (v) sebelum dan sesudah pemasangan tirai

no	variasi debit	kedalaman aliran rata-rata (h)		kecepatan aliran rata-rata (v)	
		Running kosong	Formasi zigzag	Running kosong	Formasi zigzag
1	0,0087	0,0847	0,0699	0,9800	0,8200
2	0,0119	0,1098	0,1008	1,0067	0,8000
3	0,0128	0,1185	0,1095	1,0097	0,7333



## BAB V

### PENUTUP

#### A. Kesimpulan

Berdasarkan hasil penelitian yang telah dilakukan, maka disimpulkan bahwa:

1. Perubahan saluran akibat variasi bangunan tirai sayap beton sangat berpengaruh terhadap pergerakan kecepatan aliran. Pada saluran bangunan tirai, dimana nilai  $Fr = 1.075$  dan nilai  $Re = 73.947,1$ , saluran dengan bangunan pilat dengan bangunan tirai, dimana nilai  $Fr = 0.0990$ , dan nilai  $Re = 53.385,9$ . Perhitungan menunjukkan bahwa kecepatan aliran cenderung menurun diakibatkan adanya bangunan tirai sayap beton.
2. Pada saluran tanpa bangunan pada saluran pergerakan sedimen yang terjadi pada sebelum tirai sayap beton, gerusan dan endapan yang terjadi sangat besar. Sebaliknya saluran memakai bangunan pergerakan sedimen yang terjadi pada pilat, maupun tirai, gerusan dan endapan yang terjadi akan mengecil atau melambat. Maka dari itu, tirai model sayap beton sangat berpengaruh pada pergerakan sedimen, gerusan maupun endapan yang terjadi disekitar pilar.

## B. Saran

Dari pengalaman pada penelitian ini penulis memberikan saran-saran untuk penelitian lebih lanjut, yaitu:

1. Untuk penelitian selanjutnya dilakukan pengamatan dengan sedimen yang lebih bervariasi dan spesifik.
2. Untuk penelitian berikutnya titik pengambilan data (pias) harus lebih rapat dan lebih banyak agar data yang di peroleh lebih jelas dan akurat.
3. Dapat menjadi bahan referensi apabila ada kasus yang mirip dengan penelitian yang ada di lapangan.



## DAFTAR PUSTAKA

Achmad, F. R., Ikhsan, C., & Suyanto, S. (2017). *Analisis Tegangan Geser pada Sudutan Wonosari Sungai Bengawan Solo*. Matriks Teknik Sipil, 5(1).

Anonim, 2005, *Field Observation And Evaluations Of Streambed Scour At Bridges*, Federal Highway Administration U.S Departement Of Transportation, USA

Ariyanto, Anton. (2009). *Analisis Bentuk Pilar Jembatan Terhadap Potensi Gerusan Lokal*. Jurnal APTEK Vol 1, No 1, Juni 2009.

Breuser, H N C and Randviki, AJ. 1991. *Scouring IAHR Hydraulik Strukture Design Manual*. Rotterdam, A. Balkema.

Dictanata, A., & Lujito, L. (2016). *Pengaruh Penempatan Tirai Satu Baris pada Pilar Jembatan terhadap Kedalaman Gerusan*. INformasi dan Eksposisi hasil Riset Teknik Sipil dan Arsitektur. 12(2), 125-132.

Fatimah, eldina. (2013). *Studi Kedalaman Gerusan Lokal pada Pilar Jembatan Sungai Surabaya Krueng Aceh*. Bando Aceh. Jurnal Teknik sipil. Vol 3. No 1. 27-36.

Halim, fuad. (2014). *Pengaruh Debu Terhadap Pola Gerusan Disekitar Abutmen Jembatan (Uji Laboratorium Dengan Skala Model Jembatan Megawati)*. Jurnal Ilmiah Media Engineering. Fakultas Teknik Jurusan Teknik Sipil. Universitas Samratulangi Manado. Vo; 4, No 1. Maret: 32-40.

Halim, Muayya Feisal Suma Fuad Dan Liany. A Hendratta. (2018). *Analisis Gerusan Lokal Pada Pilar Jembatan Kuwil Kabupaten Minahasa Utara Menggunakan Metode Empiris*. Jurnal Sipil Statik. Fakultas Teknik Jurusan Sipil. Universitas Sam Ratulangi Manado. Vol 6. No 11. November: 1017-1028.

- Ikhsan, J., & Hidayat, W. (2006). *Pengaruh Bentuk Pilar Jembatan Terhadap Potensi Gerusan Lokal*. Semesta Teknika, 9(2), 124-132.
- Ikhsan, C., & Solichin, S. (2008). Analisis Susunan Tirai Optimal Sebagai Proteksi Pada Pilar Jembatan Dari Gerusan Lokal. *Media Teknik Sipil*, 8(2), 85-90.
- Julien Y. Pierre. (2002). River Mechanics, Cambridge University Press.
- Manikin, M. B. D. S., Uji, S. P. B. S. M., Bogowonto, V. J. P. B. S., & Model, M. U. (2009). Ariyanto, Anton. *Analisis Bentuk Pilar Jembatan Terhadap Potensi Gerusan Lokal*. Jurnal Aptek Vol. 1 No. 1 Juli 2009.
- Badan Standardisasi Nasional. 2016. SNI 2400.1. 2016. Tata Cara Perencanaan Krib di Sungai. Jakarta: BSN Djufri, Hasdarvatmin, 2017.
- Studi Pengaruh Sudut Belokan Sungai Terhadap Jurnal Aptek Vol. 1(1).
- Nenny. 2016. *Model proteksi gerusan pada pilar dengan tirai bersisi cekung*. Sekolah Pascasarjana Universitas Hasanuddin Makassar.
- Okky, MW. 2007. *Pengaruh Arah Aliran Terhadap Gerusan Lokal Di Sekitar Pilar Jembatan*. Tugas Akhir, Universitas Negeri Semarang.
- Qudus, N., & Agustina, A. S. (2007). *Mekanisme Perilaku Gerusan Lokal pada Pilar Tunggal dengan Variasi Diameter*. Jurnal Teknik Sipil dan Perencanaan, 9(2), 133-144.
- Shaskia, Nina Dan Maimun Rizalihadi. (2019). *Pola Gerusan Lokal Akibat Perlakuan Ada Abumen Jembatan*. Jurnal Jurusan Teknik Sipil Fakultas Teknik. Universitas Syiah Kuala. Vol 8. No 2.
- Wibowo, O. M. (2007). *Pengaruh arah aliran terhadap gerusan lokal disekitar pilar jembatan* (Doctoral dissertation, Universitas Negeri Semarang).
- Yuniar, alifi. (2006). *Karakteristik Gerusan Pilar Segi Empat Ujung Bulat pada Kondisi Terjadi Penurunan Dasar Sungai Dengan Proteksi Tirai*.

L

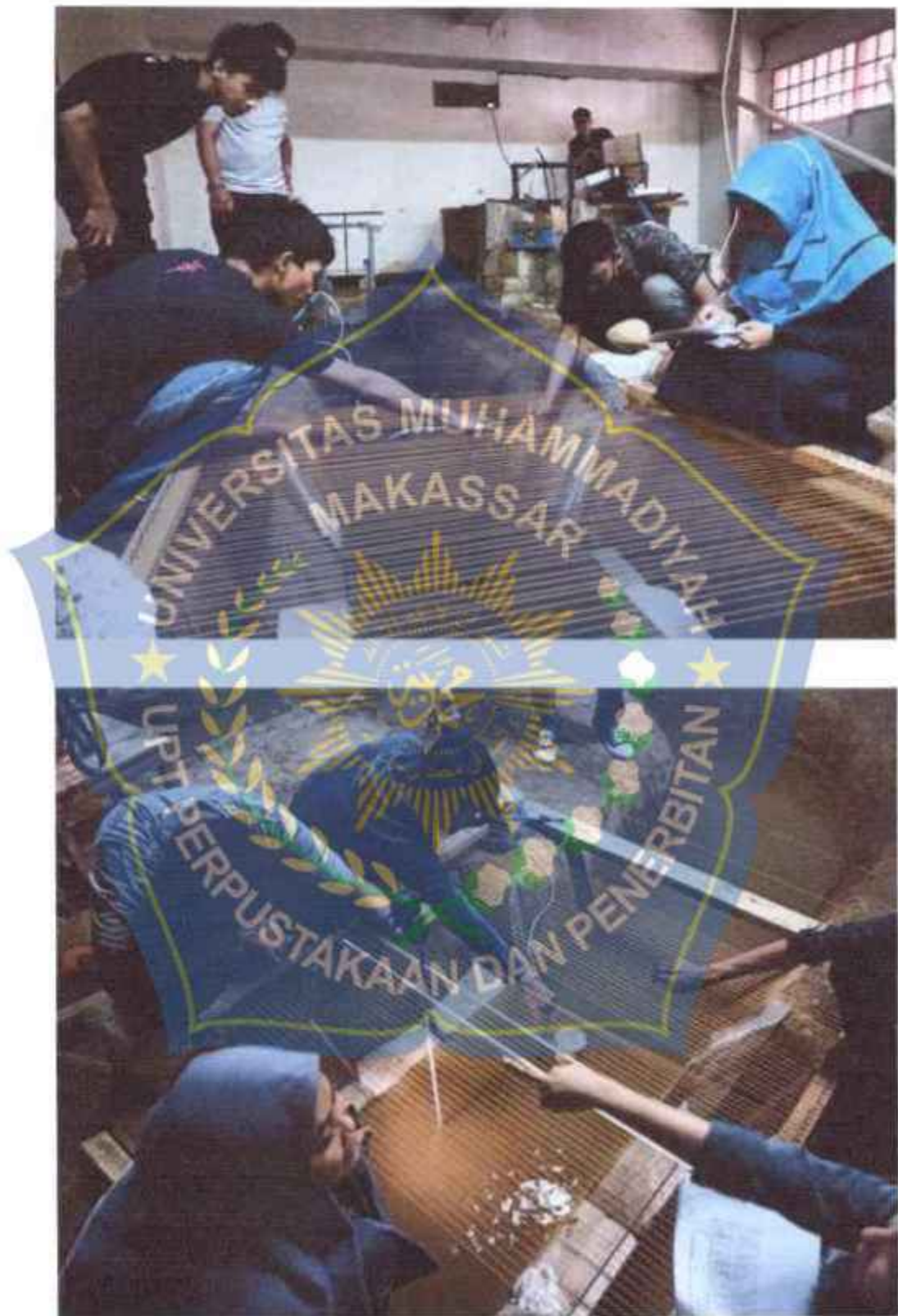
A



A

N

Dokumentasi Lapangan



## LAMPIRAN TANPA TIRAI

Analisis pola gerusan pada pilar jembatan dengan model sayap beton sebagai tirai

Nama : 1. Syahmin  
2. Ahmad al muzni  
Tanggal : 10/10/2016  
Bukan 1:05 cm  
T1:30 menit

No. Pias	Debit (Q)	Koefisien aliran						Frekuensi			
		$V_1$	$V_2$	$V_3$	$V_4$	$V_5$	$b_1$	$b_2$	$b_3$	$b_4$	$f_1$
1	0.900	0.900	0.890	0.900	0.900	0.880	0.087	0.065	0.053	0.059	0.087
2	0.900	0.897	0.890	0.900	0.900	0.860	0.089	0.060	0.050	0.061	0.090
3	0.800	0.810	0.790	0.800	0.800	0.780	0.085	0.068	0.058	0.077	0.075
4	0.800	0.799	0.790	0.800	0.800	0.760	0.099	0.100	0.099	0.099	0.100
5	0.700	0.700	0.690	0.700	0.700	0.680	0.104	0.104	0.108	0.105	0.105
6	0.700	0.700	0.690	0.690	0.700	0.640	0.107	0.108	0.107	0.108	0.107
7	0.600	0.500	0.590	0.500	0.600	0.520	0.109	0.108	0.109	0.110	0.109
8	0.500	0.400	0.500	0.500	0.440	0.460	0.116	0.111	0.112	0.113	0.111
9	0.400	0.500	0.300	0.400	0.500	0.420	0.111	0.112	0.112	0.113	0.112
10	0.300	0.400	0.200	0.400	0.500	0.360	0.115	0.116	0.119	0.120	0.119

## Analisis pola gerusan pada pilar jembatan dengan model sayap beton sebagai tirai

Nama :

1. Syahruddin
2. Ahmad al nuzi

Type :

Bukaan 1: 0,5 cm  
T: 20 menit

Tanggal :

Vanda

No. Pas	Debit (Q)	Kecepatan aliran						Pengaruh muka air		
		$V_1$	$V_2$	$V_3$	$V_4$	$V_5$	$\tau$	$b_1$	$b_2$	$b_3$
1	1.00	1.00	0.900	1.000	1.000	0.900	0.066	0.087	0.085	0.086
2	1.00	0.900	0.900	1.000	1.000	0.900	0.087	0.088	0.087	0.088
3	0.900	0.900	0.900	0.900	0.900	0.800	0.090	0.091	0.091	0.091
4	0.900	0.800	0.800	0.900	0.900	0.800	0.094	0.093	0.092	0.094
5	0.800	0.800	0.700	0.800	0.800	0.700	0.105	0.105	0.104	0.105
6	0.800	0.800	0.800	0.700	0.800	0.740	0.110	0.107	0.104	0.105
7	0.700	0.600	0.500	0.600	0.700	0.600	0.110	0.111	0.110	0.110
8	0.600	0.500	0.400	0.500	0.700	0.500	0.110	0.113	0.113	0.112
9	0.500	0.600	0.400	0.500	0.600	0.500	0.112	0.114	0.115	0.113
10	0.300	0.400	0.300	0.600	0.420	0.115	0.114	0.117	0.115	0.115

## Analisis pola gerusan pada pilar jembatan dengan model sayap beton sebagai tirai

Nama : 1. Syahruddin  
2. Ahmad al mughni  
Tanggal :

Type :

Bukaan 1: 0,5 cm  
T3: 30 menit

No. Pias	Debit (Q)	Kecepatan aliran								Tinggi muka air					
		V <sub>1</sub>	V <sub>2</sub>	V <sub>3</sub>	V <sub>4</sub>	V <sub>5</sub>	V <sub>6</sub>	V <sub>7</sub>	V <sub>8</sub>	V <sub>9</sub>	V <sub>10</sub>	V <sub>11</sub>			
1	1.100	1.100	1.000	1.000	1.000	1.000	1.000	1.000	1.000	0.080	0.082	0.082	0.081	0.080	0.081
2	1.000	1.000	1.000	1.000	1.000	1.000	1.000	1.000	1.000	0.084	0.084	0.083	0.084	0.082	0.083
3	1.000	1.000	0.900	1.000	1.000	0.900	0.900	0.900	0.900	0.088	0.088	0.086	0.086	0.087	0.088
4	1.000	0.900	0.900	1.000	1.000	0.900	0.900	0.900	0.900	0.090	0.091	0.091	0.092	0.091	0.091
5	0.900	0.900	0.800	0.900	0.900	0.800	0.800	0.800	0.800	0.102	0.105	0.107	0.101	0.102	0.103
6	0.900	0.900	0.700	0.800	0.900	0.800	0.800	0.800	0.800	0.106	0.105	0.107	0.108	0.110	0.107
7	0.800	0.700	0.600	0.700	0.800	0.700	0.700	0.700	0.700	0.110	0.110	0.109	0.112	0.111	0.110
8	0.700	0.600	0.500	0.700	0.800	0.600	0.600	0.600	0.600	0.111	0.112	0.114	0.113	0.112	0.112
9	0.600	0.700	0.500	0.600	0.700	0.600	0.600	0.600	0.600	0.112	0.113	0.115	0.114	0.113	0.113
10	0.600	0.600	0.400	0.600	0.700	0.580	0.617	0.616	0.615	0.117	0.116	0.115	0.117	0.115	0.116

Verdade seja dita que não existe problema de negociação entre os negócios estrangeiros.

www.ijerpi.org

卷之三

Analisis perbaikan teknik penerapan pengetahuan dengan model tawar dan pengaruhnya

PAPERS

10

卷之三

Analisis poligrafik pada pilar penataan muked atau ap berisi sebagai berikut:

Table 1. Summary of the results of the two experiments.

## Analisis pola gerusan pada pilas jembatan dengan model sayap beton sebagai tirai

Nama : 1. Syaharuddin  
2. Ahmad al mugi  
Tanggal :  
Type :  
Bukaan 2:1 cm  
T1: 10 menit

No. Pas	Debit (Q)	Koefisien akhir								Tinggi maks air		
		V <sub>1</sub>	V <sub>2</sub>	V <sub>3</sub>	V <sub>4</sub>	V <sub>5</sub>	b <sub>1</sub>	b <sub>2</sub>	b <sub>3</sub>	b <sub>4</sub>	b <sub>5</sub>	b <sub>6</sub>
1	1.00	1.00	0.95	0.90	1.00	0.96	0.117	0.118	0.106	0.111	0.118	0.112
2	0.90	0.90	0.86	0.90	1.00	0.90	0.122	0.127	0.125	0.127	0.127	0.126
3	0.90	0.89	0.89	0.90	0.90	0.84	0.132	0.134	0.136	0.134	0.140	0.135
4	0.80	0.80	0.70	0.80	0.90	0.80	0.137	0.141	0.141	0.138	0.137	0.139
5	0.80	0.70	0.70	0.70	0.80	0.74	0.140	0.144	0.141	0.142	0.141	0.142
6	0.70	0.70	0.66	0.70	0.80	0.70	0.131	0.132	0.141	0.131	0.131	0.133
7	0.60	0.60	0.40	0.60	0.70	0.58	0.131	0.149	0.141	0.132	0.140	0.137
8	0.60	0.60	0.50	0.50	0.60	0.56	0.137	0.144	0.142	0.140	0.141	0.141
9	0.60	0.50	0.50	0.50	0.60	0.54	0.141	0.145	0.143	0.142	0.143	0.143
10	0.50	0.50	0.40	0.40	0.50	0.46	0.143	0.146	0.145	0.144	0.145	0.145

## Analisis pola gerusan pada pilai jembatan dengan model sayap beton sebagai tirai

Nama :

1. Syahankin  
2. Ahmad al muqni

Type :

Bukaan 2:1cm  
T2: 20 menit

Tanggal :

No. Pias	Debit (Q)	Kecpalan airan					Tinggi maks air					g
		V <sub>1</sub>	V <sub>2</sub>	V <sub>3</sub>	V <sub>4</sub>	V <sub>5</sub>	R	h <sub>1</sub>	h <sub>2</sub>	h <sub>3</sub>	h <sub>4</sub>	
1	1.10	1.00	0.90	1.00	1.10	1.00	0.096	0.098	0.110	0.120	0.121	0.109
2	1.00	0.90	0.80	0.90	1.00	0.92	0.120	0.110	0.108	0.122	0.112	0.114
3	0.90	0.80	0.80	0.90	0.90	0.88	0.123	0.130	0.122	0.130	0.132	0.127
4	0.80	0.80	0.70	0.80	0.90	0.80	0.130	0.128	0.129	0.132	0.122	0.128
5	0.80	0.70	0.70	0.70	0.80	0.74	0.133	0.140	0.135	0.134	0.135	0.135
6	0.70	0.70	0.60	0.70	0.80	0.70	0.147	0.145	0.135	0.137	0.140	0.140
7	0.70	0.60	0.40	0.60	0.70	0.60	0.146	0.147	0.142	0.140	0.140	0.143
8	0.60	0.60	0.50	0.50	0.70	0.58	0.146	0.144	0.143	0.144	0.147	0.145
9	0.60	0.50	0.50	0.50	0.60	0.54	0.145	0.145	0.146	0.147	0.143	0.145
10	0.50	0.50	0.40	0.50	0.50	0.48	0.145	0.147	0.146	0.146	0.147	0.146

## Analisis pola gerusan pada pilar jembatan dengan model sayap beton sebagai tirai

Nama :

1. Syahruddin
2. Ahmad al mughni

Tipe :

Bukaan 2:1 cm  
T3:30 menit

Tanggal :

Waktu :

No. Pas	Debit (Q)	Ketepalan air					Teggi muka air					f		
		V <sub>1</sub>	V <sub>2</sub>	V <sub>3</sub>	V <sub>4</sub>	V <sub>5</sub>	R	b <sub>1</sub>	b <sub>2</sub>	b <sub>3</sub>	b <sub>4</sub>			
1	1.100	1.000	1.000	1.000	1.000	1.100	1.046	0.122	0.098	0.100	0.110	0.112	0.108	
2	1.000	0.900	0.900	0.900	0.900	1.000	0.940	0.114	0.100	0.110	0.119	0.122	0.113	
3	1.000	0.900	0.900	0.900	0.900	0.900	0.900	0.121	0.112	0.108	0.114	0.120	0.115	
4	0.900	0.800	0.700	0.600	0.500	0.900	0.820	0.114	0.120	0.124	0.118	0.122	0.120	
5	0.900	0.700	0.500	0.300	0.200	0.700	0.800	0.760	0.133	0.122	0.125	0.130	0.126	0.127
6	0.800	0.700	0.600	0.500	0.400	0.700	0.800	0.720	0.138	0.136	0.132	0.130	0.131	0.133
7	0.700	0.600	0.500	0.400	0.300	0.600	0.700	0.620	0.136	0.135	0.134	0.135	0.133	0.135
8	0.600	0.600	0.500	0.400	0.300	0.600	0.700	0.600	0.138	0.138	0.136	0.137	0.137	0.137
9	0.600	0.500	0.400	0.300	0.200	0.600	0.500	0.540	0.144	0.142	0.139	0.141	0.142	0.142
10	0.500	0.500	0.400	0.300	0.200	0.500	0.600	0.500	0.148	0.144	0.142	0.143	0.144	0.144

**Analisis para geración de polar jumbos de aguas encendidas usando la tasa de rotación**

Periodo Tradicional	T <sub>1</sub> Número de rotación de aguas	Tasa de rotación									
		0.0	1	2	3	4	5	6	7	8	9
0.0	1	1.0	2.0	3.0	4.0	5.0	6.0	7.0	8.0	9.0	10.0
1	0.6	0.3	1.6	3.6	5.7	7.7	9.7	11.7	13.7	15.7	17.7
2	0.5	0.6	1.5	3.5	5.5	7.5	9.5	11.5	13.5	15.5	17.5
3	0.4	0.6	1.7	3.0	4.9	6.9	8.9	10.9	12.9	14.9	16.9
4	0.3	0.4	1.4	3.4	5.7	7.8	9.8	11.8	13.8	15.8	17.8
5	0.2	0.4	1.6	3.6	5.6	7.6	9.6	11.6	13.6	15.6	17.6
6	0.1	0.0	0.4	0.4	0.5	0.5	0.5	0.5	0.5	0.5	0.5
7	0.2	-0.3	0.3	0.4	0.4	0.5	0.5	0.5	0.5	0.5	0.5
8	0.3	0.6	0.3	0.2	0.2	0.2	0.2	0.2	0.2	0.2	0.2
9	0.1	-0.2	-0.1	0.2	0.2	0.2	0.2	0.2	0.2	0.2	0.2
10	0.8	0.9	0.5	0.6	0.8	0.8	0.8	0.8	0.8	0.8	0.8
11	0.7	0.8	0.8	0.4	0.4	0.4	0.4	0.4	0.4	0.4	0.4
12	0.8	0.7	0.5	0.4	0.4	0.4	0.4	0.4	0.4	0.4	0.4
13	0.4	0.6	0.5	0.4	0.3	0.3	0.3	0.3	0.3	0.3	0.3
14	0.5	0.6	0.5	0.3	0.2	0.2	0.2	0.2	0.2	0.2	0.2
15	1.0	1.0	0.8	0.8	0.8	0.8	0.8	0.8	0.8	0.8	0.8
16	0.8	0.7	0.9	0.5	0.5	0.5	0.5	0.5	0.5	0.5	0.5
17	0.2	0.7	0.7	0.6	0.5	0.5	0.5	0.5	0.5	0.5	0.5
18	0.9	0.9	0.8	0.7	0.7	0.7	0.7	0.7	0.7	0.7	0.7
19	1.0	0.7	0.8	0.8	0.8	0.8	0.8	0.8	0.8	0.8	0.8
20	1.0	0.8	0.8	0.8	0.8	0.8	0.8	0.8	0.8	0.8	0.8
21	0.9	0.9	1.0	1.0	1.0	1.0	1.0	1.0	1.0	1.0	1.0
22	0.8	0.8	0.9	1.0	1.0	1.0	1.0	1.0	1.0	1.0	1.0
23	0.9	0.9	0.6	1.3	1.3	1.3	1.3	1.3	1.3	1.3	1.3
24	1.0	1.0	0.6	1.0	1.0	1.0	1.0	1.0	1.0	1.0	1.0
25	0.2	0.8	0.8	0.8	0.8	0.8	0.8	0.8	0.8	0.8	0.8
26	0.3	0.6	0.8	0.6	0.6	0.6	0.6	0.6	0.6	0.6	0.6
27	0.4	0.6	0.9	1.1	1.1	1.1	1.1	1.1	1.1	1.1	1.1
28	0.6	0.8	0.8	1.0	1.0	1.0	1.0	1.0	1.0	1.0	1.0
29	0.4	0.6	1.0	1.1	1.1	1.1	1.1	1.1	1.1	1.1	1.1
30	0.3	0.8	0.5	0.7	0.7	0.7	0.7	0.7	0.7	0.7	0.7
31	0.1	0.3	0.4	0.4	0.4	0.4	0.4	0.4	0.4	0.4	0.4
32	0.1	1.2	0.4	0.5	0.5	0.5	0.5	0.5	0.5	0.5	0.5
33	0.1	0.3	0.5	0.5	0.5	0.5	0.5	0.5	0.5	0.5	0.5
34	0.1	0.0	0.2	0.2	0.2	0.2	0.2	0.2	0.2	0.2	0.2
35	0.1	0.1	0.3	0.3	0.3	0.3	0.3	0.3	0.3	0.3	0.3
36	0.4	0.4	0.6	0.6	0.6	0.6	0.6	0.6	0.6	0.6	0.6
37	0.1	0.3	-0.6	0.2	0.2	0.2	0.2	0.2	0.2	0.2	0.2
38	0.1	0.1	0.1	0.0	0.0	0.0	0.0	0.0	0.0	0.0	0.0
39	0.2	0.3	0.1	0.1	0.1	0.1	0.1	0.1	0.1	0.1	0.1
40	0.2	0.2	0.2	0.2	0.2	0.2	0.2	0.2	0.2	0.2	0.2
41	0.3	0.3	0.3	0.4	0.4	0.4	0.4	0.4	0.4	0.4	0.4
42	0.3	0.5	0.3	-1.4	0.5	0.4	0.4	0.4	0.4	0.4	0.4
43	0.3	0.2	0.0	0.0	0.1	0.1	0.1	0.1	0.1	0.1	0.1
44	0.1	0.3	0.4	0.5	0.5	0.5	0.5	0.5	0.5	0.5	0.5
45	0.2	0.3	0.4	0.5	0.6	0.6	0.6	0.6	0.6	0.6	0.6
46	0.2	0.3	0.4	0.6	0.7	0.7	0.7	0.7	0.7	0.7	0.7
47	0.1	0.2	0.3	0.4	0.5	0.6	0.7	0.7	0.7	0.7	0.7
48	0.4	0.2	0.3	0.4	0.4	0.5	0.6	0.7	0.7	0.7	0.7
49	0.3	0.2	0.7	0.9	0.9	1.0	1.0	1.0	1.0	1.0	1.0
50	0.6	0.3	0.5	0.6	0.6	0.6	0.6	0.6	0.6	0.6	0.6

Rodamiento 2 : 3 cm  
Tiempo  
varias

Tipo  
varias

T<sub>1</sub>  
Número de rotación  
de aguas

*Ansonia* includes all members, private or public, of Ansonia, Inc., the wholly-owned subsidiary of The Ansonia Corp. that manufactures electrical equipment.

四百三

9. NOVELS

卷八

Wirkungsweise 2 - X. 4. 1999

### Analisis perbaikan parameter penerjemahan dengan model awal berdasarkan tipe

Nomor	Tipe	Nilai									
		1. Sosial-kultural	2. Akrual et etik	3. Kognitif	4. Psikologis	5. Teknologi	6. Organisasi	7. Politik	8. Ekonomi	9. Geografi	10. Sosial
1	1. Sosial-kultural	1.0	1.0	1.0	1.0	1.0	1.0	1.0	1.0	1.0	1.0
2	2. Akrual et etik	1.0	1.0	1.0	1.0	1.0	1.0	1.0	1.0	1.0	1.0
3	3. Kognitif	1.0	1.0	1.0	1.0	1.0	1.0	1.0	1.0	1.0	1.0
4	4. Psikologis	1.0	1.0	1.0	1.0	1.0	1.0	1.0	1.0	1.0	1.0
5	5. Teknologi	1.0	1.0	1.0	1.0	1.0	1.0	1.0	1.0	1.0	1.0
6	6. Organisasi	1.0	1.0	1.0	1.0	1.0	1.0	1.0	1.0	1.0	1.0
7	7. Politik	1.0	1.0	1.0	1.0	1.0	1.0	1.0	1.0	1.0	1.0
8	8. Ekonomi	1.0	1.0	1.0	1.0	1.0	1.0	1.0	1.0	1.0	1.0
9	9. Geografi	1.0	1.0	1.0	1.0	1.0	1.0	1.0	1.0	1.0	1.0
10	10. Sosial	1.0	1.0	1.0	1.0	1.0	1.0	1.0	1.0	1.0	1.0



## Analisis pola gerusan pada pilar jembatan dengan model sayap beton sebagai tirai

Nama : 1. Syaharuddin  
 2. Ahmad al mughit  
 Tanggal :  
 Type :  
 Bukaan 3:15 cm  
 T2: 10 menit

No. Pas	Dekat (Q)	Kecepatan air						Tegangan maks		
		V <sub>1</sub>	V <sub>2</sub>	V <sub>3</sub>	V <sub>4</sub>	V <sub>5</sub>	V <sub>6</sub>	h <sub>a</sub>	h <sub>b</sub>	h <sub>d</sub>
1		1.100	1.000	0.900	0.900	1.000	0.980	0.119	0.117	0.119
2		1.000	0.900	0.800	0.800	0.900	0.880	0.119	0.120	0.121
3		0.900	0.900	0.800	0.700	0.800	0.820	0.129	0.121	0.124
4		0.800	0.800	0.700	0.700	0.800	0.760	0.140	0.134	0.136
5		0.800	0.700	0.600	0.500	0.700	0.660	0.141	0.140	0.142
6		0.600	0.500	0.400	0.400	0.600	0.500	0.140	0.141	0.143
7		0.400	0.300	0.300	0.400	0.400	0.340	0.141	0.139	0.144
8		0.300	0.300	0.200	0.300	0.400	0.300	0.143	0.140	0.145
9		0.300	0.200	0.200	0.300	0.250	0.250	0.144	0.145	0.144
10		0.200	0.200	0.100	0.200	0.300	0.200	0.147	0.146	0.146

## Analisis pola gerusan pada pilar jembatan dengan model sayap beton sebagai tirai

Nama :  
 1. Syahruddin  
 2. Ahmad al mughni

Bukaan 3: 15 cm  
 12: 20 menit

Tanggal :

Variasi

No. Pas	Dekat (Q)	Ketepatan aliran					Tinggi maks air		
		$V_1$	$V_2$	$V_3$	$V_4$	$\bar{V}$	$b_1$	$b_2$	$b_3$
1.0	1.000	0.940	0.840	0.990	1.000	0.920	0.120	0.117	0.117
2.0	1.000	0.900	0.800	0.800	0.900	0.830	0.126	0.117	0.118
3.0	0.900	0.930	0.810	0.700	0.800	0.820	0.120	0.122	0.124
4.0	0.800	0.800	0.700	0.700	0.800	0.780	0.122	0.120	0.131
5.0	0.800	0.700	0.600	0.500	0.700	0.660	0.130	0.128	0.134
6.0	0.600	0.500	0.400	0.400	0.600	0.500	0.135	0.132	0.128
7.0	0.500	0.400	0.300	0.400	0.400	0.400	0.142	0.134	0.136
8.0	0.400	0.300	0.200	0.300	0.400	0.300	0.141	0.139	0.141
9.0	0.400	0.200	0.200	0.300	0.300	0.200	0.145	0.142	0.144
10.0	0.300	0.200	0.200	0.200	0.300	0.240	0.145	0.144	0.146

**Analisis pola gerusan pada pilar jembatan dengan model sayap beton sebagai tirai**

Nama

1. Syahruddin  
2. Ahmad Almaghfir

Type

Bujkaan 3:15 cm  
72:30 menit

Tanggal

Variasi

No. Pas	Debit (Q)	Koefisien aliran								Tinggi muka air		
		$V_1$	$V_2$	$V_3$	$V_4$	$V_5$	$V_6$	$b_1$	$b_2$	$b_3$	$b_4$	$b_5$
1	1.00	0.900	1.800	0.900	1.900	1.120	0.121	0.119	0.121	0.119	0.121	0.120
2	1.00	0.900	0.800	0.800	0.900	0.680	0.123	0.118	0.119	0.118	0.121	0.120
3	0.90	0.900	0.800	0.800	0.800	0.840	0.124	0.122	0.121	0.123	0.122	
4	0.800	0.800	0.700	0.700	0.800	0.760	0.128	0.125	0.124	0.125	0.127	0.126
5	0.800	0.700	0.700	0.500	0.700	0.680	0.136	0.134	0.131	0.132	0.134	0.133
6	0.600	0.500	0.400	0.400	0.600	0.500	0.138	0.137	0.137	0.138	0.138	0.138
7	0.500	0.400	0.300	0.400	0.500	0.420	0.142	0.139	0.141	0.140	0.140	0.140
8	0.400	0.400	0.200	0.300	0.400	0.340	0.143	0.141	0.142	0.142	0.141	0.142
9	0.400	0.300	0.200	0.300	0.300	0.144	0.143	0.145	0.142	0.143	0.143	
10	0.300	0.200	0.200	0.300	0.240	0.147	0.145	0.145	0.146	0.145	0.146	

Analisis pada gerakan pada pilar jembatan dengan memperhatikan sebagian besar

Wurthe

三

卷之三

Analisis pola genetik pada pilar jembatan dengan metode sayap buatan sebagai titik

Environ Biol Fish (2008) 81:169–174  
DOI 10.1007/s10641-007-9311-1

Alphaine 1 : 1.5 cm  
12 : 1 mm

Analisis pada gerakan pada pilar jembatan dengan memperhatikan sifat-sifat yang ada pada strukturnya.

卷之三

210

200



**T+R4+B1:524+B1:528+B1:532+R4+B1:524+B1:53+61:528**

AUDITI  
PENGETAHUAN

ANALISIS PENGARUH SISTEMAN TRIAL TERHADAP POLA ALURAN DI SEKITAR PELABUHAN SUKABUMI

ADMANTO

MUHAMMAD ANGGARA

LONASI PENELITIAN : LABORATORIUM SAINS TEKNIK SIPSU, UNIVERSITAS MUHAMMADIYAH MAKASSAR  
HAKUZGE PENGETAHUAN DATA

G1 = 0.01290 m<sup>3</sup>/det  
G2 = 0.011m  
T = 27°C

No	Jarak trik m (detik)	v (m/det)	V(m/det)			h (m)	Larutan (b) m (m)	Luas permukaan (m <sup>2</sup> )	Densitas air (m/s)
			1	2	3				
1	6000	1	1	1	0.0	0.04	0.060	0.117	0.118
2	10000	1.1	1	1	0.9	1.1	0.060	0.110	0.110
3	14000	1.1	1	1	0.9	1.1	0.060	0.100	0.112
4	18000	1	1	1	0.9	1.1	0.060	0.100	0.112
5	22000	0.9	0.9	0.9	0.9	1.1	0.060	0.100	0.112
6	26000	0.9	0.9	0.9	0.9	1.1	0.060	0.100	0.112
7	30000	1	0.9	0.9	0.9	1	0.060	0.100	0.112
8	34000	1	0.9	0.9	0.9	1	0.060	0.100	0.112
9	38000	1	0.9	0.9	0.9	1	0.060	0.100	0.112
10	42000	0.9	0.9	0.9	0.9	1	0.060	0.100	0.112
11	46000	0.9	0.9	0.9	0.9	1	0.060	0.100	0.112
12	50000	0.9	0.9	0.9	0.9	1	0.060	0.100	0.112
13	54000	0.9	0.9	0.9	0.9	1	0.060	0.100	0.112
14	58000	0.9	0.9	0.9	0.9	1	0.060	0.100	0.112
15	62000	0.9	0.9	0.9	0.9	1	0.060	0.100	0.112
16	66000	0.9	0.9	0.9	0.9	1	0.060	0.100	0.112
17	70000	0.9	0.9	0.9	0.9	1	0.060	0.100	0.112
18	74000	0.9	0.9	0.9	0.9	1	0.060	0.100	0.112
19	78000	0.9	0.9	0.9	0.9	1	0.060	0.100	0.112
20	82000	0.9	0.9	0.9	0.9	1	0.060	0.100	0.112
21	86000	0.9	0.9	0.9	0.9	1	0.060	0.100	0.112
22	90000	0.9	0.9	0.9	0.9	1	0.060	0.100	0.112
23	94000	0.9	0.9	0.9	0.9	1	0.060	0.100	0.112
24	98000	0.9	0.9	0.9	0.9	1	0.060	0.100	0.112
25	102000	0.9	0.9	0.9	0.9	1	0.060	0.100	0.112
26	106000	0.9	0.9	0.9	0.9	1	0.060	0.100	0.112
27	110000	0.9	0.9	0.9	0.9	1	0.060	0.100	0.112
28	114000	0.9	0.9	0.9	0.9	1	0.060	0.100	0.112
29	118000	0.9	0.9	0.9	0.9	1	0.060	0.100	0.112
30	122000	0.9	0.9	0.9	0.9	1	0.060	0.100	0.112
31	126000	0.9	0.9	0.9	0.9	1	0.060	0.100	0.112
32	130000	0.9	0.9	0.9	0.9	1	0.060	0.100	0.112
33	134000	0.9	0.9	0.9	0.9	1	0.060	0.100	0.112
34	138000	0.9	0.9	0.9	0.9	1	0.060	0.100	0.112
35	142000	0.9	0.9	0.9	0.9	1	0.060	0.100	0.112
36	146000	0.9	0.9	0.9	0.9	1	0.060	0.100	0.112
37	150000	0.9	0.9	0.9	0.9	1	0.060	0.100	0.112
38	154000	0.9	0.9	0.9	0.9	1	0.060	0.100	0.112
39	158000	0.9	0.9	0.9	0.9	1	0.060	0.100	0.112
40	162000	0.9	0.9	0.9	0.9	1	0.060	0.100	0.112
41	166000	0.9	0.9	0.9	0.9	1	0.060	0.100	0.112
42	170000	0.9	0.9	0.9	0.9	1	0.060	0.100	0.112
43	174000	0.9	0.9	0.9	0.9	1	0.060	0.100	0.112
44	178000	0.9	0.9	0.9	0.9	1	0.060	0.100	0.112
45	182000	0.9	0.9	0.9	0.9	1	0.060	0.100	0.112
46	186000	0.9	0.9	0.9	0.9	1	0.060	0.100	0.112
47	190000	0.9	0.9	0.9	0.9	1	0.060	0.100	0.112
48	194000	0.9	0.9	0.9	0.9	1	0.060	0.100	0.112
49	198000	0.9	0.9	0.9	0.9	1	0.060	0.100	0.112
50	202000	0.9	0.9	0.9	0.9	1	0.060	0.100	0.112
51	206000	0.9	0.9	0.9	0.9	1	0.060	0.100	0.112
52	210000	0.9	0.9	0.9	0.9	1	0.060	0.100	0.112
53	214000	0.9	0.9	0.9	0.9	1	0.060	0.100	0.112
54	218000	0.9	0.9	0.9	0.9	1	0.060	0.100	0.112
55	222000	0.9	0.9	0.9	0.9	1	0.060	0.100	0.112
56	226000	0.9	0.9	0.9	0.9	1	0.060	0.100	0.112
57	230000	0.9	0.9	0.9	0.9	1	0.060	0.100	0.112
58	234000	0.9	0.9	0.9	0.9	1	0.060	0.100	0.112
59	238000	0.9	0.9	0.9	0.9	1	0.060	0.100	0.112
60	242000	0.9	0.9	0.9	0.9	1	0.060	0.100	0.112
61	246000	0.9	0.9	0.9	0.9	1	0.060	0.100	0.112
62	250000	0.9	0.9	0.9	0.9	1	0.060	0.100	0.112
63	254000	0.9	0.9	0.9	0.9	1	0.060	0.100	0.112
64	258000	0.9	0.9	0.9	0.9	1	0.060	0.100	0.112
65	262000	0.9	0.9	0.9	0.9	1	0.060	0.100	0.112
66	266000	0.9	0.9	0.9	0.9	1	0.060	0.100	0.112
67	270000	0.9	0.9	0.9	0.9	1	0.060	0.100	0.112
68	274000	0.9	0.9	0.9	0.9	1	0.060	0.100	0.112
69	278000	0.9	0.9	0.9	0.9	1	0.060	0.100	0.112
70	282000	0.9	0.9	0.9	0.9	1	0.060	0.100	0.112
71	286000	0.9	0.9	0.9	0.9	1	0.060	0.100	0.112
72	290000	0.9	0.9	0.9	0.9	1	0.060	0.100	0.112
73	294000	0.9	0.9	0.9	0.9	1	0.060	0.100	0.112
74	298000	0.9	0.9	0.9	0.9	1	0.060	0.100	0.112
75	302000	0.9	0.9	0.9	0.9	1	0.060	0.100	0.112
76	306000	0.9	0.9	0.9	0.9	1	0.060	0.100	0.112
77	310000	0.9	0.9	0.9	0.9	1	0.060	0.100	0.112
78	314000	0.9	0.9	0.9	0.9	1	0.060	0.100	0.112
79	318000	0.9	0.9	0.9	0.9	1	0.060	0.100	0.112
80	322000	0.9	0.9	0.9	0.9	1	0.060	0.100	0.112
81	326000	0.9	0.9	0.9	0.9	1	0.060	0.100	0.112
82	330000	0.9	0.9	0.9	0.9	1	0.060	0.100	0.112
83	334000	0.9	0.9	0.9	0.9	1	0.060	0.100	0.112
84	338000	0.9	0.9	0.9	0.9	1	0.060	0.100	0.112
85	342000	0.9	0.9	0.9	0.9	1	0.060	0.100	0.112
86	346000	0.9	0.9	0.9	0.9	1	0.060	0.100	0.112
87	350000	0.9	0.9	0.9	0.9	1	0.060	0.100	0.112
88	354000	0.9	0.9	0.9	0.9	1	0.060	0.100	0.112
89	358000	0.9	0.9	0.9	0.9	1	0.060	0.100	0.112
90	362000	0.9	0.9	0.9	0.9	1	0.060	0.100	0.112
91	366000	0.9	0.9	0.9	0.9	1	0.060	0.100	0.112
92	370000	0.9	0.9	0.9	0.9	1	0.060	0.100	0.112
93	374000	0.9	0.9	0.9	0.9	1	0.060	0.100	0.112
94	378000	0.9	0.9	0.9	0.9	1	0.060	0.100	0.112
95	382000	0.9	0.9	0.9	0.9	1	0.060	0.100	0.112
96	386000	0.9	0.9	0.9	0.9	1	0.060	0.100	0.112
97	390000	0.9	0.9	0.9	0.9	1	0.060	0.100	0.112
98	394000	0.9	0.9	0.9	0.9	1	0.060	0.100	0.112
99	398000	0.9	0.9	0.9	0.9	1	0.060	0.100	0.112
100	402000	0.9	0.9	0.9	0.9	1	0.060	0.100	0.112
101	406000	0.9	0.9	0.9	0.9	1	0.060	0.100	0.112
102	410000	0.9	0.9	0.9	0.9	1	0.060	0.100	0.112
103	414000	0.9	0.9	0.9	0.9	1	0.060	0.100	0.112
104	418000	0.9	0.9	0.9	0.9	1	0.060	0.100	0.112
105	422000	0.9	0.9	0.9	0.9	1	0.060	0.100	0.112
106	426000	0.9	0.9	0.9	0.9	1	0.060	0.100	0.112
107	430000	0.9	0.9	0.9	0.9	1	0.060	0.100	0.112
108	434000	0.9	0.9	0.9	0.9	1	0.060	0.100	0.112
109	438000	0.9	0.9	0.9	0.9	1	0.060	0.100	0.112
110	442000	0.9	0.9	0.9	0.9	1	0.060	0.100	0.112
111	446000	0.9	0.9	0.9	0.9	1	0.060	0.100	0.112
112	450000	0.9	0.9	0.9	0.9	1	0.060	0.100	0.112
113	454000	0.9	0.9	0.9	0.9	1	0.060	0.100	0.112
114	458000	0.9	0.9	0.9	0.9	1	0.060	0.100	0.112
115	462000	0.9	0.9	0.9	0.9	1	0.060	0.100	0.112
116	466000	0.9	0.9	0.9	0.9	1	0.060	0.100	0.112
117	470000	0.9	0.9	0.9	0.9	1	0.060	0.100	0.112
118	474000	0.9	0.9	0.9	0.9	1	0.060	0.100	0.112
119	478000	0.9	0.9	0					

LOKASI PENELITIAN : LABORATORIUM SUNGAI TEKNIK SISTEM UDARA STASIUN METEOROLOGI MADIWAE MAKASSAR  
 HARITAGI PENGGAMBILAN DATA :

$$\begin{aligned} Q_1 &= 0.01532 \text{ m}^3/\text{det} \\ Q_4 &= 0.03 \text{ m}^3 \\ T &= 27^\circ\text{C} \end{aligned}$$

ADRIANTO  
 MULY, RILIA ANGGA  
 ANALISIS PENGARUH SUSUNAN TIRAI TERHADAP POLA AIRRAH DI SEKELAR PILAK XI HINDIA

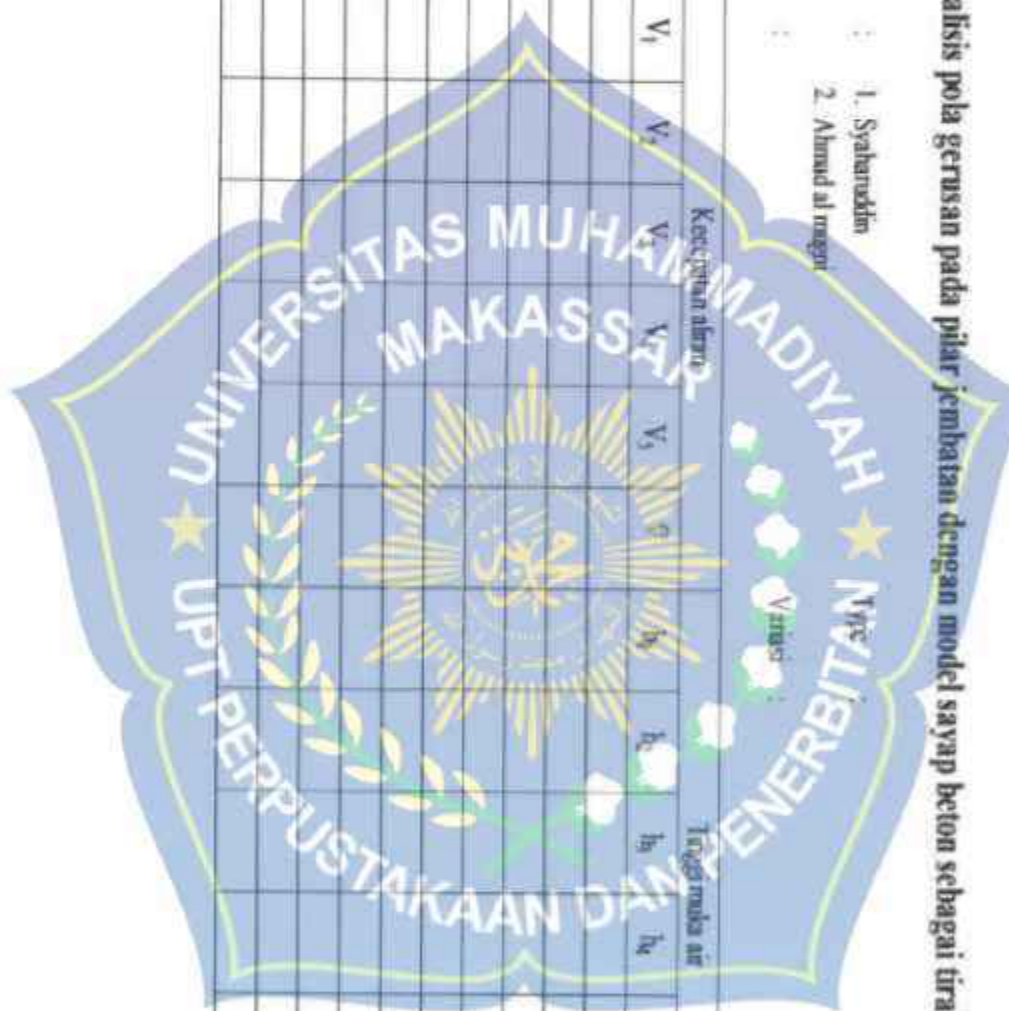
MULY, RILIA ANGGA  
 ANALISIS PENGARUH SUSUNAN TIRAI TERHADAP POLA AIRRAH DI SEKELAR PILAK XI HINDIA

MULY, RILIA ANGGA  
 ANALISIS PENGARUH SUSUNAN TIRAI TERHADAP POLA AIRRAH DI SEKELAR PILAK XI HINDIA

No	Letak titik	t (detik)	V(m/det)	Koefisien korelasi				N (ml)	h (mata-sarang) (cm)	Lurah (b)	Luas perca penanaman (ha)	Dekbris (kg/t)	
				1	2	3	4						
1	(titik 1)	1	0.9	0.9	0.9	0.9	0.9	0.9	0.949	0.119	0.112	0.119	0.127
2	(titik 2)	1	0.9	0.9	0.9	0.9	0.9	0.9	0.949	0.120	0.117	0.119	0.127
3	(titik 3)	1	0.9	0.9	0.9	0.9	0.9	0.9	0.949	0.121	0.121	0.121	0.125
4	(titik 4)	1	0.9	0.9	0.9	0.9	0.9	0.9	0.949	0.122	0.120	0.120	0.125
5	(titik 5)	1	0.9	0.9	0.9	0.9	0.9	0.9	0.949	0.123	0.123	0.123	0.125
6	(titik 6)	1	0.9	0.9	0.9	0.9	0.9	0.9	0.949	0.124	0.124	0.124	0.125
7	(titik 7)	1	0.9	0.9	0.9	0.9	0.9	0.9	0.949	0.125	0.125	0.125	0.125
8	(titik 8)	1	0.9	0.9	0.9	0.9	0.9	0.9	0.949	0.126	0.126	0.126	0.126
9	(titik 9)	1	0.9	0.9	0.9	0.9	0.9	0.9	0.949	0.127	0.127	0.127	0.127
10	(titik 10)	1	0.9	0.9	0.9	0.9	0.9	0.9	0.949	0.128	0.128	0.128	0.128

No	letak titik	Q		kec. Aliran	Tinggi muka air	lebar	kerasal	luas Penampang (A)	Keliling basah(P)	jarj-jari hidro (R)	Reynold	Froude	Keterangan
		(m³/det)	(m/det)	(m)	(m)	(m)	(m)	(m²)	m	(Re)	(Fr)	Reynold	Froude
1	Titik 1	0.04153	0.980	0.085	0.5	0.002	0.062	0.625	0.063	7547.1	1.075	turbulen	Kritis
2	Titik 2	0.04174	0.960	0.087	0.5	0.002	0.063	0.624	0.065	7384.2	1.040	turbulen	Kritis
3	Titik 3	0.08047	0.880	0.082	0.5	0.002	0.066	0.684	0.067	20229.0	0.927	turbulen	Kritis
4	Titik 4	0.04069	0.860	0.095	0.5	0.002	0.067	0.685	0.069	20277.3	0.893	turbulen	Sub Kritis
5	Titik 5	0.04063	0.790	0.104	0.5	0.002	0.070	0.708	0.074	68374.5	0.777	turbulen	Sub Kritis
6	Titik 6	0.03968	0.740	0.107	0.5	0.002	0.074	0.714	0.075	66206.0	0.722	turbulen	Sub Kritis
7	Titik 7	0.03498	0.620	0.110	0.5	0.002	0.075	0.720	0.076	56425.2	0.597	turbulen	Sub Kritis
8	Titik 8	0.03130	0.580	0.112	0.5	0.002	0.076	0.724	0.077	51563.2	0.585	turbulen	Sub Kritis
9	Titik 9	0.02543	0.520	0.113	0.5	0.002	0.077	0.728	0.078	46297.2	0.494	turbulen	Sub Kritis
10	Titik 10	0.02655	0.453	0.116	0.5	0.002	0.078	0.733	0.079	43086.0	0.425	turbulen	Sub Kritis
No	letak titik	Q (m³/det)	kec. Aliran (m/det)	Tinggi muka air (m)	lebar (m)	kerasal (m)	luas Penampang (A) (m²)	Keliling basah(P) m	jarj-jari hidro (R)	Reynold	Froude	Keterangan	
1	Titik 1	0.05830	1.007	0.110	0.5	0.022	0.058	0.710	0.080	95564.1	0.970	turbulen	Kritis
2	Titik 2	0.05413	0.920	0.118	0.5	0.022	0.059	0.735	0.080	87733.4	0.856	turbulen	Kritis
3	Titik 3	0.05496	0.873	0.126	0.5	0.022	0.063	0.752	0.084	87143.4	0.786	turbulen	Sub Kritis
4	Titik 4	0.05198	0.807	0.129	0.5	0.022	0.064	0.758	0.086	81757.2	0.717	turbulen	Sub Kritis
5	Titik 5	0.05040	0.747	0.135	0.5	0.022	0.067	0.769	0.088	77914.8	0.649	turbulen	Sub Kritis
6	Titik 6	0.04794	0.707	0.136	0.5	0.022	0.068	0.771	0.088	74071.9	0.613	turbulen	Sub Kritis
7	Titik 7	0.04150	0.600	0.138	0.5	0.022	0.069	0.777	0.089	63867.0	0.515	turbulen	Sub Kritis
8	Titik 8	0.04667	0.580	0.141	0.5	0.022	0.070	0.782	0.090	62304.1	0.493	turbulen	Sub Kritis
9	Titik 9	0.03868	0.540	0.143	0.5	0.022	0.072	0.786	0.091	58660.4	0.456	turbulen	Sub Kritis
10	Titik 10	0.03475	0.480	0.145	0.5	0.022	0.072	0.790	0.092	52457.8	0.423	turbulen	Sub Kritis
No	letak titik	Q (m³/det)	kec. Aliran (m/det)	Lebar (m)	kerasal (m)	luas Penampang (A) (m²)	Keliling basah(P) m	jarj-jari hidro (R)	Reynold	Froude	Keterangan		
1	Titik 1	0.06316	1.007	0.118	0.5	0.022	0.063	0.730	0.085	102153.4	0.934	turbulen	Sub Kritis
2	Titik 2	0.05292	0.880	0.120	0.5	0.022	0.064	0.741	0.081	85170.9	0.810	turbulen	Sub Kritis
3	Titik 3	0.05698	0.827	0.123	0.5	0.022	0.062	0.747	0.083	81375.2	0.752	turbulen	Sub Kritis
4	Titik 4	0.04882	0.760	0.128	0.5	0.022	0.064	0.757	0.085	76869.5	0.677	turbulen	Sub Kritis
5	Titik 5	0.04480	0.667	0.134	0.5	0.022	0.067	0.769	0.087	69454.8	0.581	turbulen	Sub Kritis
6	Titik 6	0.03433	0.500	0.137	0.5	0.022	0.069	0.775	0.089	52824.9	0.431	turbulen	Sub Kritis
7	Titik 7	0.02759	0.393	0.140	0.5	0.022	0.070	0.781	0.090	42124.2	0.335	turbulen	Sub Kritis
8	Titik 8	0.02275	0.320	0.142	0.5	0.022	0.071	0.784	0.091	34571.6	0.271	turbulen	Sub Kritis
9	Titik 9	0.01966	0.273	0.144	0.5	0.022	0.072	0.788	0.091	29749.6	0.230	turbulen	Sub Kritis
10	Titik 10	0.01649	0.227	0.146	0.5	0.022	0.073	0.791	0.092	24851.0	0.190	turbulen	Sub Kritis
No	letak titik	Q (m³/det)	kec. Aliran (m/det)	Lebar (m)	kerasal (m)	luas Penampang (A) (m²)	Keliling basah(P) m	jarj-jari hidro (R)	Reynold	Froude	Keterangan		

Letak titik	Debit q m <sup>3</sup> /detik	ket. Rata2 u	Diameter D m	kedalaman h m	kelebaran b m	Bi Sediment ρ <sub>s</sub> kg/m <sup>3</sup>	T0 m	Grafik (ρ <sub>s</sub> -ρ <sub>w</sub> ) <sup>0,5</sup> N/m <sup>2</sup>	T <sub>0</sub> m	Grafik (ρ <sub>s</sub> -ρ <sub>w</sub> g/d) (g·h,1) <sup>0,5</sup> N/m <sup>2</sup>	U <sub>0</sub> m/det	Ket
1	0.0415	0.980	0.00256	0.085	0.0022	2576	1000	1.829	0.049	1.423	0.0478	Diam
2	0.0417	0.980	0.00256	0.087	0.0022	2576	1000	1.876	0.058	1.367	0.0433	Diam
3	0.0405	0.980	0.00256	0.092	0.0022	2576	1000	1.984	0.033	1.204	0.0445	Mulai Bergerak
4	0.0407	0.980	0.00256	0.095	0.0022	2576	1000	2.042	0.030	1.095	0.0452	Mulai Bergerak
5	0.0406	0.780	0.00236	0.104	0.0022	2576	1000	2.247	0.077	0.978	0.0474	Bergerak
6	0.0397	0.740	0.00236	0.107	0.0022	2576	1000	2.314	0.027	0.992	0.0481	Bergerak
7	0.0341	0.620	0.00236	0.110	0.0022	2576	1000	2.371	0.025	0.911	0.0467	Bergerak
8	0.0313	0.560	0.00236	0.112	0.0022	2576	1000	2.411	0.024	0.875	0.0451	Bergerak
9	0.0294	0.520	0.00236	0.113	0.0022	2576	1000	2.442	0.022	0.801	0.0454	Bergerak
10	0.0264	0.453	0.00136	0.116	0.0022	2576	1000	2.501	0.020	0.730	0.0501	Bergerak
Letak titik	Debit q m <sup>3</sup> /detik	ket. Rata2 u	Diameter D m	kedalaman h m	kelebaran b m	Bi sedimen ρ <sub>s</sub> kg/m <sup>3</sup>	T0 m	Grafik (ρ <sub>s</sub> -ρ <sub>w</sub> ) <sup>0,5</sup> N/m <sup>2</sup>	T <sub>0</sub> m	Grafik (ρ <sub>s</sub> -ρ <sub>w</sub> g/d) (g·h,1) <sup>0,5</sup> N/m <sup>2</sup>	U <sub>0</sub> m/det	Ket
1	0.0583	1.007	0.00236	0.113	0.0022	2576	1000	2.319	0.019	1.423	0.0487	Diam
2	0.0541	0.920	0.00236	0.118	0.0022	2576	1000	2.353	0.019	1.390	0.0504	Mulai Bergerak
3	0.0550	0.873	0.00236	0.126	0.0022	2576	1000	2.376	0.016	1.314	0.0521	Mulai Bergerak
4	0.0520	0.807	0.00236	0.129	0.0022	2576	1000	2.381	0.015	1.277	0.0527	Bergerak
5	0.0503	0.747	0.00236	0.135	0.0022	2576	1000	2.393	0.014	1.241	0.0539	Bergerak
6	0.0479	0.702	0.00236	0.136	0.0022	2576	1000	2.395	0.013	1.204	0.0541	Bergerak
7	0.0415	0.600	0.00236	0.138	0.0022	2576	1000	2.406	0.013	1.168	0.0546	Bergerak
8	0.0409	0.580	0.00236	0.141	0.0022	2576	1000	2.407	0.011	1.131	0.0552	Bergerak
9	0.0397	0.540	0.00236	0.143	0.0022	2576	1000	2.409	0.010	1.095	0.0556	Bergerak
10	0.0348	0.480	0.00236	0.145	0.0022	2576	1000	2.412	0.010	1.075	0.0559	Bergerak
Letak titik	Debit q m <sup>3</sup> /detik	ket. Rata2 u	Diameter D m	kedalaman h m	kelebaran b m	Bi Air ρ <sub>w</sub> kg/m <sup>3</sup>	T0 m	Grafik (ρ <sub>w</sub> -h) N/m <sup>2</sup>	T <sub>0</sub> m	Grafik (ρ <sub>w</sub> -ρ <sub>s</sub> g/d) N/m <sup>2</sup>	U <sub>0</sub> m/det	Ket
1	0.0632	1.007	0.00236	0.118	0.0022	2576	1000	2.557	0.038	1.387	0.0506	Diam
2	0.0529	0.880	0.00236	0.120	0.0022	2576	1000	2.596	0.037	1.350	0.0509	Mulai Bergerak
3	0.0510	0.877	0.00236	0.123	0.0022	2576	1000	2.602	0.035	1.277	0.0516	Bergerak
4	0.0488	0.760	0.00236	0.128	0.0022	2576	1000	2.773	0.034	1.241	0.0527	Bergerak
5	0.0448	0.667	0.00236	0.134	0.0022	2576	1000	2.901	0.034	1.241	0.0539	Bergerak
6	0.0343	0.500	0.00236	0.137	0.0022	2576	1000	2.964	0.034	1.241	0.0544	Bergerak
7	0.0276	0.393	0.00236	0.140	0.0022	2576	1000	3.027	0.034	1.241	0.0550	Bergerak
8	0.0228	0.320	0.00236	0.142	0.0022	2576	1000	3.069	0.032	1.168	0.0554	Bergerak
9	0.0197	0.273	0.00236	0.144	0.0022	2576	1000	3.105	0.031	1.131	0.0557	Bergerak
10	0.0165	0.227	0.00236	0.146	0.0022	2576	1000	3.141	0.031	1.131	0.0560	Bergerak



#### TABEL PENGAMBILAN DATA

Analisis pola gerusan pada pilar jembatan dengan model sayap beton sebagai tirai

Nanik

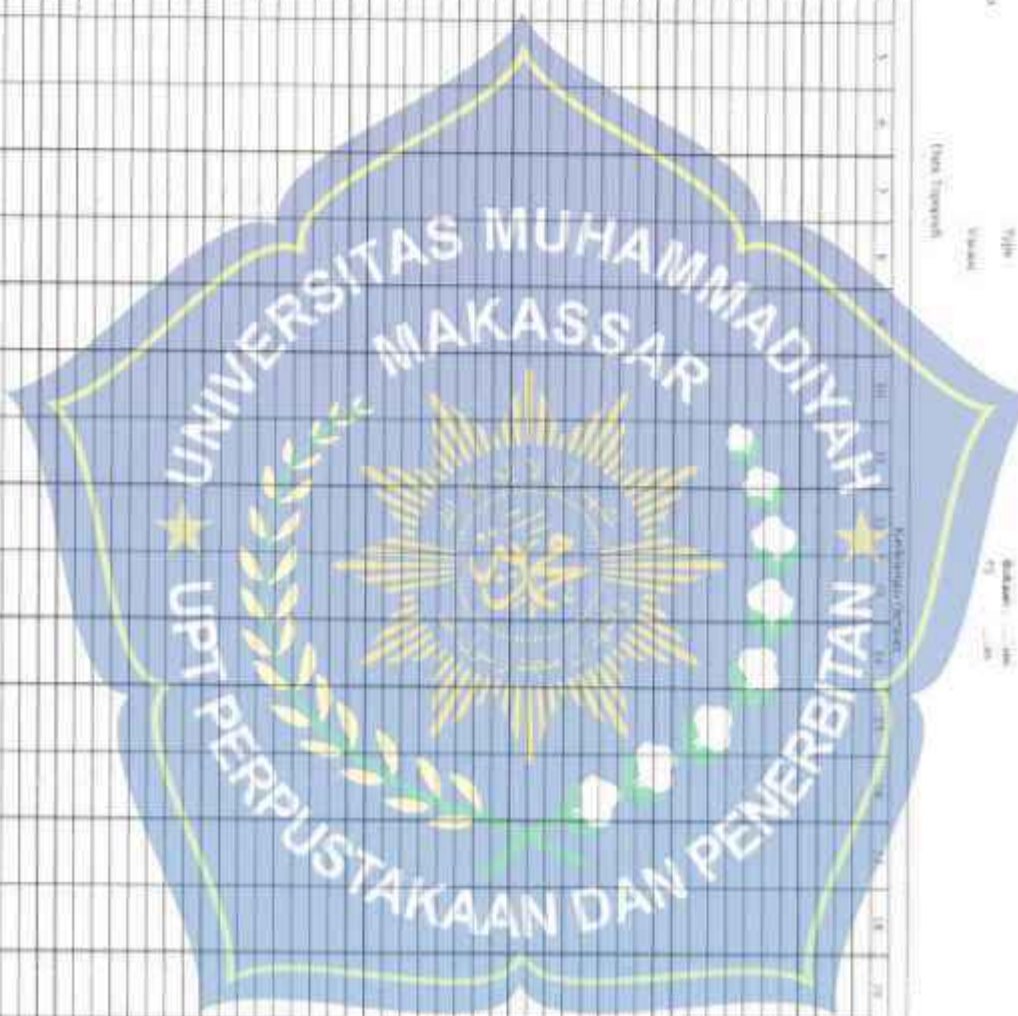
I. Syahruddin

Bukti

Ayatul Kursi Gerakku pada pilar jembatan dengan mudah menyayur sayur di lahan

Name :  1.     
Title :  2.     
Email :  3.     
Mobile :

4.     
Date issued :



No. urut	1	2	3	4	5	6	7	8	9	10	11	12	13	14	15	16	17	18	19	20	21	22	23	24	25	26	27	28	29	30	31	32	33	34	35	36	37	38	39	40	41	42	43	44	45	46	47	48	49	50	51	52	53	54	55	56	57	58	59	60	61	62	63	64	65	66	67	68	69	70	71	72	73	74	75	76	77	78	79	80	81	82	83	84	85	86	87	88	89	90	91	92	93	94	95	96	97	98	99	100
No. urut	1	2	3	4	5	6	7	8	9	10	11	12	13	14	15	16	17	18	19	20	21	22	23	24	25	26	27	28	29	30	31	32	33	34	35	36	37	38	39	40	41	42	43	44	45	46	47	48	49	50	51	52	53	54	55	56	57	58	59	60	61	62	63	64	65	66	67	68	69	70	71	72	73	74	75	76	77	78	79	80	81	82	83	84	85	86	87	88	89	90	91	92	93	94	95	96	97	98	99	100

Lampiran Tampak Menggunakan Tirai

**Analisis pola gerusan pada pilar jembatan dengan model sayap beton sebagai tirai**

Nama :  
 1. Syaharuddin  
 2. Ahmad al mughni

Tanggal : .

Batasan 1:0,5 cm  
 Ti: 10 menit

No. Pas	Debit (Q)	Kepetulan gerusan						Tajuk muka air				
		V <sub>1</sub>	V <sub>2</sub>	V <sub>3</sub>	V <sub>4</sub>	V <sub>5</sub>	V <sub>6</sub>	h <sub>1</sub>	h <sub>2</sub>	h <sub>3</sub>	h <sub>4</sub>	h <sub>5</sub>
1	0.900	0.700	0.700	0.800	0.900	0.800	0.078	0.063	0.066	0.068	0.089	0.073
2	0.800	0.700	0.600	0.700	0.900	0.740	0.081	0.090	0.092	0.091	0.088	0.088
3	0.700	0.600	0.600	0.700	0.800	0.680	0.092	0.094	0.094	0.091	0.091	0.092
4	0.700	0.600	0.600	0.600	0.700	0.640	0.097	0.098	0.101	0.101	0.100	0.099
5	0.600	0.500	0.500	0.600	0.600	0.560	0.108	0.110	0.106	0.111	0.111	0.109
6	0.400	0.300	0.200	0.300	0.400	0.320	0.111	0.112	0.113	0.113	0.112	0.112
7	0.300	0.200	0.200	0.200	0.300	0.240	0.109	0.110	0.112	0.113	0.112	0.111
8	0.200	0.200	0.100	0.200	0.300	0.300	0.110	0.110	0.110	0.115	0.110	0.111
9	0.200	0.100	0.200	0.300	0.180	0.108	0.112	0.113	0.113	0.109	0.111	
10	0.200	0.100	0.200	0.200	0.160	0.109	0.113	0.115	0.112	0.111	0.112	

## Analisis pola gerusan pada pilar jembatan dengan model sayap beton sebagai tirai

Nama :  
 1. Syahruddin  
 2. Ahmad al mughni  
 Type :  
 Variasi

Tanggal :

Bukaan 1 : 0,5 cm  
 T2 : 20 menit

No. Pilar	Debit (Q)	Kecepatan air										Tinggi muka air
		V <sub>1</sub>	V <sub>2</sub>	V <sub>3</sub>	V <sub>4</sub>	V <sub>5</sub>	V <sub>6</sub>	b <sub>1</sub>	b <sub>2</sub>	b <sub>3</sub>	b <sub>4</sub>	
1	0.900	0.800	0.700	0.700	0.900	0.800	0.076	0.072	0.064	0.062	0.068	0.068
2	0.800	0.700	0.600	0.700	0.900	0.740	0.077	0.070	0.069	0.066	0.073	0.071
3	0.700	0.700	0.600	0.600	0.800	0.680	0.081	0.076	0.078	0.060	0.073	0.078
4	0.700	0.600	0.500	0.600	0.700	0.620	0.089	0.091	0.096	0.077	0.093	0.089
5	0.600	0.500	0.500	0.600	0.600	0.560	0.096	0.096	0.095	0.097	0.093	0.095
6	0.400	0.200	0.300	0.200	0.300	0.280	0.101	0.098	0.095	0.096	0.102	0.098
7	0.300	0.200	0.200	0.200	0.300	0.240	0.098	0.100	0.098	0.100	0.101	0.099
8	0.200	0.200	0.200	0.200	0.300	0.220	0.101	0.102	0.104	0.101	0.103	0.102
9	0.300	0.200	0.100	0.200	0.200	0.200	0.103	0.105	0.106	0.104	0.103	0.104
10	0.200	0.200	0.100	0.100	0.200	0.160	0.103	0.105	0.108	0.106	0.105	0.105

## Analisis pola gerusan pada pilar jembatan dengan model sayap beton sebagai tirai

Nama :

1. Syaharuddin
2. Ahmad al mughni

Type

Bukaan 1: 0,5 cm  
13:30 menit

Tanggal

Varasi

No. Pias	Debit (Q)	Kecapatan air					Tinggi mutu air					?
		V <sub>1</sub>	V <sub>2</sub>	V <sub>3</sub>	V <sub>4</sub>	V <sub>5</sub>	?	h <sub>1</sub>	h <sub>2</sub>	h <sub>3</sub>	h <sub>4</sub>	
1	0.900	0.900	0.800	0.900	0.900	0.860	0.076	0.053	0.053	0.064	0.076	0.068
2	0.900	0.700	0.700	0.800	0.900	0.800	0.075	0.068	0.066	0.069	0.078	0.071
3	0.800	0.700	0.700	0.700	0.800	0.740	0.081	0.078	0.077	0.079	0.080	0.079
4	0.800	0.600	0.600	0.700	0.700	0.680	0.091	0.088	0.092	0.091	0.088	0.090
5	0.700	0.500	0.500	0.600	0.700	0.600	0.094	0.091	0.095	0.092	0.093	0.093
6	0.600	0.200	0.200	0.300	0.500	0.360	0.092	0.096	0.098	0.099	0.101	0.097
7	0.400	0.200	0.200	0.200	0.400	0.280	0.101	0.101	0.100	0.101	0.098	0.100
8	0.300	0.200	0.100	0.200	0.300	0.220	0.101	0.102	0.105	0.103	0.101	0.102
9	0.300	0.100	0.100	0.200	0.200	0.180	0.103	0.104	0.106	0.103	0.102	0.104
10	0.200	0.200	0.100	0.200	0.160	0.104	0.105	0.106	0.104	0.103	0.104	0.104

Analisis pokok gerakan pada pilkada jenayah dengan model sayap begin sebagai tindak

Type	Brucker L: 0,5 cm T: 30 cm
1. Synchrotron 2. Synchrotron (long)	

Novo bloco popular governista pode chegar ao governo em dezembro, se houver eleição direta.

Name \_\_\_\_\_

336

112-2021

### Análisis para el efecto de la pista de levitación dirigida en el diseño de un tren aéreo

TABLA 1. Variables que influyen en el rendimiento del tren aéreo

Nombre	T. Sustentación		T. Levitación		T. Aerodinámica	
	Alzado	Arrastre	Alzado	Arrastre	Alzado	Arrastre
No.	1	2	3	4	5	6
1	2.0	1.9	1.9	1.8	1.5	1.3
2	1.9	1.7	1.7	1.6	1.5	1.3
3	1.9	1.8	1.7	1.7	1.5	1.3
4	2.0	1.8	1.7	1.6	1.6	1.5
5	1.9	1.8	1.7	1.6	1.5	1.4
6	2.0	1.9	1.8	1.7	1.6	1.5
7	1.9	1.7	1.7	1.6	1.5	1.3
8	1.9	1.7	1.6	1.6	1.5	1.3
9	1.6	1.5	1.7	1.7	1.6	1.5
10	0.5	1.6	1.7	1.7	1.6	1.5
11	1.6	1.8	1.9	1.9	1.8	1.7
12	1.6	1.7	1.9	1.9	1.8	1.7
13	1.5	1.7	1.7	1.6	1.5	1.4
14	1.6	1.7	1.6	1.6	1.5	1.4
15	1.5	1.7	1.7	1.6	1.5	1.4
16	1.6	1.8	1.9	1.9	1.8	1.7
17	1.1	1.5	1.6	1.6	1.5	1.4
18	1.1	1.5	1.6	1.6	1.5	1.4
19	1.1	1.5	1.6	1.6	1.5	1.4
20	1.0	1.4	1.4	1.4	1.3	1.2
21	1.0	1.4	1.4	1.4	1.3	1.2
22	1.2	1.3	1.4	1.4	1.3	1.2
23	0.9	0.7	0.7	0.8	0.8	0.7
24	0.9	0.7	0.7	0.8	0.8	0.7
25	1.2	1.1	1.0	1.0	0.9	0.8
26	0.4	0.5	0.5	0.4	0.4	0.3
27	0.6	0.6	0.5	0.5	0.4	0.3
28	0.5	0.4	0.4	0.4	0.4	0.3
29	0.1	0.2	0.2	0.2	0.1	0.1
30	0.4	0.3	0.3	0.3	0.2	0.2
31	0.3	0.5	0.5	0.5	0.4	0.4
32	0.3	0.3	0.3	0.3	0.2	0.2
33	0.3	0.3	0.3	0.3	0.2	0.2
34	0.3	0.3	0.3	0.3	0.2	0.2
35	0.3	0.3	0.3	0.3	0.2	0.2
36	0.0	-0.1	0.4	0.4	0.3	0.3
37	0.2	0.9	0.8	0.8	0.7	0.7
38	0.2	2.0	1.2	1.2	1.1	1.1
39	0.6	0.2	1.0	1.0	0.9	0.9
40	0.7	1.0	1.0	0.7	0.7	0.7
41	0.5	0.8	0.9	0.9	0.8	0.8
42	0.5	1.1	0.5	0.6	0.5	0.5
43	0.6	0.8	1.1	1.0	1.0	1.0
44	0.6	0.8	1.0	1.0	1.0	1.0
45	0.6	0.8	1.0	1.0	1.0	1.0
46	0.7	0.6	0.6	0.6	0.5	0.5
47	0.5	0.5	0.5	0.5	0.4	0.4
48	0.5	0.5	0.5	0.5	0.4	0.4
49	1.2	1.0	1.0	1.1	1.1	1.1
50	1.1	0.9	0.8	0.8	0.9	0.9
51	0.6	0.5	0.5	0.5	0.5	0.5
52	0.5	0.4	0.4	0.4	0.5	0.5
53	0.4	0.4	0.4	0.4	0.4	0.4
54	0.4	0.4	0.4	0.4	0.4	0.4
55	0.4	0.4	0.4	0.4	0.4	0.4
56	0.4	0.4	0.4	0.4	0.4	0.4
57	0.4	0.4	0.4	0.4	0.4	0.4
58	0.4	0.4	0.4	0.4	0.4	0.4
59	0.4	0.4	0.4	0.4	0.4	0.4
60	0.4	0.4	0.4	0.4	0.4	0.4

## Analisis pola gerusan pada pilar jembatan dengan model sayap beton sebagai tirai

Name : 1. Syaharuddin  
 2. Ahmad al mughni  
 Tanggal :  
 Type :  
 Bukaan 2:1 cm  
 T1:10 menit

No. Pias	Debit (Q)	Koefisien a hancur						Tinggi makara					
		V <sub>1</sub>	V <sub>2</sub>	V <sub>3</sub>	V <sub>4</sub>	V <sub>5</sub>	V <sub>6</sub>	b <sub>1</sub>	b <sub>2</sub>	b <sub>3</sub>	b <sub>4</sub>	b <sub>5</sub>	
1	0.800	0.800	0.700	0.800	0.800	0.780	0.018	0.099	0.097	0.102	0.109	0.103	
2	0.700	0.800	0.700	0.700	0.800	0.740	0.113	0.118	0.116	0.118	0.118	0.117	
3	0.800	0.700	0.600	0.700	0.800	0.720	0.123	0.125	0.127	0.125	0.131	0.126	
4	0.700	0.700	0.600	0.700	0.700	0.680	0.128	0.132	0.132	0.129	0.128	0.130	
5	0.600	0.700	0.600	0.600	0.600	0.620	0.121	0.135	0.132	0.133	0.132	0.133	
6	0.500	0.300	0.200	0.300	0.300	0.360	0.122	0.123	0.122	0.122	0.122	0.124	
7	0.400	0.300	0.200	0.400	0.400	0.340	0.122	0.124	0.122	0.123	0.131	0.128	
8	0.300	0.200	0.200	0.300	0.400	0.280	0.125	0.125	0.129	0.131	0.132	0.130	
9		0.300	0.100	0.200	0.200	0.300	0.220	0.132	0.129	0.128	0.131	0.132	0.130
10		0.200	0.200	0.100	0.200	0.300	0.200	0.126	0.131	0.132	0.131	0.128	0.130

## Analisis pola gerusan pada pilar jembatan dengan model sayap beton sebagai tirai

Nama :

1. Syahruddin
2. Ahmad al nugra

Type :

Bukaan 2 : 1cm  
T2 : 20 menit

Tanggal :

Natalia

No. Pilar	Debit (Q)	Kecepatan air								Tinggi maks air						
		V <sub>1</sub>	V <sub>2</sub>	V <sub>3</sub>	R	V <sub>4</sub>	V <sub>5</sub>	R	b <sub>1</sub>	b <sub>2</sub>	b <sub>3</sub>	b <sub>4</sub>	b <sub>5</sub>	b <sub>6</sub>	b <sub>7</sub>	b <sub>8</sub>
1	0.800	0.800	0.800	0.800	0.800	0.800	0.800	0.087	0.084	0.101	0.111	0.112	0.100			
2	0.800	0.700	0.800	0.800	0.800	0.800	0.780	0.111	0.101	0.099	0.113	0.103	0.105			
3	0.700	0.700	0.700	0.700	0.700	0.800	0.720	0.114	0.121	0.113	0.121	0.123	0.118			
4	0.700	0.700	0.600	0.600	0.800	0.600	0.680	0.121	0.119	0.12	0.123	0.113	0.119			
5	0.600	0.800	0.700	0.500	0.700	0.600	0.660	0.124	0.131	0.126	0.125	0.126	0.126			
6	0.500	0.600	0.500	0.500	0.600	0.540	0.138	0.134	0.126	0.128	0.131	0.131	0.131			
7	0.500	0.400	0.400	0.500	0.500	0.460	0.159	0.138	0.133	0.131	0.131	0.134				
8	0.400	0.400	0.300	0.400	0.300	0.360	0.129	0.132	0.134	0.135	0.138	0.134				
9	0.300	0.300	0.200	0.200	0.300	0.260	0.127	0.129	0.139	0.139	0.134	0.134				
10	0.200	0.200	0.100	0.200	0.300	0.200	0.131	0.138	0.135	0.137	0.136	0.135				

## Analisis pola gerusan pada pilar jembatan dengan model sayap beton sebagai tirai

Nama :  
 1. Syahruddin  
 2. Ahmad al magfir

Type :  
 Bukaan 2:1 cm  
 T3 : 30 menit

Tanggal :

Variasi :

No. Posisi	Debit (Q)	Kecepatan aliran								Tinggi muka air
		$V_1$	$V_2$	$V_3$	$V_4$	$V_5$	$R$	$b_1$	$b_2$	
1	0.800	0.800	0.800	0.800	0.900	0.820	0.113	0.059	0.091	0.101
2	0.800	0.800	0.700	0.800	0.800	0.780	0.105	0.094	0.101	0.110
3	0.700	0.700	0.600	0.700	0.700	0.700	0.080	0.112	0.103	0.099
4	0.600	0.600	0.700	0.800	0.700	0.680	0.105	0.111	0.115	0.109
5	0.500	0.700	0.500	0.700	0.800	0.640	0.124	0.113	0.116	0.121
6	0.600	0.600	0.400	0.500	0.700	0.500	0.129	0.127	0.123	0.121
7	0.500	0.500	0.400	0.400	0.600	0.480	0.135	0.120	0.122	0.126
8	0.400	0.500	0.300	0.300	0.400	0.380	0.137	0.122	0.124	0.126
9	0.300	0.200	0.100	0.200	0.300	0.220	0.129	0.126	0.128	0.132
10	0.200	0.200	0.100	0.300	0.180	0.136	0.135	0.133	0.131	0.132

Analisis pada gerakan pada pilar jembatan dengan model yang berlaku sebagaimana terek-

Journal of Health Politics, Policy and Law, Vol. 30, No. 3, June 2005  
DOI 10.1215/03616878-30-3 © 2005 by The University of Chicago

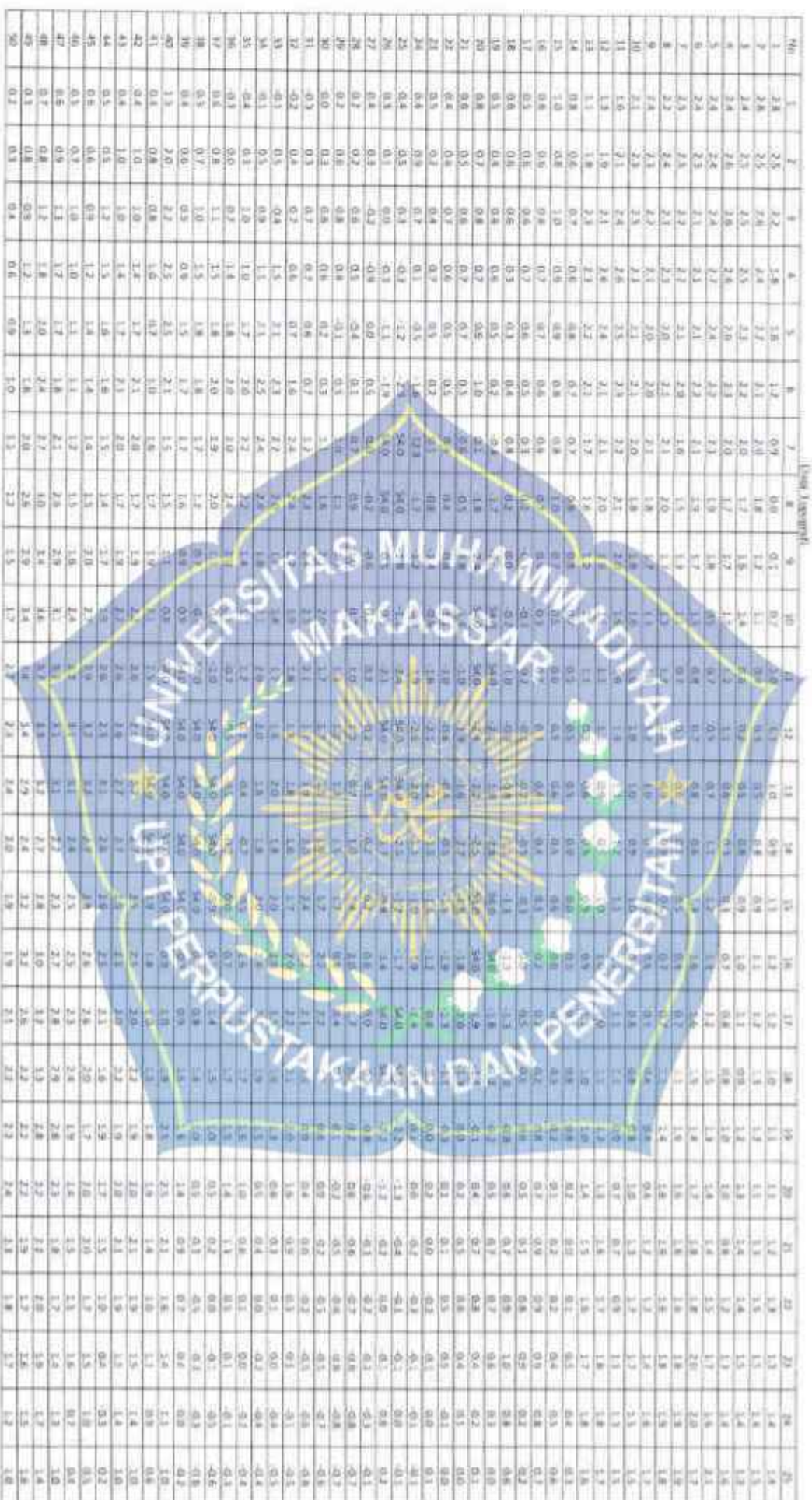
**Analisis pola gerakan pada pilar jembatan dengan model sayap beton sebagai titik**

titik  
titik

titik  
titik

titik  
titik

titik  
titik



Análise para gerar um painel jerêmias de tigre com base na sua história clínica.

## Analisis pola gerusan pada pilar jembatan dengan model sayap beton sebagai tirai

Nama : 1. Syaharuddin  
2. Ahmad al mughni  
Tanggal :  
Type :  
Bukaan 3: 15 cm  
T2: 10 menit

No. Pis	Debit (Q)	Kecerunan airan						Tinggi muka air				
		V <sub>1</sub>	V <sub>2</sub>	V <sub>3</sub>	V <sub>4</sub>	V <sub>5</sub>	V	h <sub>1</sub>	h <sub>2</sub>	h <sub>3</sub>	h <sub>4</sub>	h
1	0.800	0.800	0.700	0.600	0.800	0.780	0.110	0.108	0.110	0.105	0.105	0.108
2	0.700	0.800	0.800	0.800	0.800	0.700	0.760	0.110	0.109	0.110	0.105	0.109
3	0.700	0.700	0.700	0.700	0.700	0.700	0.700	0.120	0.112	0.119	0.110	0.115
4	0.600	0.700	0.700	0.600	0.600	0.640	0.131	0.125	0.127	0.125	0.124	0.126
5	0.500	0.600	0.500	0.700	0.600	0.580	0.132	0.131	0.133	0.129	0.128	0.131
6	0.400	0.500	0.400	0.500	0.500	0.460	0.131	0.132	0.134	0.128	0.130	0.131
7	0.400	0.400	0.400	0.400	0.400	0.400	0.132	0.130	0.135	0.132	0.134	0.133
8	0.300	0.300	0.300	0.300	0.300	0.300	0.134	0.132	0.136	0.136	0.135	0.135
9	0.300	0.200	0.200	0.300	0.300	0.260	0.135	0.136	0.135	0.135	0.138	0.136
10	0.200	0.300	0.100	0.200	0.300	0.220	0.138	0.137	0.136	0.137	0.138	0.137

## Analisis pola gerusan pada pilar jembatan dengan model sayap beton sebagai tirai

Nama :  
 1. Syaikunuddin  
 2. Ahmad al magru

Type :  
 Bukaan 3 : 1.5cm  
 T2 : 20 menit

No. Pas	Debit (Q)	Ketinggian air								Tinggi maks air			
		V <sub>1</sub>	V <sub>2</sub>	V <sub>3</sub>	V <sub>4</sub>	V <sub>5</sub>	V̄	b <sub>1</sub>	b <sub>2</sub>	b <sub>3</sub>	b <sub>4</sub>	b <sub>5</sub>	h̄
1.0	0.800	0.700	0.700	0.700	0.700	0.720	0.111	0.128	0.108	0.109	0.112	0.110	
2.0	0.700	0.700	0.680	0.700	0.680	0.700	0.117	0.112	0.110	0.110	0.111	0.112	
3.0	0.700	0.700	0.690	0.690	0.690	0.680	0.111	0.108	0.109	0.106	0.118	0.110	
4.0	0.700	0.660	0.580	0.660	0.660	0.700	0.620	0.113	0.111	0.122	0.114	0.109	0.114
5.0	0.600	0.600	0.480	0.500	0.500	0.700	0.560	0.121	0.119	0.125	0.122	0.119	0.121
6.0	0.500	0.500	0.400	0.500	0.500	0.500	0.125	0.123	0.119	0.131	0.128	0.125	
7.0	0.400	0.400	0.400	0.400	0.500	0.420	0.133	0.125	0.127	0.132	0.132	0.130	
8.0	0.300	0.400	0.2	0.300	0.400	0.350	0.152	0.130	0.132	0.135	0.132	0.132	
9.0	0.300	0.200	0.100	0.200	0.300	0.220	0.136	0.133	0.135	0.134	0.134	0.134	
10.0	0.200	0.200	0.100	0.200	0.300	0.200	0.136	0.135	0.135	0.137	0.136	0.136	

## Analisis pola gerusan pada pilar jembatan dengan model sayap beton sebagai tirai

Nama : 1. Syahruddin  
2. Ahmad al Mughni

Bulan 3 : 15 cm  
T2 : 30 menit

Tanggal :

Variasi

No. Pas	Debit (Q)	Kecepatan gerusan										Tinggi maks air
		$V_1$	$V_2$	$V_3$	$V_4$	$V_5$	$V$	$h_1$	$h_2$	$h_3$	$h_4$	
1	0.800	0.700	0.700	0.700	0.700	0.600	0.700	0.112	0.110	0.112	0.110	0.111
2	0.700	0.700	0.700	0.700	0.700	0.600	0.680	0.114	0.107	0.110	0.109	0.112
3	0.700	0.700	0.700	0.600	0.600	0.600	0.660	0.115	0.113	0.112	0.112	0.113
4	0.700	0.700	0.600	0.600	0.600	0.600	0.640	0.119	0.116	0.115	0.116	0.117
5	0.600	0.600	0.500	0.500	0.500	0.500	0.540	0.127	0.125	0.122	0.123	0.124
6	0.500	0.500	0.400	0.500	0.500	0.500	0.480	0.129	0.128	0.128	0.129	0.129
7	0.400	0.400	0.300	0.400	0.400	0.300	0.380	0.133	0.130	0.132	0.131	0.131
8	0.300	0.300	0.200	0.200	0.300	0.200	0.260	0.134	0.132	0.133	0.133	0.133
9	0.300	0.200	0.200	0.200	0.300	0.200	0.240	0.135	0.134	0.136	0.133	0.134
10	0.200	0.200	0.100	0.200	0.300	0.200	0.138	0.136	0.136	0.137	0.136	0.137

Audiobooks pada gerakan pada pihak penulis dan editor dengan model yang berbeda sebagaimana

Name \_\_\_\_\_

卷之三

www.IELT.com

Anhang: Relevante Werte für die Projektion der möglichen Auswirkungen von klimatischen Veränderungen

Werte: 1) Abhängig  
2) Abhängig von

Temperatur  
Wasser

Rohstoffe  
Ressourcen  
12-10 Minuten

	1) Abhängig	2) Abhängig von	Temperatur Wasser	12-10 Minuten
Wert	1	2	3	4
1	2.1	2.0	3.2	0
2	2.3	2.6	2.3	3.9
3	1.9	1.6	3.0	4.0
4	2.9	2.3	2.1	2.3
5	1.9	1.8	3.9	2.2
6	3.9	1.8	3.9	1.9
7	2.0	2.3	3.7	1.7
8	1.7	1.9	3.8	1.8
9	1.8	1.8	3.8	1.8
10	1.6	1.8	3.6	1.5
11	1.1	1.8	3.7	2.3
12	4.0	1.4	3.8	1.5
13	0.1	1.8	1.0	1.6
14	3.3	0.1	0.2	1.2
15	0.5	0.3	0.5	0.4
16	0.1	0.1	0.2	0.1
17	0.0	0.1	0.1	0.1
18	0.1	0.1	0.1	0.1
19	0.0	0.1	0.1	0.1
20	0.1	0.2	0.2	0.1
21	0.1	0.0	0.1	0.0
22	0.1	0.3	0.2	0.1
23	0.0	0.1	0.1	0.1
24	0.1	0.4	0.2	0.1
25	0.1	0.0	0.1	0.1
26	0.1	0.0	0.1	0.1
27	0.2	0.5	0.4	0.1
28	0.2	0.7	1.4	0.1
29	0.1	0.2	0.2	0.1
30	0.2	0.7	1.4	0.1
31	0.1	0.3	0.2	0.1
32	0.3	0.1	0.1	0.1
33	0.1	0.3	0.2	0.1
34	0.1	0.3	0.2	0.1
35	0.1	0.3	0.2	0.1
36	0.1	0.3	0.2	0.1
37	0.1	0.3	0.2	0.1
38	0.1	0.3	0.2	0.1
39	0.1	0.3	0.2	0.1
40	1.0	1.5	1.7	2.0
41	0.1	0.8	0.5	0.1
42	0.1	0.5	0.5	0.1
43	0.1	0.5	0.5	0.1
44	0.0	0.0	0.0	0.0
45	0.1	0.1	0.1	0.0
46	0.0	0.1	0.1	0.0
47	0.0	0.1	0.1	0.0
48	0.1	0.1	0.1	0.0
49	0.2	0.1	0.1	0.0
50	0.3	0.2	0.1	0.0

Aan zijn geesten pale pilooten bestuurde een mannelijk heit om we hogen tien

300

The figure is a heatmap illustrating the relationship between different parameters. The x-axis and y-axis are both labeled "Parameter". The color scale indicates the value of the parameter, ranging from -0.6 (blue) to 0.6 (red). A prominent yellow diagonal band runs from the bottom-left to the top-right, representing the identity line where the x and y parameters are equal. Red arrows point along this yellow band, suggesting a strong positive correlation or influence between the parameters. The overall background is a light blue gradient.

卷之三

LOKASI PENELITIAN : LABORATORIUM SAINS TEKNIK SAWI UNIVERSITAS MUHAMMADIYAH MAKASSAR  
HARI/TGL : 19/03/2018

No	Latah titik	t(dens)	V(m/det)	Rate rate	Rate rate	h (cm)	h (rate- rate) (cm)	latar (m)	luas persegi panjang (m²)	Dekat titik (m)	Data					
											1	2	3	4	5	
1	titik 1	1.000	0.8	0.8	0.7	0.8	0.8	0.700	0.100	0.097	0.102	0.105	0.103	0.5	0.063	0.0425
2	titik 2	1.200	0.8	0.7	0.8	0.8	0.8	0.800	0.100	0.097	0.103	0.105	0.103	0.5	0.064	0.0416
3	titik 3	1.600	0.7	0.8	0.7	0.7	0.8	0.700	0.100	0.097	0.102	0.105	0.103	0.5	0.066	0.04129
4	titik 4	1.800	0.6	0.8	0.7	0.7	0.8	0.600	0.100	0.097	0.103	0.105	0.103	0.5	0.060	0.04075
5	titik 5	1.200	0.6	0.8	0.7	0.7	0.8	0.600	0.100	0.097	0.102	0.105	0.103	0.5	0.063	0.04023
6	titik 6	1.800	0.6	0.6	0.5	0.5	0.5	0.600	0.100	0.097	0.102	0.105	0.103	0.5	0.063	0.03982
7	titik 7	1.200	0.5	0.4	0.4	0.4	0.4	0.400	0.100	0.097	0.102	0.105	0.103	0.5	0.065	0.03961
8	titik 8	1.800	0.4	0.4	0.3	0.4	0.4	0.300	0.100	0.097	0.103	0.105	0.103	0.5	0.065	0.03918
9	titik 9	1.200	0.3	0.3	0.2	0.2	0.3	0.200	0.100	0.097	0.102	0.104	0.102	0.5	0.066	0.03928
10	titik 10	1.800	0.2	0.2	0.1	0.1	0.2	0.100	0.100	0.097	0.101	0.103	0.101	0.5	0.066	0.03964

LOKASI PENELITIAN : LABORATORIUM SINGGAH TIKRUK SIPIL UNIVERSITAS MUHAMMADIYAH MAKASSAR  
HARUTGL PENGAMBILAN DATA :

No.	tensile strength (kg)	tensile strength (kg)	W(m/day)					h (ms) water	h (ratio) water	Lebihar (m)	Lux per unit per area	Debit flow (m³/dari)
			1	2	3	4	5					
1	titik 1	600	0.8	0.8	0.2	0.1	0.1	0.780	0.110	0.100	0.105	0.100
		1200	0.8	0.7	0.2	0.2	0.2	0.780	0.110	0.100	0.105	0.100
		1800	0.8	0.7	0.2	0.2	0.2	0.780	0.110	0.100	0.105	0.100
		Ratio-ratio					0.780	0.110	0.112	0.112	0.112	0.112
2	titik 2	600	0.7	0.8	0.8	0.8	0.8	0.760	0.110	0.100	0.105	0.100
		1200	0.7	0.7	0.6	0.7	0.7	0.760	0.110	0.100	0.105	0.100
		1800	0.7	0.7	0.7	0.7	0.7	0.760	0.110	0.100	0.105	0.100
		Ratio-ratio					0.760	0.110	0.112	0.112	0.112	0.112
3	titik 3	600	0.7	0.7	0.7	0.7	0.7	0.718	0.110	0.100	0.105	0.100
		1200	0.7	0.7	0.7	0.7	0.7	0.718	0.110	0.100	0.105	0.100
		1800	0.7	0.7	0.7	0.7	0.7	0.718	0.110	0.100	0.105	0.100
		Ratio-ratio					0.718	0.110	0.112	0.112	0.112	0.112
4	titik 4	600	0.6	0.7	0.7	0.6	0.6	0.600	0.121	0.125	0.127	0.128
		1200	0.7	0.6	0.5	0.6	0.7	0.600	0.121	0.125	0.127	0.128
		1800	0.7	0.7	0.7	0.7	0.6	0.600	0.121	0.125	0.127	0.128
		Ratio-ratio					0.600	0.121	0.125	0.127	0.128	0.128
5	titik 5	600	0.5	0.6	0.5	0.7	0.6	0.580	0.121	0.123	0.125	0.126
		1200	0.6	0.6	0.4	0.5	0.7	0.580	0.121	0.123	0.125	0.126
		1800	0.6	0.6	0.5	0.5	0.5	0.580	0.121	0.123	0.125	0.126
		Ratio-ratio					0.580	0.121	0.123	0.125	0.126	0.126
6	titik 6	600	0.4	0.5	0.4	0.5	0.5	0.460	0.131	0.132	0.133	0.134
		1200	0.5	0.5	0.4	0.5	0.6	0.460	0.131	0.132	0.133	0.134
		1800	0.5	0.5	0.4	0.5	0.5	0.460	0.131	0.132	0.133	0.134
		Ratio-ratio					0.460	0.131	0.132	0.133	0.134	0.134
7	titik 7	600	0.4	0.4	0.4	0.4	0.5	0.440	0.131	0.132	0.132	0.133
		1200	0.4	0.4	0.4	0.4	0.5	0.440	0.131	0.132	0.132	0.133
		1800	0.4	0.4	0.4	0.4	0.4	0.440	0.131	0.132	0.132	0.133
		Ratio-ratio					0.440	0.131	0.132	0.132	0.133	0.133
8	titik 8	600	0.3	0.3	0.3	0.3	0.3	0.360	0.134	0.132	0.130	0.135
		1200	0.3	0.4	0.2	0.2	0.2	0.360	0.134	0.132	0.130	0.135
		1800	0.3	0.2	0.2	0.2	0.2	0.360	0.134	0.132	0.130	0.135
		Ratio-ratio					0.360	0.134	0.132	0.130	0.135	0.133
9	titik 9	600	0.3	0.2	0.1	0.2	0.1	0.360	0.134	0.132	0.130	0.136
		1200	0.3	0.2	0.1	0.2	0.3	0.360	0.134	0.132	0.130	0.136
		1800	0.3	0.2	0.2	0.2	0.2	0.360	0.134	0.132	0.130	0.136
		Ratio-ratio					0.360	0.134	0.132	0.130	0.136	0.133
10	titik 10	600	0.2	0.3	0.1	0.2	0.3	0.240	0.138	0.137	0.136	0.137
		1200	0.2	0.2	0.1	0.2	0.3	0.240	0.138	0.137	0.136	0.137
		1800	0.2	0.2	0.1	0.2	0.3	0.240	0.138	0.137	0.136	0.137
		Ratio-ratio					0.240	0.138	0.137	0.136	0.137	0.137

No	letak titik	$Q$ (m <sup>3</sup> /det)	kec. Aliran (m/det)	Tinggi muka air (m)	Lebar (m)	Kem.Sai (m)	Laju Penampang (A) (m/s)	Ketinggian tanah (H) m	Jari-jari hidro (R) m	Reynold (Re)	Froude (Fr)	Kritisitas		
							(bentuk)	H	A/p	V <sup>2</sup> /D/p	(Re)	(Fr)		
1	Titik 1	0.02873	0.620	0.670	0.5	0.002	0.035	0.640	0.075	53331.5	0.990	turbulen Kritis		
2	Titik 2	0.02901	0.760	0.677	0.5	0.002	0.038	0.654	0.079	53254.8	0.895	turbulen Kritis		
3	Titik 3	0.02905	0.700	0.683	0.5	0.002	0.042	0.662	0.082	532863.8	0.776	turbulen Kritis		
4	Titik 4	0.03003	0.647	0.693	0.5	0.002	0.046	0.686	0.086	527901.7	0.628	turbulen Sub Kritis		
5	Titik 5	0.02944	0.573	0.699	0.5	0.002	0.050	0.700	0.089	0.028	0.071	46531.4	0.501	turbulen Sub Kritis
6	Titik 6	0.01642	0.320	0.103	0.5	0.002	0.052	0.751	0.073	27745.5	0.319	turbulen Sub Kritis		
7	Titik 7	0.01311	0.253	0.104	0.5	0.003	0.053	0.764	0.073	0.717	0.073	22266.5	0.251	turbulen Sub Kritis
8	Titik 8	0.01122	0.213	0.105	0.5	0.002	0.053	0.770	0.074	18826.9	0.230	turbulen Sub Kritis		
9	Titik 9	0.00992	0.187	0.106	0.5	0.002	0.053	0.776	0.075	16000.8	0.183	turbulen Sub Kritis		
10	Titik 10	0.00856	0.160	0.107	0.5	0.002	0.054	0.785	0.075	14314.3	0.156	turbulen Sub Kritis		

No	letak titik	$q$ (m <sup>3</sup> /det)	kec. Aliran (m/det)	Tinggi muka air (m)	lebar (m)	kem.sai (m)	Laju Penampang (A) (m/s)	Ketinggian tanah (H) m	Jari-jari hidro (R) m	Reynold (Re)	Froude (Fr)	Kritisan
							(bentuk)	H	A/p	V <sup>2</sup> /D/p	(Re)	(Fr)
1	Titik 1	0.04025	0.800	0.301	0.5	0.002	0.055	0.702	0.075	71948.3	0.804	turbulen Sub Kritis
2	Titik 2	0.04166	0.767	0.109	0.5	0.002	0.054	0.712	0.076	69213.3	0.743	turbulen Sub Kritis
3	Titik 3	0.04129	0.707	0.117	0.5	0.002	0.056	0.734	0.076	67077.2	0.660	turbulen Sub Kritis
4	Titik 4	0.04075	0.680	0.120	0.5	0.002	0.060	0.740	0.071	65665.9	0.627	turbulen Sub Kritis
5	Titik 5	0.04023	0.640	0.128	0.5	0.002	0.063	0.751	0.064	63815.8	0.575	turbulen Sub Kritis
6	Titik 6	0.03982	0.467	0.127	0.5	0.002	0.063	0.753	0.064	48765.7	0.437	turbulen Sub Kritis
7	Titik 7	0.02761	0.427	0.129	0.5	0.002	0.065	0.759	0.065	43361.4	0.379	turbulen Sub Kritis
8	Titik 8	0.02218	0.340	0.130	0.5	0.002	0.065	0.761	0.066	34740.8	0.301	turbulen Sub Kritis
9	Titik 9	0.01528	0.233	0.131	0.5	0.002	0.065	0.762	0.066	23827.7	0.206	turbulen Sub Kritis
10	Titik 10	0.01294	0.193	0.133	0.5	0.002	0.066	0.764	0.067	19585.3	0.168	turbulen Sub Kritis

Lokasi titik	Debit q	ktc. Rata2 u	Diameter m	Kedalaman h m	km/ringan l	B. Sedimen ps	B. Air p	Td.	U	Ket.
	m <sup>3</sup> /detik	m	m	m	m	kg/m <sup>3</sup>	kg/m <sup>3</sup>	N/m <sup>2</sup>	[kg.m <sup>0.5</sup> .h <sup>0.5</sup> ]	Grafik
1	0.0287	0.820	0.02346	0.070	0.0023	2576	1000	1.908	0.015	3.777 0.0388 Diam
2	0.0292	0.760	0.02345	0.077	0.0022	2576	1000	1.659	0.014	3.241 0.0427 Diam
3	0.0291	0.700	0.02346	0.083	0.0022	2576	1000	1.791	0.013	3.204 0.0423 Mulus Bergerak
4	0.0300	0.647	0.02346	0.093	0.0022	2576	1000	2.004	0.010	1.955 0.0448 Mulus Bergerak
5	0.0294	0.573	0.02346	0.099	0.0022	2576	1000	2.141	0.012	0.938 0.0463 Bergerak
6	0.0194	0.320	0.02346	0.103	0.0021	2576	1000	2.214	0.017	0.992 0.0473 Bergerak
7	0.0131	0.253	0.02346	0.104	0.0022	2576	1000	2.234	0.025	0.912 0.0473 Bergerak
8	0.0112	0.213	0.02346	0.105	0.0022	2576	1000	2.270	0.038	0.876 0.0476 Bergerak
9	0.0099	0.187	0.02346	0.106	0.0022	2576	1000	2.291	0.022	0.803 0.0479 Bergerak
10	0.0086	0.160	0.02346	0.107	0.0022	2576	1000	2.315	0.021	0.780 0.0483 Bergerak

Lokasi titik	Debit q	ktc. Rata2 u	Diameter m	Kedalaman h m	Kemiringan	B. Sedimen ps	B. Air p	Td.	U	Ket.
	m <sup>3</sup> /detik	m	m	m	m	kg/m <sup>3</sup>	kg/m <sup>3</sup>	N/m <sup>2</sup>	[kg.m <sup>0.5</sup> .h <sup>0.5</sup> ]	Grafik
1	0.0424	0.800	0.00236	0.101	0.0022	2576	1000	2.175	0.019	1.423 0.0466 Diam
2	0.0417	0.767	0.00236	0.105	0.0022	2576	1000	2.345	0.017	1.350 0.0484 Mulus Bergerak
3	0.0411	0.707	0.00236	0.117	0.0022	2576	1000	2.522	0.016	1.314 0.0502 Bergerak
4	0.0408	0.680	0.00236	0.120	0.0022	2576	1000	2.567	0.015	1.277 0.0509 Bergerak
5	0.0402	0.640	0.00236	0.126	0.0022	2576	1000	2.714	0.014	1.241 0.0511 Bergerak
6	0.0398	0.487	0.00236	0.127	0.0022	2576	1000	2.734	0.013	1.204 0.0523 Bergerak
7	0.0276	0.427	0.00236	0.125	0.0022	2576	1000	2.793	0.012	1.168 0.0526 Bergerak
8	0.0227	0.340	0.00236	0.130	0.0022	2576	1000	2.816	0.011	1.131 0.0531 Bergerak
9	0.0153	0.233	0.00236	0.131	0.0022	2576	1000	2.829	0.010	1.056 0.0532 Bergerak
10	0.0128	0.193	0.00236	0.131	0.0022	2576	1000	2.842	0.010	1.095 0.0535 Bergerak